

ELETRONICA E TELECOMUNICAZIONI

RIC. 15 EN.

A CURA DELLA RAI E DELLA STET - EDIZIONI ERI - ANNO XXII - NUMERO 6 - 1973 - L. 500



Vista parziale dei nuovi impianti di generazione dei programmi per filodiffusione di Roma (v. p. 228).



Supertester 680 R / R come Record !!

II SERIE CON CIRCUITO RIBALTABILE!!

4 Brevetti Internazionali - Sensibilità 20.000 ohms x volt

STRUMENTO A NUCLEO MAGNETICO schermato contro i campi magnetici esterni!!!

Tutti i circuiti Voltmetrici e amperometrici di questo nuovissimo modello 680 R montano

RESISTENZE A STRATO METALLICO di altissima stabilità con la PRECISIONE ECCEZIONALE DELLO 0,5%!!

IN QUESTA NUOVA SERIE IL CIRCUITO STAMPATO PUÒ ESSERE RIBALTATO SENZA ALCUNA DISSALDATURA E CIÒ PER FACILITARE L'EVENTUALE SOSTITUZIONE DI QUALSIASI COMPONENTE!



- Record di ampiezza del quadrante e minimo ingombro! (mm. 128x95x32)
- Record di precisione e stabilità di taratura! (1% in C.C. - 2% in C.A.)
- Record di semplicità, facilità di impiego e rapidità di lettura!
- Record di robustezza, compattezza e leggerezza! (300 grammi)
- Record di accessori supplementari e complementari! (vedi sotto)
- Record di protezioni, prestazioni e numero di portate!

10 CAMPI DI MISURA E 80 PORTATE !!!

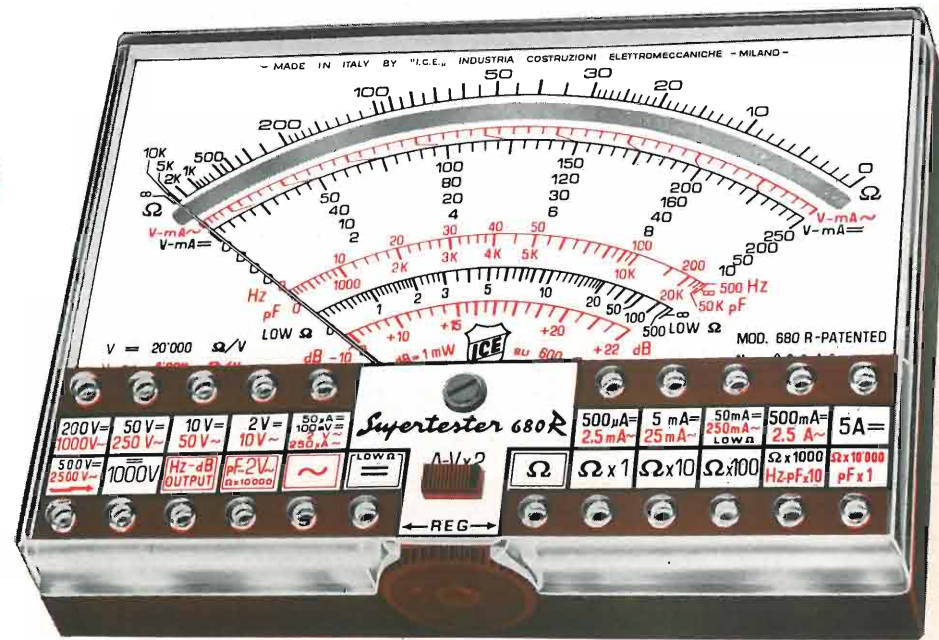
- VOLTS C.A.: 11 portate: da 2 V. a 2500 V. massimi.
- VOLTS C.C.: 13 portate: da 100 mV. a 2000 V.
- AMP. C.C.: 12 portate: da 50 µA a 10 Amp.
- AMP. C.A.: 10 portate: da 200 µA a 5 Amp.
- OHMS: 6 portate: da 1 decimo di ohm a 100 Megaohms.
- REATTANZA: 1 portata: da 0 a 10 Megaohms.
- CAPACITA': 6 portate: da 0 a 500 pF - da 0 a 0,5 µF e da 0 a 50.000 µF in quattro scale.
- FREQUENZA: 2 portate: da 0 a 500 e da 0 a 5000 Hz.
- V. USCITA: 9 portate: da 10 V. a 2500 V.
- DECIBELS: 10 portate: da -24 a +70 dB.

Inoltre vi è la possibilità di estendere ancora maggiormente le prestazioni del Supertester 680 R con accessori appositamente progettati dalla I.C.E. Vedi illustrazioni e descrizioni più sotto riportate. Circuito elettrico con speciale dispositivo per la compensazione degli errori dovuti agli sbalzi di temperatura.

Speciale bobina mobile studiata per un pronto smorzamento dell'indice e quindi una rapida lettura. Limitatore statico che permette allo strumento indicatore ed al raddrizzatore a lui accoppiato, di poter sopportare sovraccarichi accidentali ed erronei anche mille volte superiori alla portata scelta!!!

Strumento antiurto con speciali sospensioni elastiche. Fusibile, con cento ricambi, a protezione errate inserzioni di tensioni dirette sul circuito ohmetro. Il marchio «I.C.E.» è garanzia di superiorità ed avanguardia assoluta ed indiscussa nella progettazione e costruzione degli analizzatori più completi e perfetti.

PREZZO SPECIALE propagandistico L. 14.850 franco nostro stabilimento completo di puntali, pila e manuale d'istruzione. Per pagamenti all'ordine, od alla consegna, omaggio del relativo astuccio antiurto ed antimacchia in resinella speciale resistente a qualsiasi strappo o lacerazione. Detto astuccio da noi BREVETTATO permette di adoperare il tester con un'inclinazione di 45 gradi senza doverlo estrarre da esso, ed un suo doppio fondo non visibile, può contenere oltre ai puntali di dotazione, anche molti altri accessori. Colore normale di serie del SUPERTESTER 680 R: amaranto; a richiesta: grigio.



IL TESTER PER I TECNICI VERAMENTE ESIGENTI !!!

ACCESSORI SUPPLEMENTARI DA USARSI UNITAMENTE AI NOSTRI "SUPERTESTER 680"



PROVA TRANSISTORS E PROVA DIODI Transtest

MOD. 662 I.C.E. Esso può eseguire tutte le seguenti misure: Ico (Ic) - Iebo (Ieo) - Iceo - Ices - Icer - Vce sat - Vbe hFE (β) per i TRANSISTORS e Vf - Ir per i diodi. Minimo peso: 250 gr. - Minimo ingombro: 128 x 85 x 30 mm. - Prezzo L. 8.200 completo di astuccio - pila - puntali e manuale di istruzione.



LUXMETRO MOD. 24 I.C.E. a due scale da 2 a 200 Lux e da 200 a 20.000 Lux. Ottimo pure come esposimetro!!



TRASFORMATORE I.C.E. A TENAGLIA MOD. 616

per misure amperometriche in C.A. Misure eseguibili: 250 mA. - 1-5-25-50 e 100 Amp. C.A. - Dimensioni 60 x 70 x 30 mm. - Peso 200 gr. - Prezzo netto L. 4.800 completo di astuccio e istruzioni.

AMPEROMETRO A TENAGLIA Amperclamp

per misure amperometriche immediate in C.A. senza interrompere i circuiti da esaminare - 7 portate: 250 mA. - 2,5-10-25-100-250 e 500 Amp. C.A. - Peso: solo 290 grammi. Tascabile! - Prezzo L. 9.400 completo di astuccio, istruzioni e riduttore a spina Mod. 29.

PUNTALE PER ALTE TENSIONI MOD. 18 I.C.E. (25000 V. C.C.)



Prezzo netto: L. 3.600



Prezzo netto: L. 4.800



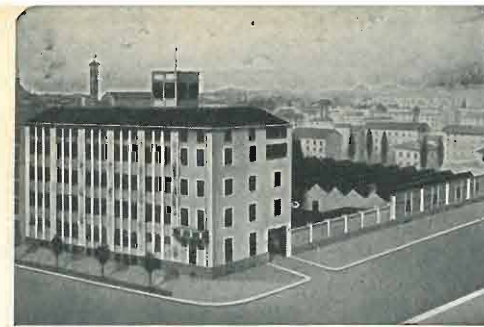
Prezzo netto: L. 8.200



Prezzo netto: L. 2.900 cad.

OGNI STRUMENTO I.C.E. È GARANTITO. RICHIEDERE CATALOGHI GRATUITI A:

I.C.E. VIA RUTILIA, 19/18 20141 MILANO - TEL. 531.554/5/6



SEDE DELLA SOCIETÀ

ING. S. & DR. GUIDO BELOTTI
PIAZZA TRENTO, 8
20135 MILANO

Posta : 20135 - MILANO
Telefoni : 54.20.51 (5 linee)
(Prefisso 02) 54.33.51 (5 linee)
Telex : 32481 BELOTTI
Telegrammi: INGBELOTTI-MILANO
UFFICI: C.P.
ROMA - VIA LAZIO 6 - TEL. (06) 46.00.53/4 - 00187
NAPOLI - VIA CERVANTES 55 - TEL. (081) 32.32.79 - 80133

STRUMENTI PER MISURE ELETTRICHE

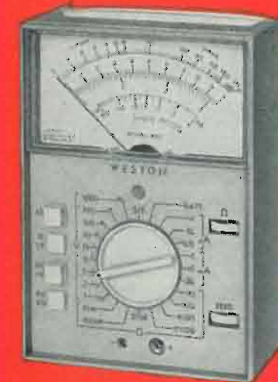


Fig. 2 - Tester portatile



Fig. 3 - Wattmetro portatile



Fig. 4 - Contatore campione portatile



Fig. 5 - Galvanometro



Fig. 6 - Oscilloscopio



Fig. 7 - Misuratore di isolamento tascabile



Fig. 8 - Ponte per misure d'ammettanza VHF



Fig. 9 - Misuratore di terre ed ancoramenti



Fig. 10 - Ponte universale per misure di resistenze



Fig. 11 - Milliamperometro registratori

960 o 2700 CANALI

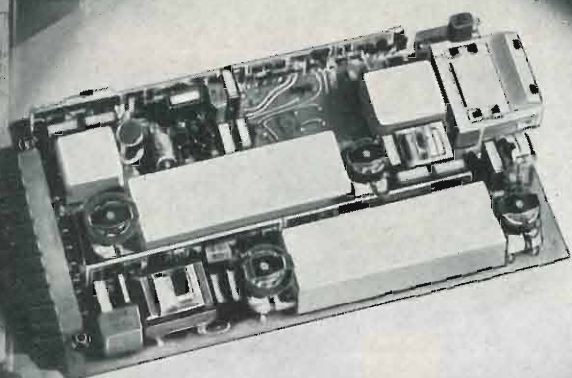
MTN2:

abbiamo dato più spazio per svilupparsi ai Multiplex a divisione di frequenza

riduzione di volume - l'apparecchiatura presenta ingombri inferiori di 1/5 rispetto a quelli delle apparecchiature attuali. Tutto l'equipaggiamento è costituito da complessi ad innesto, secondo i criteri costruttivi più avanzati. Le singole unità funzionali sono montate su piastre a circuito stampato.

tecnologia d'avanguardia - impiego estensivo di circuiti integrati, circuiti ibridi a film spesso, filtri meccanici.

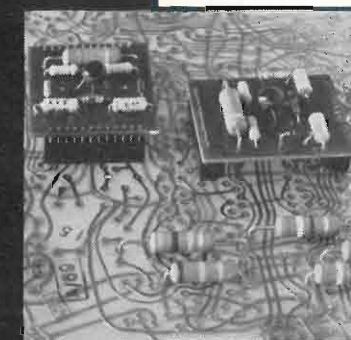
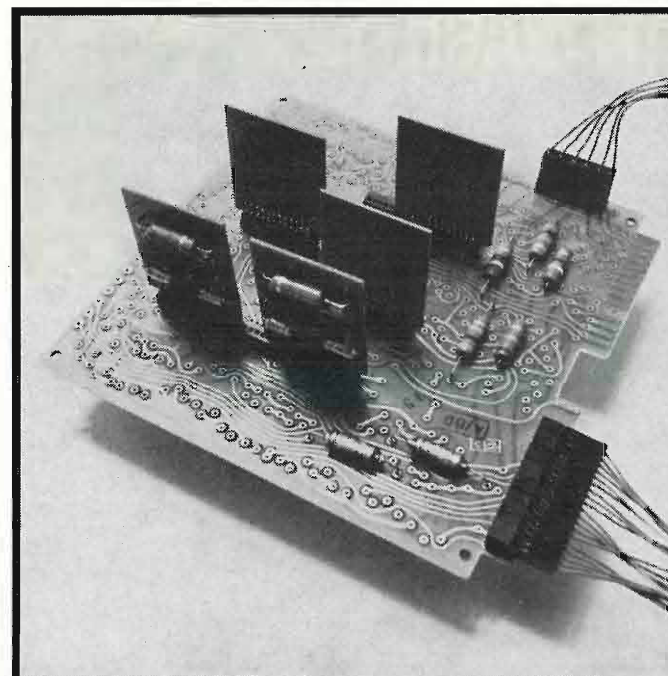
massima affidabilità e flessibilità d'impiego; prestazioni e qualità pienamente rispondenti e in molti casi notevolmente superiori alle stesse raccomandazioni del CCITT e dell'ISPT.



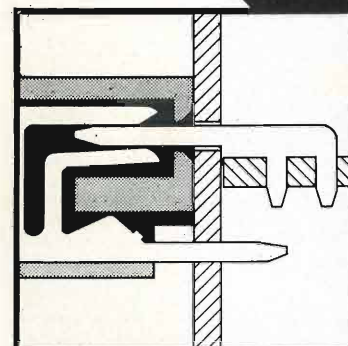
**SOCIETÀ ITALIANA TELECOMUNICAZIONI
SIEMENS s.p.a.**

20149 Milano (Italia) - P.le Zavattari 12 - tel. (02) 4388.1

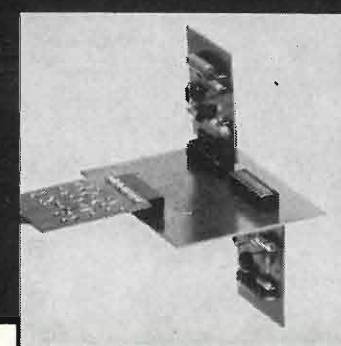
MODULARIZZAZIONE: ECONOMIA!



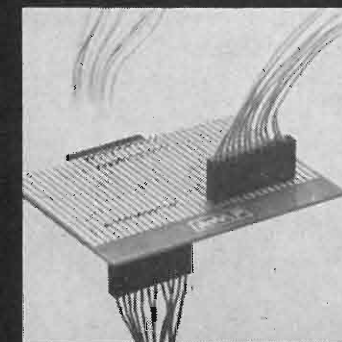
Connessione sandwich



Tecnologia di connessione



Connessione scheda-scheda



Connessione scheda-filo

ECCO UN'ALTRA RIVOLUZIONE AMP

La modularizzazione costa troppo cara. Chi lo dice non ci conosce. Gli chiediamo scusa. Scusa di non avergli mai parlato del nostro Commercial Interconnection System. Di non avergli mai detto che il Commercial Interconnection System rivoluziona i metodi, i tempi e i costi di produzione nell'elettronica commerciale. Perché permette connessioni scheda-scheda e scheda-filo. Connessioni dall'alto, dal basso, di lato e sandwich. Perché è versatile, compatto, di basso costo. E adesso a voi. Anche la modularizzazione può offrirvi concrete economie.

AMP
AMP Italia S.p.A.

Ulteriori informazioni? Richiedetele a:
AMP Italia S.p.A. - Corso F.lli Cervi 15
10093 Collegno (Torino) - Tel. 78.56.56

UN SALTO NELL'ELETTRONICA DI DOMANI

DA 1 A 14 GHz PER 24 - 2700 CANALI SE IL VOSTRO OBIETTIVO È L'AFFIDABILITÀ...

... allora i nostri TOP, collaudati operativamente in tutto il mondo, possono garantirVi migliaia di ore di perfetto funzionamento in qualsiasi condizione di impiego e per qualsiasi tipo di ponte radio.

Inoltre ci piace progredire: così il nostro più recente TOP per Telecomunicazioni, il TH 3515, sviluppato per essere impiegato come amplificatore sui nuovi sistemi a 2700 canali, può fornire una potenza di 20 watt nella banda 6,40 - 7,12 GHz.

Tutti i TOP THOMSON-CSF per Telecomunicazioni,

con la loro robustezza, affidabilità e stabilità delle caratteristiche, sono la necessaria conseguenza della nostra intensa attività nel settore spaziale.

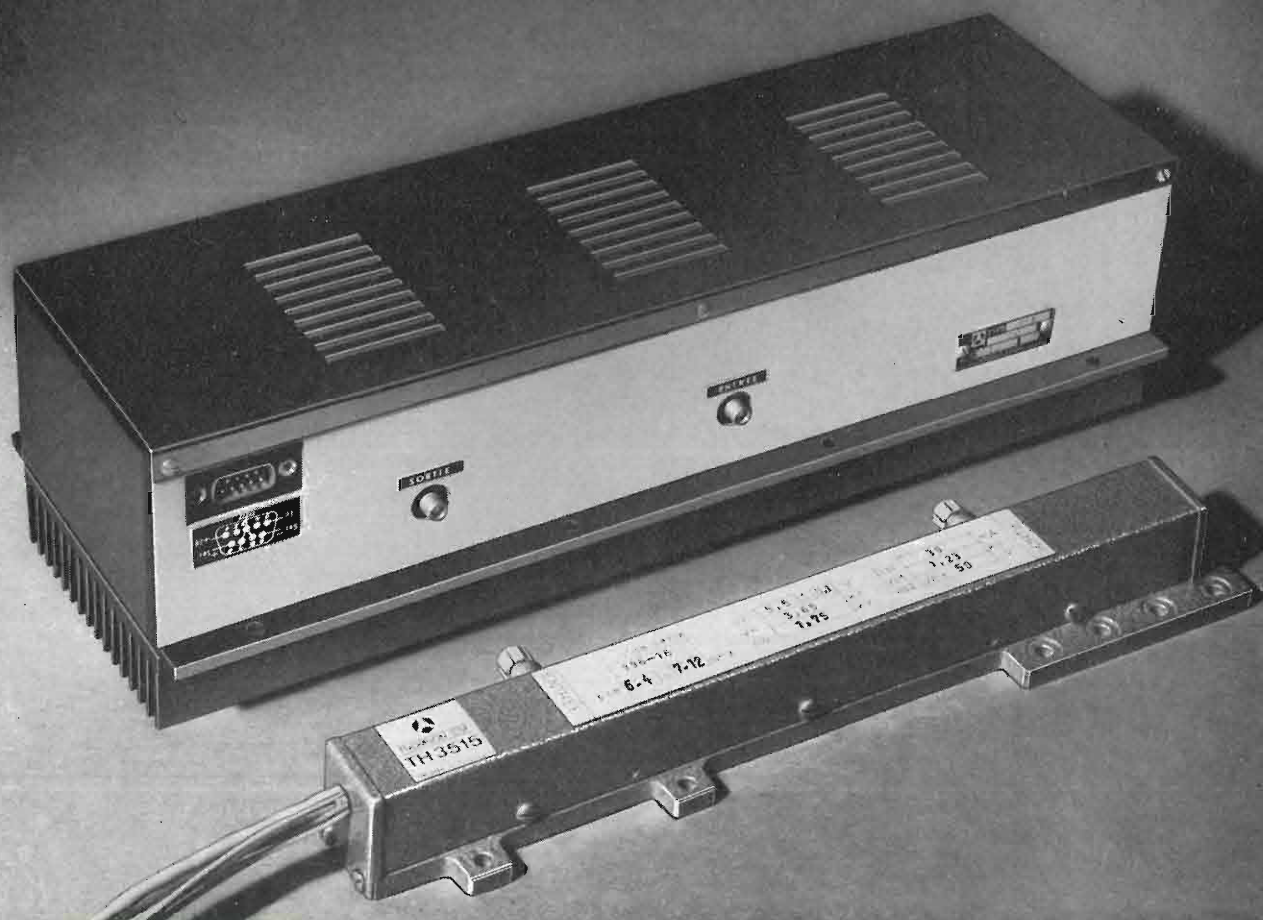
Gran parte dei nostri TOP può essere fornita nella versione integrata con alimentatore pre-regolato, facile da installare, e tale da consentire al progettista l'eliminazione dei problemi di interfaccia tubo/alimentatore.

Tutti i nostri uffici sono a Vostra disposizione per qualsiasi Vostra esigenza: interpellateci.

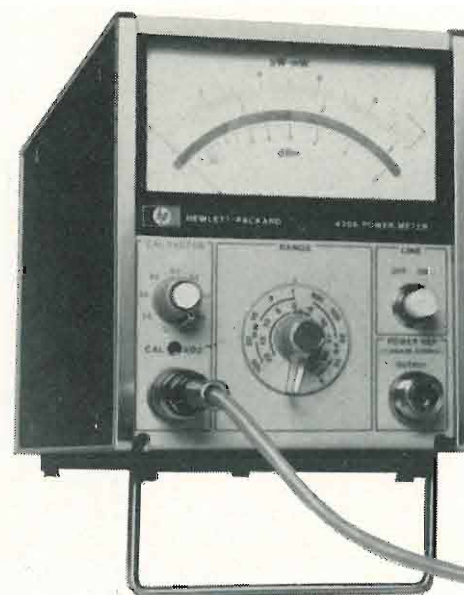


THOMSON-CSF

THOMSON-CSF TUBI ELETTRONICI SRL
VIALE DEGLI AMMIRAGLI 71
ROMA / TEL. 638 14.58



1890



Il sensore del nuovo Sistema Hewlett-Packard di misura a microonde è probabilmente il più piccolo che abbiate mai visto. Comunque è certamente il più preciso: R.O.S., da 30 MHz a 12,4 GHz, inferiore a 1,2; fino a 18 GHz, inferiore a 1,3.

Tutto questo grazie a una termocoppia da 1 mm² radicalmente nuova, che è parente stretta di un transistor. Come un transistor, infatti, è robusta e sensibile, minuscola e precisa.

Il sensore inoltre ha un amplificatore chopper a FET, con alta uscita e bassissimo consumo di potenza. Così si possono usare cavi lunghi fino a 70 metri, ed è possibile l'alimentazione a batteria. Caratteristiche conformi a quelle dettate dal National Bureau of Standard (1 mW ± 0,7% a 50 MHz). Incertezza

di misura inferiore a ± 1%. E per avere l'azzeramento automatico è sufficiente premere il pulsante posto sul pannello frontale.

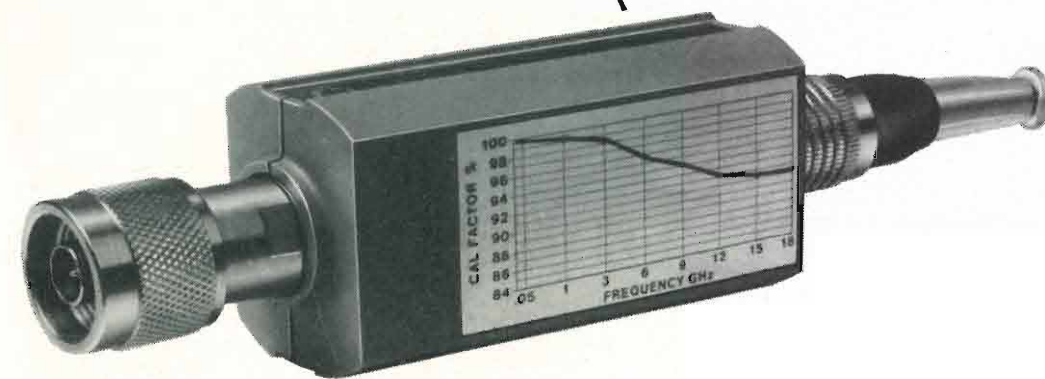
Il fattore di calibrazione può essere cambiato per compensare le variazioni di efficienza del sensore alle diverse frequenze. Ogni sensore è accompagnato da un grafico del fattore di calibrazione e del coefficiente di riflessione in corrispondenza di 17 frequenze. Così non ci saranno più incertezze dovute a disaccoppiamento.

Preciso, conveniente, pratico, portatile: il nuovo Sistema di misurazione a microonde Hewlett-Packard è l'ideale per ogni applicazione, sia in laboratorio che in esterno.

HEWLETT *hp* PACKARD

Assistenza di 172 centri di servizio e vendita in 65 paesi nel mondo.

Grandezza naturale!



Dovete saperne di più: Per avere tutti i dettagli sul Misuratore di Potenze 435 e per il sensore 8481, scrivete o telefonate a: Hewlett-Packard Italiana S.p.A. - Via A. Vespucci, 2 - 20124 Milano - Tel. 6251.



Che ogni componente
del sistema ESK 3000E sia stato studiato,
realizzato e severamente collaudato
al fine di offrirVi
una centrale telefonica privata,
altamente perfezionata...

...A VOI NON INTERESSA.

Mentre Vi interesserà sapere,
per esempio, che la presenza di circuiti transistorizzati,
nella parte di comando,
diminuisce i tempi di impegno
ed aumenta il rendimento del sistema.
Oppure che la sua ampliabilità modulare di commutazione voce e dati
le permette di adeguarsi alle esigenze di qualunque cliente.
Un sistema dunque che "cresce" con l'Azienda.



SOCIETA' ITALIANA TELECOMUNICAZIONI SIEMENS s.p.a.
20149 Milano - p.le Zavattari, 12 - tel. (02) 4388.1

Chiunque può individuare un guasto con il Teradyne L100.



Se si prova un numero abbastanza alto di « cards » digitali senza ricorrere alla ricerca guasti automatica, si finirà certamente per spendere per il controllo molto più di quanto sarebbe ragionevole.

Provate a riflettere: di solito, **soltanto** quando si sa che un segnale di uscita si trova nello stato logico sbagliato, la prova è finita e comincia la vera e propria ricerca del guasto; a questo punto il nostro sistema di diagnosi automatica, disponibile insieme con il Teradyne L100, entra in azione, informando automaticamente l'operatore dove verificare, passo per passo, fino a raggiungere l'origine dell'inconveniente. La « conversazione » con l'operatore avviene in un inglese elementare, indicando specificatamente i terminali di ogni circuito integrato. L'intero procedimento richiede meno di un minuto, anche trattandosi di una « card » complessa, con molti circuiti integrati. E soprattutto non esige speciali conoscenze tecniche. Forse si potrebbe,

pensare che questo eccezionale potere diagnostico debba comportare enormi complicazioni per la programmazione, ma non è vero. Con la medesima sonda con la quale viene effettuata l'esplorazione diretta, alla ricerca del guasto, viene eseguita anche la programmazione, facendo semplicemente apprendere al sistema la logica di una « card » notoriamente efficiente. Informazioni sul come individuare un guasto con il sistema automatico L100 per il controllo dei circuiti digitali saranno fornite da:

TERADYNE ITALIA spa
Viale America, 111
00144 - ROMA EUR
Tel. 594.762 - 591.5780

TERADYNE



**km più economici
più agili
più divertenti**



È la macchina che consuma meno. Paga le tariffe più basse per il bollo, l'assicurazione, in autostrada, in garage, dal meccanico. È la più piccola "4 posti" e la più comoda delle piccole auto. Per questo snellisce il traffico e moltiplica le possibilità di posteggio. Maneggevole come un go-kart: in città arriva prima lei e non vi stanca. Vi fa risparmiare molto senza privarvi di nulla.

FIAT

Oggi si può avere in 3 settimane. Anche con vendita rateale SAVA. Anticipo minimo L. 130.000 (tasse escluse). Assicurazione SAI interamente ratealizzabile.

NUMERO
6
ANNO XXII

NOVEMBRE
DICEMBRE 1973

DA PAGINA 201
A PAGINA 232

RIVISTA BIMESTRALE
A CURA DELLA RAI E DELLA STET

DIRETTORE RESPONSABILE
GIUSEPPE DILDA

COMITATO DIRETTIVO
G. CASTELNUOVO, D. FARO,
R. VAUDETTI, A. SARTORIO

DIREZIONE E AMMINISTRAZIONE
10121 TORINO
VIA ARSENALE, 41 - TELEF. 57-101

Concessionaria esclusiva della pubblicità:
COMPAGNIA INTERNAZIONALE
PUBBLICITÀ PERIODICI (CIPP)
MILANO, VIA PISONI, 2 - TEL. 652-814/15/16
TORINO, VIA BERTOLA, 34 - TELEFONO 57-53

ELETRONICA E TELECOMUNICAZIONI

Sommario:

pagina

Analisi della compressione di informazioni sulla trasformata di Hadamard di un'immagine (G. Bavosi, A. Racciu) 202

Tecniche di codifica delle immagini che usano la trasformata di Hadamard applicata a zone quadrate estratte dall'immagine completa ed analisi della riduzione della quantità di informazione che può essere consentita.

Sincronizzazione delle portanti dei trasmettitori onda media e TV della RAI (G. Gentile).... 209

Problemi incontrati dalla RAI per un corretto esercizio dei suoi trasmettitori OM e TV in offset normale e di precisione e convenienza, per una migliore soluzione futura, di distribuire, su tutto il territorio italiano, una frequenza campione di 16,6 kHz di grande precisione, con la quale corregge tutte le portanti.

Stuttura di una rete di telecomunicazioni e dei suoi elaboratori di controllo (I. Cappetti, M. R. Schaffner) 215

Viene presentato un possibile modello di futura rete integrata adatta per ogni genere di comunicazioni, trasmissione dati e nuovi servizi, comandata e controllata da adeguati elaboratori.

Rigeneratore e distributore di segnali per telescriventi (G. Fornaca, G. Rossini) 223

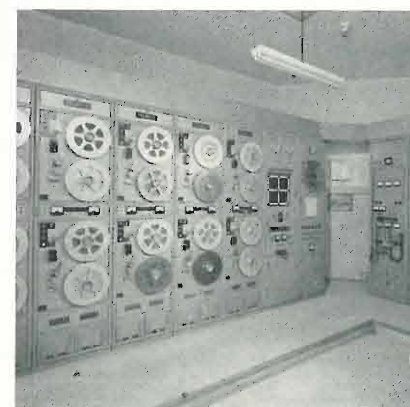
Tipo di « relè telegrafico » allo stato solido (in sostituzione di quello elettromagnetico) destinato a rigenerare i segnali telegrafici e a consentire l'allacciamento di più telescriventi alla stessa linea.

Notiziario:

- Memorie associative 227
- Filodiffusione • Piccola ecosonda • Codificatore per tastiere.. 228
- Dallo spazio la radiografia della terra in pochi minuti • Sistema elettronico di scrittura 229
- Memorie a nuclei di ferrite • Laser per osservazioni spaziali da stazioni terrestri • Controllo del traffico con il radar « occhio di gatto » • Generatore di tono per organi elettronici 230
- Raddrizzatori alta tensione per TV • Televisione a colori su grande schermo • Filtro passa-basso non lineare • Introduzione di 1 secondo nella Scala TUC (IEN) • Scarti dei segnali tempo dell'IEN 231

Libri e pubblicazioni:

- Schaim U. H., Cross J. B., Dodge J. H., Walter J. A.: Fisica • Kiver M. S., Kaufman M.: Television simplified 232



La fotografia di copertina mostra i nuovi ed ampliati impianti di generazione dei programmi di filodiffusione del Centro di Produzione RF di Roma che, a partire dal 18 novembre u.s., sono stati centralizzati in modo da consentire la distribuzione contemporanea a tutte le città servite, di due programmi, non replicati, per 16 ore giornaliere (vedere Notiziario a pag. 228).

UNA COPIA L. 500 (ESTERO L. 600)
ABBONAMENTO ANNUALE L. 2500 (ESTERO L. 3500)
VERSAMENTI ALLA ERI - VIA ARSENALE, 41 - TORINO - C. C. POSTALE N. 2/37800
SPEDIZIONE IN ABBONAMENTO POSTALE - GRUPPO IV/70
REGISTRATO ALLA CANCELLERIA DEL TRIBUNALE C. P. DI TORINO AL N. 493 IN DATA 6-11-1971
TUTTI I DIRITTI RISERVATI
LA RESPONSABILITÀ DEGLI SCRITTI FIRMATI SPETTA AI SINGOLI AUTORI
© 1973 BY ERI - EDIZIONI RAI RADIOTELEVISIONE ITALIANA

INSERZIONI: AMP - BELOTTI - DAGE ITALIA - FIAT - GTE - HEWLETT PACKARD - ICE - LARIR - PHILIPS - ROJE OSCAR - SDSA - SELENIA - SIAE - SIEMENS - SILVESTAR - SIP - TERADYNE ITALIA - THOMPSON - VIANELLO

ANALISI DELLA COMPRESSIONE DI INFORMAZIONE SULLA TRASFORMATA DI HADAMARD DI UN'IMMAGINE

GIORGIO BAVOSI, ANTONIO RACCIU (*)

SOMMARIO — Si introducono in modo intuitivo le tecniche di codifica delle immagini che fanno uso della trasformata di Hadamard applicata a sotto-immagini, ossia a blocchi quadrati estratti dall'immagine completa. Vengono analizzati vari tipi di codifiche e di quantizzatori dei coefficienti della trasformata al fine di ridurre la quantità di informazione.

SUMMARY — Investigation on information compression by means of the Hadamard transform of a video picture. Picture coding by dividing the picture into subpictures (i.e. square blocks deduced from the whole picture) and then performing Hadamard transform on each sub-picture is introduced from an intuitive point of view. Various coding and quantization strategies of transform coefficients are analyzed for information reduction.

1. Nozioni preliminari sulla trasformata di Hadamard.

Si consideri un'immagine quadrata idealmente scomposta in un numero N^2 di punti le cui luminanze vengano codificate con K bit (cioè con 2^K livelli di grigio); si può definire una matrice $N \times N$ i cui elementi corrispondono ai valori di luminanza dei punti dell'immagine.

Si estragga una sottomatrice riga 1×2 (corrispondente a due punti adiacenti) e si fissi $K = 3$; ognuna delle $2^{2 \times 3} = 64$ possibili sottomatrici 1×2 può essere rappresentata da un punto nello spazio discreto a due dimensioni (X_1, X_2) illustrato in figura 1; sugli assi X_1 ed X_2 vengono riportate le luminanze dei due punti.

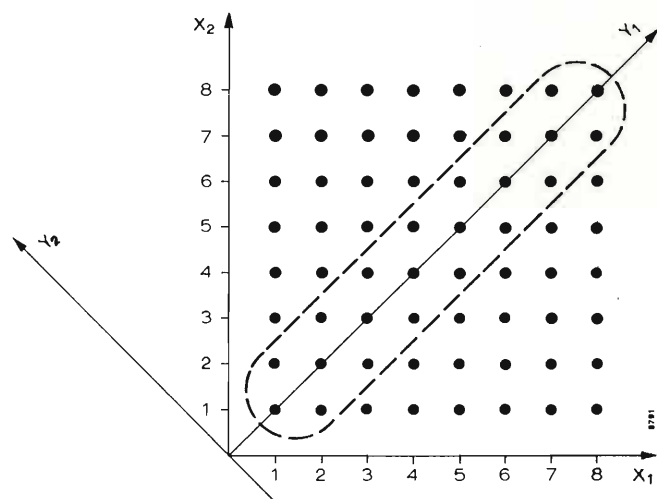


Fig. 1. — Sistema di coordinate per i livelli di grigio di due punti adiacenti x_1 ed x_2 .

(*) Dott. ing. Giorgio Bavosi, dott. ing. Antonio Racciu, Istituto Elettrotecnico Nazionale « Galileo Ferraris », Centro di Studio per la Televisione del C.N.R., corso Massimo d'Azeglio, 42, Torino.

Dattiloscritto pervenuto il 3 ottobre 1973.

Poiché punti adiacenti di un'immagine hanno una elevata probabilità di essere allo stesso livello di luminanza, le sottomatrici più probabili sono quelle corrispondenti ai punti in prossimità della retta $x_1 = x_2$; cioè, fissato ad esempio il valore di x_1 , la probabilità che x_2 sia molto differente da x_1 è molto bassa: se ne conclude che x_1 e x_2 sono variabili statistiche « dipendenti », ossia molto correlate.

Se si effettua una rotazione di 45° del sistema di coordinate passando al sistema (Y_1, Y_2), le sottomatrici più probabili sono quelle corrispondenti ai punti prossimi all'asse Y_1 ; ma ora, fissato un valore di y_1 , il valore di y_2 può assumere valori anche molto differenti da y_1 e quindi y_1 ed y_2 possono essere considerate variabili statistiche « meno dipendenti » in confronto con le variabili x_1 ed x_2 , ossia meno correlate.

La rotazione degli assi di 45° può essere descritta dal sistema di equazioni seguenti:

$$[1] \quad \begin{cases} y_1 = \frac{1}{\sqrt{2}} x_1 + \frac{1}{\sqrt{2}} x_2 \\ y_2 = \frac{1}{\sqrt{2}} x_1 - \frac{1}{\sqrt{2}} x_2 \end{cases}$$

e cioè la sottomatrice $\{y\} = \{y_1, y_2\}$ può essere ottenuta dalla sottomatrice $\{x\} = \{x_1, x_2\}$ mediante la trasformazione lineare:

$$[2] \quad \{y\} = \{H\} \{x\},$$

dove $\{H\}$ è una matrice unitaria definita dalla:

$$[3] \quad \{H\} = \frac{1}{\sqrt{2}} \begin{vmatrix} 1 & 1 \\ 1 & -1 \end{vmatrix}.$$

La matrice $\{H\}$ così definita, indipendentemente dal fattore di normalizzazione $1/\sqrt{2}$, viene detta matrice di Hadamard; $\{y\}$ costituisce il vettore « trasformata monodimensionale » del vettore $\{x\}$.

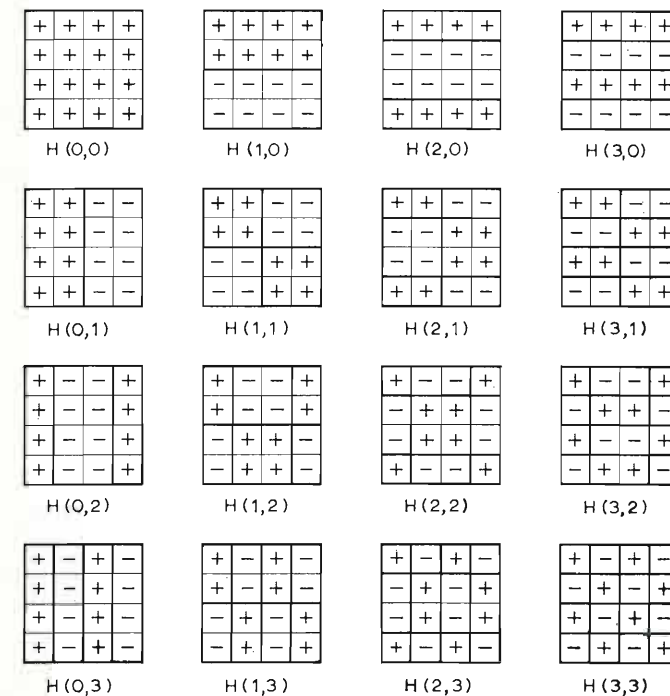


Fig. 2. — Generazione delle componenti di Hadamard $H(u, v)$ di una matrice di immagine di dimensioni 4×4 .

L'estensione al caso bidimensionale è immediata e la [2] si traduce nella [4]:

$$[4] \quad \{y\} = \{H\} \{x\} \{H\}.$$

La trasformazione inversa è data dalla [5] in quanto vale la [6]:

$$[5] \quad \{x\} = \{H\} \{y\} \{H\}$$

$$[6] \quad \{H\}^{-1} = \{H\}^t = \{H\} \quad (1).$$

Per introdurre un altro importante concetto sulla opportunità di usare la trasformata di Hadamard di un'immagine per ridurre l'informazione da trasmettere, si consideri il semplice caso di una matrice di immagine di dimensioni 4×4 . Si indichi con $H(u, v)$ l'elemento generico della matrice $\{y\}$ di dimensioni 4×4 e con u e v indici variabili da 0 a 3.

La figura 2 illustra come ogni elemento $H(u, v)$ della trasformata di Hadamard venga ottenuto combinando linearmente tutti i punti dell'immagine (16 in questo caso) con segno + o - come indicato. Ad esempio, l'elemento $H(0, 0)$ è ottenuto sommando tutti i punti dell'immagine mentre l'elemento $H(1, 0)$ è ottenuto sommando gli otto punti della metà superiore dell'immagine e sottraendo gli otto della metà inferiore, e così via.

Da quanto detto, risultando ogni elemento della trasformata dalla somma algebrica di tutti i punti dell'immagine di partenza, e considerando che punti sufficientemente distanti possono essere ritenuti statisticamente indipendenti, per il teorema del limite

(1) $\{H\}^{-1}$ è la matrice inversa ed $\{H\}^t$ è la matrice trasposta.

(2) L'entropia rappresenta il contenuto d'informazione ed è definita nel modo seguente:

$$E = \sum_i P_i \log_2 P_i,$$

con P_i = probabilità del segnale.

centrale, gli elementi della trasformata avranno una distribuzione gaussiana a valor medio nullo tranne che per la componente $H(0, 0)$ la quale, essendo la somma di tutti i punti dell'immagine, presenta un valore medio definito.

Ciò premesso, risulta che la distribuzione statistica di ogni elemento della trasformata è abbastanza indipendente dal tipo di immagine in una prefissata classe di immagini (ad esempio volti umani). Inoltre, poiché al crescere degli indici u e v l'elemento corrispondente della trasformata è determinato dalla somma di differenze di punti di immagini via via più vicini, ne segue che la maggior probabilità di possedere valori elevati spetterà agli elementi con indici bassi e quindi tali elementi possiederanno varianza più elevata di quella degli elementi ad indici alti. La varianza $\sigma(u, v)$ dell'elemento $H(u, v)$ è perciò una funzione decrescente nelle coordinate u e v .

La prima conclusione raggiunta si traduce nel fatto che, essendo i singoli elementi della trasformata statisticamente « meno dipendenti » di quanto lo sono i punti dell'immagine, si avrà:

$$[7] \quad E(y_1, y_2) \cong E(y_1) + E(y_2),$$

mentre:

$$[8] \quad E(x_1, x_2) = E(y_1, y_2) = E(x_1) + E(x_2/x_1)$$

dove con $E(x_1, x_2)$ si è indicata l'entropia (2) associata agli elementi x_1 ed x_2 e con $E(y_1, y_2)$ quella associata agli elementi y_1 ed y_2 .

La [7] è tanto più vera quanto più y_1 ed y_2 sono statisticamente indipendenti e da essa si deduce che un errore su y_1 ad esempio non si ripercuote su $E(y_2)$, mentre dalla [8] un errore di x_1 oltre a ripercuotersi naturalmente su $E(x_1)$, fa sentire la sua influenza anche su $E(x_2/x_1)$.

La seconda conclusione raggiunta si traduce nel fatto che, essendo la struttura statistica della trasformata più definibile a priori di quella dell'immagine, si può pensare di applicare ad essa criteri di codifica attraverso i quali sia possibile comprimere l'informazione.

2. Codifica della trasformata.

Nel precedente paragrafo è stato messo in evidenza che tutte le componenti della trasformata di Hadamard, tranne quella di coordinate 0, 0, hanno valor medio nullo; inoltre esse, risultando sempre dalla somma di $N^2/2$ termini positivi ed $N^2/2$ termini negativi (N è l'ordine della matrice di luminanza) assumono valori compresi nell'intervallo fra:

$$(-N^2/2) (2^K - 1) \text{ e } (+N^2/2) (2^K - 1);$$

K indica il numero di bit utilizzato per codificare ciascun punto dell'immagine (bibl. 1).

La densità di probabilità $P\{H(u, v)\}$ di tali componenti è gaussiana con varianza $\sigma(u, v)$ ed è espressa (bibl. 2) dalla:

$$[9] \quad P\{H(u, v)\} = \frac{1}{\sqrt{2\pi\sigma^2(u, v)}} \exp\left(-\frac{H^2(u, v)}{2\sigma^2(u, v)}\right).$$

La componente di coordinate 0, 0 è invece somma di tutti i punti dell'immagine e quindi assume valori compresi nell'intervallo 0, $+N^2(2^K - 1)$ (bibl. 1).

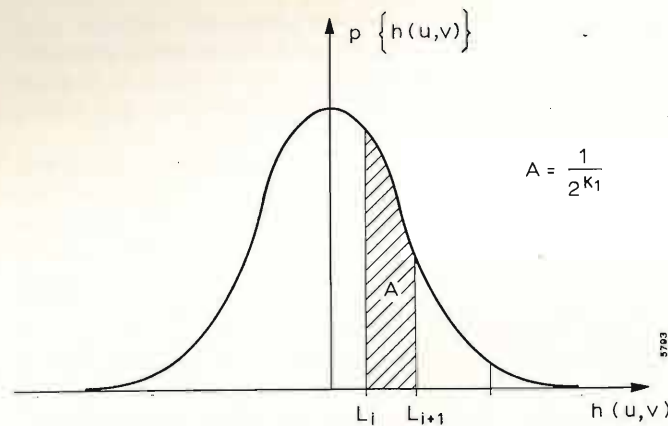


Fig. 3. — Distribuzione dei livelli di quantizzazione sulla curva $p \{h(u,v)\}$.

Nell'espressione [9] la varianza $\sigma(u, v)$ diminuisce al crescere degli indici u, v come è stato dedotto nel paragrafo 1.

Volendo codificare tutte le componenti della trasformata sarebbero necessari $(2n + K)$ bit con $N^2 = 2^{2n}$ (3); tuttavia poiché l'entropia dell'immagine coincide con quella della trasformata, quest'ultima può essere codificata con lo stesso numero di bit dell'immagine; sfruttandone inoltre le proprietà statistiche si può giungere ad un numero di bit minore.

I metodi di codifica normalmente utilizzati sono essenzialmente due:

- a) codifica con numero di bit variabile;
- b) codifica con numero di bit costante.

Il primo consiste nel codificare con un elevato numero di bit gli elementi della trasformata a bassi indici u, v e ridurre il numero di bit per quelli ad elevati indici.

Il secondo metodo, cioè la codifica a numero di bit costante, è quello che presenta maggior interesse e viene analizzato a fondo in questo articolo.

2.1. CODIFICA DELLA TRASFORMATA A NUMERO DI BIT COSTANTE.

Si consideri un elemento generico della trasformata $H(u, v)$ con densità di probabilità $P \{H(u, v)\}$ data dalla [9] e lo si normalizzi rispetto alla sua varianza $\sigma(u, v)$; il nuovo elemento $h(u, v)$ che si ottiene [10] (bibl. 2) è ancora una variabile gaussiana, ma con varianza unitaria e cioè con densità di probabilità $p \{h(u, v)\}$ data dalla [11] (bibl. 2):

$$[10] \quad h(u, v) = \frac{H(u, v)}{\sigma(u, v)};$$

$$[11] \quad p \{h(u, v)\} = \frac{1}{\sqrt{2\pi}} \exp \left(-\frac{h^2(u, v)}{2} \right).$$

In tal modo tutti gli elementi hanno distribuzione gaussiana con varianza unitaria e possono quindi es-

(3) La relazione $N^2 = 2^{2n}$ (che lega il numero N di punti di un lato del quadrato elementare in cui è divisa l'intera immagine ad n) stabilisce le seguenti corrispondenze:

N	= 2	4	8	16
N^2	= 4	16	64	256
n	= 1	2	3	4

per $K = 3$, bit = $2n + K = 5 \quad 7 \quad 9 \quad 11 \quad \dots$

sere codificati con lo stesso numero di bit utilizzando lo stesso tipo di quantizzatore.

2.2. QUANTIZZATORE GAUSSIANO.

Fissato il numero di bit con cui codificare l'elemento $h(u, v)$, si tratta di scegliere in modo opportuno i livelli di quantizzazione.

Un quantizzatore lineare non risponde allo scopo in quanto si disporrebbe di un elevato numero di livelli anche per quei valori che hanno poca probabilità di verificarsi.

Un quantizzatore molto più efficiente si ottiene disponendo i livelli in modo che il valore della variabile casuale da codificare cada con uguale probabilità all'interno di ciascuno di essi. Se con K_1 si indica il numero di bit che si vogliono utilizzare occorre scegliere i livelli L_i di quantizzazione di figura 3 in modo che l'intera area delimitata dalla curva gaussiana di figura 3 venga suddivisa in aree elementari A , tutte uguali ed in numero pari al numero dei livelli 2^{K_1} . Affinché ciò si verifichi (bibl. 2) deve essere soddisfatta la relazione:

$$[12] \quad \frac{1}{\sqrt{2\pi}} \int_{L_i}^{L_{i+1}} \exp \left(-\frac{h^2(u, v)}{2} \right) dh(u, v) = \frac{1}{2^{K_1}}.$$

In tal modo si avranno evidentemente livelli più ravvicinati nei punti corrispondenti a densità di probabilità più elevata. Il quantizzatore suddetto viene denominato « gaussiano ».

2.3. QUANTIZZATORE CON ERRORE QUADRATICO MEDIO MINIMO.

Con il quantizzatore gaussiano si scelgono i livelli in modo che ciascuno di essi sia equiprobabile; tuttavia nei livelli più distanziati indicati in figura 3 l'errore di quantizzazione è più grande e quindi essendo i livelli equiprobabili, non si ha una buona distribuzione dell'errore.

È possibile quindi utilizzare un altro tipo di quantizzatore che renda equiprobabile l'errore di quantizzazione scegliendo i livelli L_i secondo la [13] (bibl. 2):

$$[13] \quad L_i = \frac{\frac{N^2 L_M}{2} \int_0^{L_i} [p \{h(u, v)\}]^{-1/3} dh(u, v)}{\frac{N^2 L_M}{2} \int_0^{L_M} [p \{h(u, v)\}]^{-1/3} dh(u, v)}$$

Nella [13] L_i indica l' i -esimo livello di quantizzazione, K_1 il numero di bit usati per codificare gli elementi normalizzati della trasformata ed $L_M = 2^K - 1$ con K numero di bit usati nella codifica dell'immagine.

2.4. ANDAMENTO DELLA VARIANZA.

Per normalizzare gli elementi $H(u, v)$ della trasformata occorre conoscere quantitativamente l'andamento della varianza $\sigma(u, v)$ in funzione degli indici u, v . Se si ammette l'uguaglianza della varianza su cer-



Fig. 4. — Schema a blocchi del sistema di compressione.

chi (bibl. 1) centrati nell'origine del piano della trasformata, si ottiene (bibl. 2) per $\sigma^2(u, v)$ l'espressione:

$$[14] \quad \sigma^2(u, v) = a \exp \left(-\frac{u^2 + v^2}{\beta} \right)$$

con a e β costanti parametriche.

Prefissando a priori il valore di β si trova con un procedimento adattativo il valore di a minimizzando l'errore di quantizzazione.

Si può anche scegliere per $\sigma^2(u, v)$ un'espressione

tale che la varianza rimanga costante su iperboli equilateri (bibl. 1) centrate nell'origine degli assi del piano della trasformata e cioè (bibl. 1):

$$[14'] \quad \sigma^2(u, v) = a \exp \left(-\frac{uv}{\beta} \right)$$

sempre con a e β costanti parametriche.

3. Sistema di compressione.

La figura 4 illustra il modello del sistema di compressione dell'informazione sulla trasformata $H(u, v)$ di Hadamard di un'immagine $f(x, y)$.

Si parte da una matrice di luminanza $f(x, y)$ di dimensioni $N \times N$ che viene scomposta in $(N/M)^2$ sotto-matrici di dimensioni $M \times M$ ($M \leq N$); per ogni sotto-matrice viene eseguita la trasformata di Hadamard $H(u, v)$ i cui elementi vengono normaliz-



Fig. 5. — a) immagine originale: $M = N = 128$, $L = 256$, $K = 8$;
— b), c), d): $M = 4$, $\beta = 100$, C.T. = 100 %;
— b): $L = 16$, $\tau_c = 62,2\%$, E.R.M. = 0,01021, E.Q.M. = 1,52577;
— c): $L = 8$, $\tau_c = 50\%$, E.R.M. = 0,01181, E.Q.M. = 1,75644;
— d): $L = 4$, $\tau_c = 38,2\%$, E.R.M. = 0,02982, E.Q.M. = 5,25765.

Fig. 6. — a), b): $M = 8$, $\beta = 100$, C.T. = 100 %;
— a): $L = 16$, $\tau_c = 53,6\%$, E.R.M. = 0,01246, E.Q.M. = 1,63963;
— b): $L = 8$, $\tau_c = 41,2\%$, E.R.M. = 0,0248, E.Q.M. = 3,63478.



Fig. 7.
 — a), b): $M = 16, \beta = 100, C.T. = 100\%$;
 — a): $L = 32, \tau_c = 63,6\%, E.R.M. = 0,01249, E.Q.M. = 1,42684$;
 — b): $L = 16, \tau_c = 51,1\%, E.R.M. = 0,02196, E.Q.M. = 2,65098$.

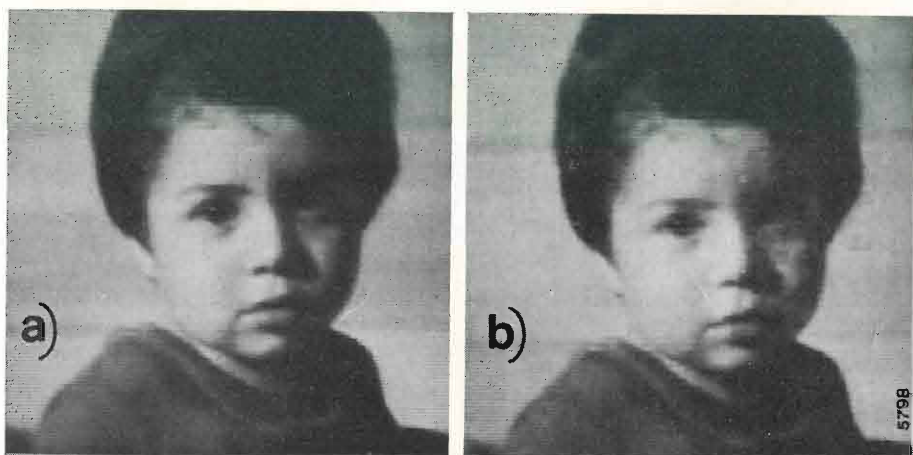


Fig. 8.
 — a), b): $M = 32, \beta = 100, C.T. = 100\%$;
 — a): $L = 32, \tau_c = 62,7\%, E.R.M. = 0,03343, E.Q.M. = 4,32834$;
 — b): $L = 16, \tau_c = 50,2\%, E.R.M. = 0,0398, E.Q.M. = 4,38373$.

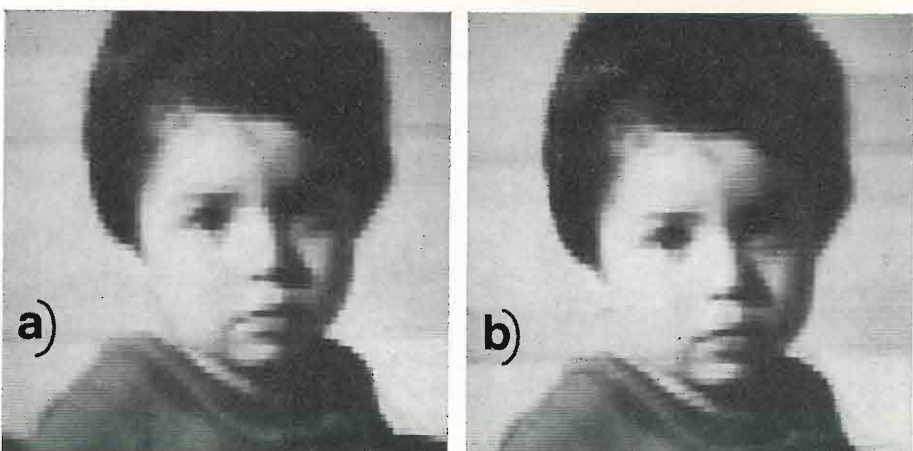


Fig. 9.
 — a): $M = 4, L = 8, \beta = 100, \gamma_c = 2, C.T. = 25\%, \tau_c = 22\%, E.R.M. = 0,02816, E.Q.M. = 4,66622$;
 — b): $M = 8, L = 16, \beta = 100, \gamma_c = 5, C.T. = 34,3\%, \tau_c = 21\%, E.R.M. = 0,029946, E.Q.M. = 4,491406$;
 — c): $M = 16, L = 32, \beta = 100, \gamma_c = 13, C.T. = 39,4\%, \tau_c = 25,7\%, E.R.M. = 0,03063, E.Q.M. = 4,303751$;
 — d): $M = 32, L = 32, \beta = 200, \gamma_c = 20, C.T. = 20,6\%, \tau_c = 12,5\%, E.R.M. = 0,035428, E.Q.M. = 5,046838$.

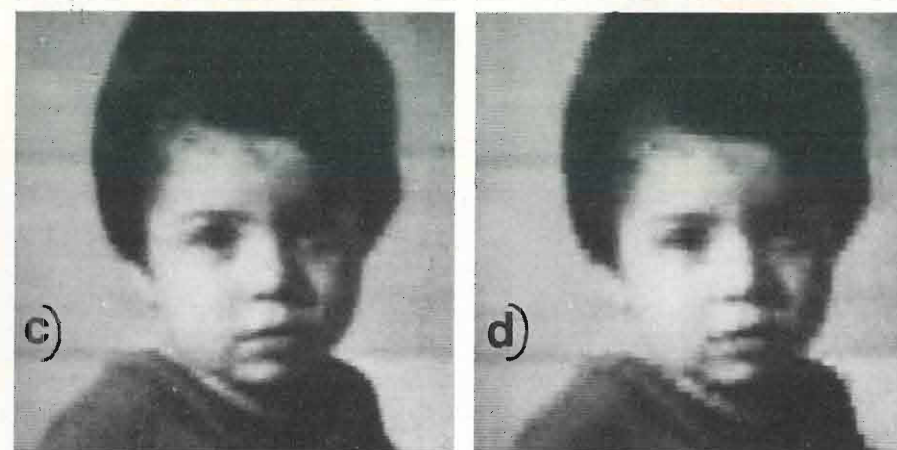
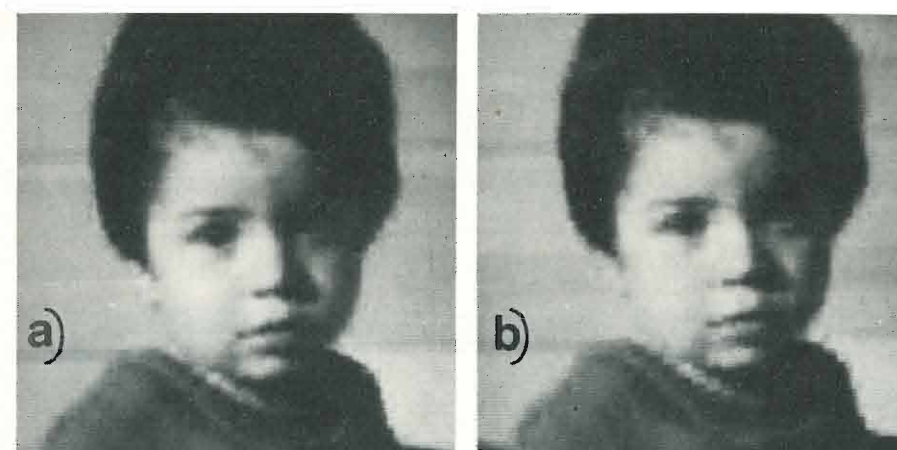


Fig. 10.
 — a): $M = 4, L = 8, \beta = 100, \gamma_i = 1, C.T. = 37,5\%, \tau_c = 26,5\%, E.R.M. = 0,024525, E.Q.M. = 3,88798$;
 — b): $M = 8, L = 16, \beta = 100, \gamma_i = 4, C.T. = 29,7\%, \tau_c = 18,4\%, E.R.M. = 0,02441, E.Q.M. = 3,697558$;
 — c): $M = 32, L = 32, \beta = 150, \gamma_i = 200, C.T. = 40,2\%, \tau_c = 25,1\%, E.R.M. = 0,028624, E.Q.M. = 3,401265$;
 — d): $M = 32, L = 32, \beta = 200, \gamma_i = 80, C.T. = 25,3\%, \tau_c = 16\%, E.R.M. = 0,035722, E.Q.M. = 4,62867$.

zati e quantizzati dal compressore C ; si suppone che il canale di trasmissione sia ideale.

Eseguendo le operazioni inverse attraverso l'espansore E e l'antitrasformata $H^{-1}(u, v) = H(u, v)$ si ottiene l'immagine $\hat{f}(x, y)$ i cui elementi saranno ovviamente diversi da quelli dell'immagine $f(x, y)$.

L'operazione di compressione viene eseguita su tutti gli elementi della trasformata tranne che sull'elemento $H(0, 0)$ che viene codificato con $(2n + K)$ bit. Per ogni sotto-matrice si trasmette inoltre il valore di α che richiede $[(2n + K) - 3]$ bit.

4. Valutazione dei risultati.

Prima di analizzare i risultati ottenuti sulla compressione di informazione, è opportuno precisare in quale modo si sono valutate le prove effettuate.

Poiché è difficile trovare un metodo oggettivo per valutare la qualità di un'immagine, si usa generalmente un criterio soggettivo basato sul confronto dell'immagine ottenuta attraverso elaborazione con l'immagine di partenza. Nella letteratura sono definiti l'errore relativo medio E.R.M. e l'errore quadratico medio spaziale E.Q.M. mediante le relazioni:

$$[15] \quad E.R.M. = \frac{1}{N^2} \sum_{x=0}^{N-1} \sum_{y=0}^{N-1} \frac{|f(x, y) - \hat{f}(x, y)|}{|f(x, y)|}$$

$$[16] \quad E.Q.M. = \sqrt{\frac{1}{N^2} \sum_{x=0}^{N-1} \sum_{y=0}^{N-1} |f(x, y) - \hat{f}(x, y)|^2}$$

L'errore relativo medio spaziale E.R.M., risulta più grande per quei punti che hanno luminanza bassa, perciò esso si avvicina di più alla valutazione sogget-

tiva in quanto l'occhio umano apprezza molto meglio le variazioni di luminanza in prossimità dei neri che non in prossimità dei bianchi (bibl. 2).

L'errore quadratico medio spaziale E.Q.M. si può invece associare alla perdita di energia che si ha attraverso il processo di quantizzazione e codifica.

5. Analisi dei risultati.

Le fotografie riprodotte nelle figure 5, 6, 7 e 8 illustrano i risultati ottenuti utilizzando un quantizzatore con errore quadratico medio minimo con varianza $\sigma(u, v)_c$ costante su cerchi. Nelle didascalie di dette figura sono indicati con:

- M le dimensioni della sotto-matrice elaborata;
- L il numero dei livelli del quantizzatore usato;
- $\sigma(u, v)_c$ la costanza della varianza su cerchi;
- β la costante parametrica che entra nell'espressione [14];
- E.R.M. l'errore relativo medio spaziale;
- E.Q.M. l'errore medio spaziale;
- C.T. il numero di componenti che vengono quantizzate;
- τ_c il rapporto di compressione (cioè il rapporto tra il numero di bit utilizzati per codificare le componenti della trasformata ed il numero di bit usati per codificare l'immagine originale);
- γ_c il valore del parametro γ della [17];
- γ_i il valore dello stesso parametro nella [18].

L'immagine a) della figura 5 è l'originale mentre le b), c), d) si riferiscono rispettivamente all'elaborazione di sotto-matrici di dimensioni 4×4 al variare del numero di livelli di quantizzazione.

Le figure 6 a) e b), 7 a) e b), 8 a) e b) corrispondono invece ad elaborazione di sotto-matrici di dimensioni 8×8 , 16×16 , 32×32 rispettivamente. Si può notare che, diminuendo le dimensioni della sotto-matrice si riesce, a parità di rapporto di compressione, ad ottenere immagini migliori. Infatti la trasformata di Hadamard consente di ridurre l'informazione nella misura in cui i punti dell'immagine sono correlati tra loro.

Una ulteriore diminuzione del rapporto di compressione si può ottenere riducendo il numero di componenti della trasformata di Hadamard da trasmettere. Infatti, poiché le componenti che trasportano maggior energia sono quelle a bassi indici u, v si può pensare di ricostruire l'immagine antitrasformando il piano della trasformata decurtato di alcune componenti in accordo con la [17] o con la [18] (bibl. 1):

$$[17] \quad H(u, v) = 0 \quad \text{per} \quad u^2 + v^2 > \gamma;$$

$$[18] \quad H(u, v) = 0 \quad \text{per} \quad u \cdot v > \gamma.$$

Seguendo la [17] si esegue una « soppressione per cerchi », mentre seguendo la [18] si esegue una « soppressione per iperboli ». La costante γ viene fissata a priori in funzione dell'entità della soppressione che si vuole effettuare.

Le figure 9 a), b), c) e d) si riferiscono ad elaborazioni effettuate appunto utilizzando la « soppressione per cerchi » e codificando le componenti non eliminate usando il quantizzatore con errore quadratico medio minimo e $\sigma(u, v)$ costante su cerchi.

Le figure 10 a), b), c) e d) illustrano invece le elaborazioni sempre con varianza $\sigma(u, v)$ ma con « soppressioni per iperboli ».

La soppressione di un certo numero di componenti porta ad un'ulteriore riduzione del rapporto di compressione a scapito però di un peggioramento della qualità delle immagini quanto più le dimensioni della sotto-matrice sono piccole.

Le elaborazioni sono state effettuate utilizzando l'apparecchiatura a disposizione del Centro di Studio per la Televisione del C.N.R. descritta in bibliografia 4.

Gli autori ringraziano il prof. Claudio Egidi per l'incoraggiamento e gli utili consigli forniti nello svolgimento del presente lavoro.

(1638)

Torino - Centro di Studi per la Televisione del C.N.R. presso l'Istituto Elettrotecnico Nazionale Galileo Ferraris.

BIBLIOGRAFIA

1. - PONCIN J.: *Utilisation de la transformation de Hadamard pour le codage et la compression de signaux d'images.* « Annales des télécommunications », Vol. XXVI, n. 7/8, luglio-agosto 1971, pagg. 235-252.
2. - ANDREWS H. C.: *Computer techniques in image processing.* « Academic Press 1970 », New York and London.
3. - WINTZ P. A.: *Trasform picture coding.* « Proc. IEEE », Vol. LX, n. 7, luglio 1972, pagg. 809-820.
4. - BAVOSI G., RACCIU A.: *Apparecchiatura per elaborazione di immagini televisive.* « Elettronica e Telecomunicazioni », Vol. XXII, n. 4, agosto 1973, pagg. 123-126.
5. - ALBERICO F., BOVE F.: *La trasformata di Hadamard nella trasmissione numerica di immagini.* « Elettronica e Telecomunicazioni », vol. XXII, n. 3, giugno 1973, pagg. 97-109.



IL PRIMO VERO TESTER DIGITALE

- PER IL PREZZO IMBATTIBILE
- PER LA VERSATILITA' (VOLT/AMP CC E CA - OHM)
- PER LA PORTABILITA' (ALIM. RETE E BATTERIE)
- PER LA GARANZIA DEL NOME
- PER LE ECCEZIONALI CARATTERISTICHE:

2250 punti di misura per 29 portate con risoluzioni di 0,1 mV e 10 nanoAmp, misure sino 1000 Volt e 10 Ampere! E' dotato di indicatore analogico ed uscita analogica.

AGENTE ESCLUSIVO PER L'ITALIA:

VIANELLO
 Sede: 20122 MILANO - Via Crivelli 12 - Telefoni 553811 - 553081
 Filiale: 00185 ROMA - Via S. Croce in Gerusalemme 97 - Tel. 7576941/250

SINCRONIZZAZIONE DELLE PORTANTI DEI TRASMETTITORI ONDA MEDIA E TV DELLA RAI

MEDIANTE DISTRIBUZIONE DI UNA FREQUENZA CAMPIONE CENTRALIZZATA DI 16,6 kHz

GIOVANNI GENTILE (*)

SOMMARIO — Nella prima parte vengono analizzati i problemi che la RAI incontra per il corretto esercizio dei suoi trasmettitori ad onda media (OM) nei canali sincronizzati e dei suoi trasmettitori televisivi (TV) in offset normale e di precisione. Per una migliore soluzione futura di queste esigenze si illustrano quindi la convenienza e la possibilità di distribuire, su tutto il territorio italiano, una nota campione di 16,6 kHz, di grande precisione e lungo termine e di stabilità a breve termine dell'ordine di $1 \cdot 10^{-9}$, con la quale correggere tutte le portanti OM e TV riferendole ad un unico campione centralizzato.

SUMMARY — *Carrier synchronization of MW and TV RAI transmitters by the distribution of a centralized standard frequency of 16,6 kHz.* In the first part of this paper some problems are outlined which arise in correctly operating AM broadcast transmitters on synchronized MW channels and in TV transmitters with non precision and precision frequency offset-carrier. As convenient solution of these problems are then described the opportunity and possibility of distributing on the whole Italian country a standard tone of 16,6 kHz with a high long term frequency precision and short-term frequency stability better than $1 \cdot 10^{-9}$, to control the RF carrier of MW and TV transmitters, by comparison against a common frequency standard.

1. Generalità.

La scarsità delle frequenze assegnate per le emissioni radiofoniche nella gamma delle onde medie (OM) ha suggerito, da circa tre decenni, l'opportunità di utilizzare in uno stesso paese un unico canale per più trasmettitori che irradiano tutti uno stesso programma. Questo particolare uso condiviso di un canale da parte di più trasmettitori, potenti e anche vicini l'uno all'altro, richiede però contemporaneamente:

- a) che i battimenti tra le portanti dei vari trasmettitori che utilizzano quel canale siano inferiori in frequenza a 4 ÷ 5 centesimi di Hz (i trasmettitori che rispettano questa condizione sono detti trasmettitori sincronizzati o anche che formano un gruppo sincronizzato);

(*) Dott. ing. Giovanni Gentile, Centro di Controllo della RAI, Monza.

Dattiloscritto pervenuto il 22 agosto 1973.

(1) Soddisfatte queste due condizioni l'interferenza tra le portanti non si manifesta sotto forma di nota o di battimento, dovuto a variazioni di livello sonoro, ed il rapporto di protezione, necessario per una ricezione discreta (pari a 25 dB per stazioni isocanali e programmi diversi), si riduce fino a 9 dB (fig. 1). Battimenti più veloci (per esempio della durata di 10 secondi pari a 1/10 di Hz) richiedono un rapporto notevolmente maggiore perché permettono all'ascoltatore di prevedere l'intervallo tra le lievi distorsioni corrispondenti ai momenti in cui due segnali sono in controfase. Anche battimenti troppo lenti, per esempio con periodo di centinaia di secondi, sono da considerarsi nocivi perché la durata della distorsione dovuta ai segnali in controfase può essere di 10-20 secondi. Fortunatamente quest'ultimo caso si verifica molto raramente. Nell'intervallo tra questi due estremi il battimento non è prevedibile e la distorsione che esso provoca appare come casuale e

- b) che il programma irradiato sia lo stesso per tutti i trasmettitori, nel qual caso, se soddisfatta la condizione a), il rapporto di protezione (rapporto tra il campo del segnale utile e la risultante dei campi degli altri trasmettitori del gruppo) per una ricezione discreta può scendere fino a 9 dB circa (1).

In pratica il rispetto della condizione a) è assicurato mediante oscillatori piloti, uno per ogni trasmettitore, dotati di quarzi di notevole stabilità (almeno di $1 \cdot 10^{-8}$ /giorno) e precisione in frequenza. Ciononostante, per effetto delle inevitabili derive di frequenza di questi quarzi, tra le portanti dei vari trasmettitori possono nascere col tempo battimenti, cui corrispon-

quindi poco fastidiosa. Si ricorda inoltre che per battimenti di frequenza superiore a qualche decimo di Hz tutti i benefici dovuti alla modulazione con lo stesso segnale diventano quasi inefficaci ed il battimento intollerabile. Per esempio per un Δf di 2 Hz il rapporto di protezione per una ricezione discreta sale fino ad oltre 20 dB. Sono questi i principali motivi per cui le reti sincronizzate, per un loro buon esercizio, devono essere tenute sotto la sorveglianza dei Centri di Controllo.

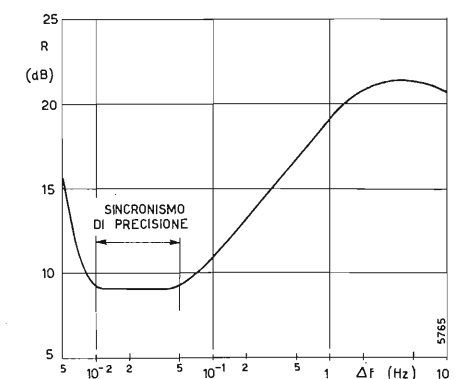


Fig. 1. — Rapporto di protezione R in funzione dello scarto Δf fra le portanti di due stazioni OM isoprogramma; è indicata la zona corrispondente al «sincronismo di precisione».

dono disturbi di un trasmettitore sugli altri, tali da ridurre drasticamente le rispettive aree di servizio.

Per eliminare questi battimenti a ciascun trasmettitore di un gruppo sincronizzato deve pervenire, con una certa periodicità, un segnale pilota centralizzato di grande stabilità e precisione in frequenza; con esso, che deve essere lo stesso per tutti i trasmettitori del gruppo, si verificherà la precisione della portante irradiata da quel trasmettitore che eventualmente verrà corretta al valore previsto.

Oltre che per le stazioni sincronizzate, la stessa necessità è sentita anche per tutti i grandi trasmettitori OM che utilizzano un canale condiviso con trasmettitori di altri paesi e che irradiano perciò differenti programmi.

La scarsità di canali destinati alla televisione nelle bande I, III, IV e V pone problemi analoghi anche per quanto riguarda i valori delle frequenze portanti video dei trasmettitori che utilizzano uno stesso canale TV. In questo caso la riduzione del disturbo reciproco, tra le aree di servizio di trasmettitori in un unico canale televisivo, si ha quando i battimenti tra le varie portanti video si trovano nell'intorno di certi valori detti di « offset ». Come è noto i valori di offset più opportuni si hanno quando i battimenti video, tra le portanti di due trasmettitori in uno stesso canale, sono pari a multipli di 1/12 della frequenza di riga: p. es.: 4/12, 6/12, 8/12,, (2).

(2) Il disturbo reciproco che si arrecano due trasmettitori televisivi, le cui portanti video modulate in ampiezza utilizzano lo stesso canale (con uno scarto Δf tra le portanti al massimo dell'ordine di qualche decina di kHz), determina variazioni di luminosità che si manifestano sotto forma di barre orizzontali più o meno larghe che si sovrappongono all'immagine utile. A parità del disturbo soggettivo dovuto a queste barre, il rapporto di protezione è fortemente influenzato dal valore di Δf espresso come scarto rispetto alla frequenza di riga f_r , pari a 15.625 Hz, come risulta dalla figura 2. La figura 2 a) mostra infatti l'invi-

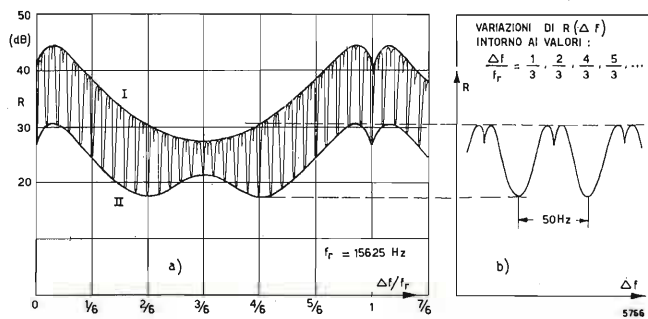


Fig. 2. — Le curve I e II sono gli involucri superiore e inferiore delle variazioni del rapporto di protezione R al variare dello scarto Δf fra le frequenze delle due portanti TV interferenti fra loro. Tali variazioni di R compiono un ciclo per ogni incremento di 50 Hz dello scarto di frequenza Δf come è illustrato nella parte b) della figura.

luppo superiore I e quello inferiore II delle oscillazioni che il rapporto di protezione R subisce al variare di Δf , compiendo un ciclo per ogni incremento di 50 Hz dello scarto Δf . Il ciclo di R, fra I e II, ha l'andamento indicato in figura 2 b) in cui si è espansa orizzontalmente una parte della curva $R(\Delta f)$. Se lo scarto tra le portanti Δf non è sufficientemente stabile nel tempo (per esempio ± 500 Hz), il rapporto di protezione su cui si può contare in pratica è dato dalla curva superiore e raggiunge un minimo non critico nell'intorno di $\Delta f = 1/2 f_r, 3/2 f_r$ ecc. (offset normale o offset non di precisione). Invece disponendo di piloti video molto stabili (almeno $1 \cdot 10^{-8}$) e con scarto Δf sui minimi di figura 2 b) il rapporto di protezione diventa quello dell'involuppo inferiore con minimi a circa $1/3 f_r,$

Un primo beneficio, dell'ordine di 15 dB, si ha se le portanti video riescono a mantenere il valore previsto con un errore massimo di ± 500 Hz (offset normale, vedere fig. 2).

Un beneficio ulteriore di altri 10 dB si ha se, e soltanto se, le varie portanti interessate al disturbo mantengono i loro valori di offset con una precisione di $\pm 2,5$ Hz (offset di precisione).

Naturalmente anche per un buon funzionamento nel tempo di una rete di trasmettitori TV in offset, per impedire cioè che le frequenze portanti escano dai limiti dei rispettivi valori di offset, è necessario che ciascun trasmettitore disponga di un generatore della frequenza video (eccitatore) munito di quarzo, di notevole precisione e stabilità, la cui frequenza deve essere periodicamente corretta a cura di un Centro di Controllo o con l'invio di una nota campione.

2. Situazione attuale dei trasmettitori RAI.

I trasmettitori onda media della RAI sono per la maggior parte riuniti in gruppi sincronizzati (per un totale di circa 100 trasmettitori) e utilizzano:

- i canali sincronizzati 566 kHz, 656 kHz, 1061 kHz, 1331 kHz e 1578 kHz per irradiare il Programma Nazionale;
- i canali sincronizzati 1034 kHz, 1115 kHz, 1223 kHz, 1313 kHz, 1430 kHz e 1448 kHz, per irradiare il Secondo Programma;
- il canale 1367 kHz per irradiare il Terzo Programma.

Gli altri trasmettitori OM della RAI irradiano nei canali condivisi o internazionali e sulle frequenze esclusive di 845 kHz (Roma 2) e di 899 kHz (Milano 1).

Per mantenere le frequenze portanti di tutte queste stazioni entro i limiti di cui si è parlato nella premessa, la RAI utilizza fin dal 1949 una nota campione di 1 kHz. Questa viene ottenuta a Roma a partire da un campione di frequenza di notevole precisione ed inviata, tramite cavi telefonici e collegamenti a rimbalzo MF della rete del terzo programma, a tutti i suddetti trasmettitori OM. Naturalmente, siccome tale nota transita negli stessi canali utilizzati per l'invio della modulazione del terzo programma, il 1000 Hz campione è inoltrato giornalmente, soltanto prima dell'inizio del programma stesso, dalle 06,45 alle 07,45. Durante questo intervallo di un'ora, a cura del per-

$2/3 f_r, 4/3 f_r, 5/3 f_r,$ ecc. Si realizza così l'offset di precisione, che riduce gli effetti delle interferenze al minimo possibile. Data la criticità di questi minimi l'offset di precisione, pena la perdita della sua efficacia, tollera scostamenti dai rispettivi valori nominali (in pratica variazioni delle frequenze portanti video dei trasmettitori TV) non superiori a pochi Hz. Fisicamente quanto sopra si può anche spiegare, in altro modo, osservando che in condizione di offset una qualsiasi riga video viene influenzata, dalla presenza di una portante isocanale indesiderata, in modo che l'effetto ottico dell'interferenza si riduce notevolmente a causa della compensazione luminosa tra immagini successive. Questa compensazione o interlacciamento si verifica:

- ogni 3 quadri se $\Delta f = 1/3 f_r$ circa (5.225 Hz $\pm n$ 50 Hz);
- ogni 3 quadri se $\Delta f = 2/3 f_r$ circa (10.450 Hz $\pm m$ 50 Hz);
- ogni 2 quadri se $\Delta f = 1/2 f_r$ circa (7.812,5 Hz $\pm k$ 12,5 Hz).
- ecc. dove n, m e k sono numeri interi.

Se il numero di quadri necessari alla compensazione è maggiore di 3 il rapporto di protezione aumenta per effetto dello sfarfallamento.

sonale addetto, deve avvenire il controllo e, se è necessario, l'eventuale correzione manuale delle portanti di tutti i trasmettitori OM della RAI.

Numerosi trasmettitori e ripetitori TV della RAI, specie quelli della banda III, irradiano in offset per la necessità di far coesistere un numero elevato di portanti in uno stesso canale. In offset di precisione irradiano i trasmettitori di maggiore potenza dai quali dipende un gran numero di ripetitori. In generale questi, se necessario, sono invece tenuti in offset normale alla precisione di ± 500 Hz.

Dei controlli e delle correzioni di questi offset si farà cenno più avanti.

3. Attuali difficoltà di esercizio.

La situazione attuale pone difficili problemi di esercizio per il corretto funzionamento nel tempo sia delle reti sincronizzate OM sia dei trasmettitori TV in offset normale o di precisione. Questi problemi sono andati aggravandosi sempre più in questi ultimi anni con la crescente automatizzazione dei centri trasmettenti, la maggior parte dei quali ora non è più presidiata da personale tecnico.

Le maggiori difficoltà per i controlli e le correzioni dei trasmettitori della rete OM sono dovute:

- a) all'orario limitato di presenza dell'attuale nota campione;
- b) alle difficoltà di presenza di personale tra le 06,45 e le 07,45 presso località non presidiate e sovente di difficile accesso;
- c) all'instabilità di fase del segnale a 1 kHz, dovuta alla complessità dei collegamenti che utilizzano talora varie tratte via radio, per cui a volte tale segnale risulta inservibile;
- d) alle apparecchiature e all'intera metodologia ormai vecchie e superate.

Per gli analoghi controlli e correzioni dei trasmettitori della rete TV in offset normale e di precisione si è finora ricorso ai Centri di Controllo di Monza e di Sorrento, quando da uno di questi Centri è possibile la ricezione diretta della portante interessata e un collegamento telefonico col personale del trasmettitore da correggere. In tutti gli altri casi la correzione è possibile solo con mezzo mobile attrezzato per misure di frequenza.

In ogni modo si incontrano varie difficoltà tra cui:

- a) presso i Centri TV sovente manca personale per effettuare la correzione;
- b) i collegamenti telefonici per i piccoli impianti sono a volte inesistenti;
- c) sovente il quarzo dell'eccitatore pilota da correggere, nei casi di offset non di precisione, ha una deriva troppo rapida o non può essere portato sulla frequenza voluta (occorre aggiungere o togliere capacità al compensatore).

4. Prospettive future e primi risultati di studi effettuati dalla RAI.

L'esercizio di stazioni sincronizzate OM e stazioni TV in offset, con tutte le difficoltà che il mantenimento degli esatti valori delle frequenze comporta, ha suggerito, già da alcuni anni, lo studio delle possibilità,

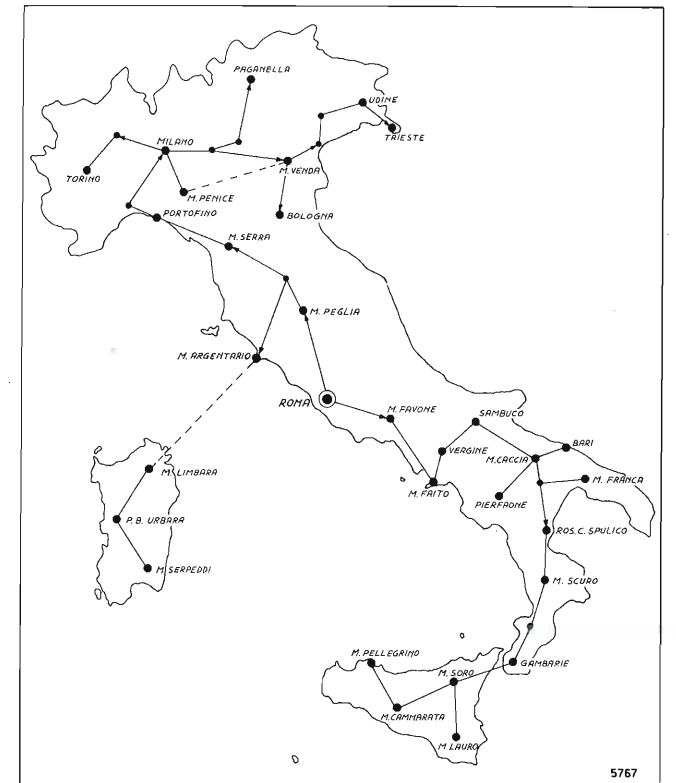


Fig. 3. — Principali centri trasmettenti TV a cui giungerà la frequenza di 16,6 kHz tramite ponti radio.

da parte della RAI e anche di altri organismi di radiodiffusione che in altri paesi gestiscono analoghe reti TV e OM, di far pervenire a tutti i trasmettitori di loro competenza e per la massima durata giornaliera possibile (comprese le ore dei programmi) una nota campione di grande stabilità e precisione, a cui fare riferimento per tutte le necessità già elencate nei paragrafi precedenti. A questo scopo all'estero è a volte utilizzata la frequenza portante di trasmettitori Onda Lunga nazionali.

In Italia, poiché la RAI non dispone di un simile impianto capace di coprire tutto il territorio italiano con forti campi non interferiti, si è ritenuto opportuno ricorrere ad una nota che transiti nei circuiti riservati alla modulazione.

Per non dover sempre riservare a questa nota un canale esclusivo (telefonico od in ponte radio) si sono inoltre studiate le possibilità di miscelare la nota campione ad un programma ed effettuare la modulazione col segnale composto senza creare per questo disturbi reciproci nei due distinti circuiti di bassa frequenza.

Il risultato è stato raggiunto, tenendo presente che la nota in questione deve:

- avere una frequenza ultracustica, ma non molto superiore a 15 kHz (limite superiore della banda modulante);
- essere un sottomultiplo di 100 kHz, il che permette in ricezione una facile ricostruzione della frequenza campione di 100 kHz o di 1 MHz.

Si è così arrivati alla frequenza di $100 \text{ kHz} / 6 = 16,6 \text{ kHz}$, la quale può essere associata ai segnali di bassa frequenza, può ancora transitare su circuiti di modulazione ed infine può essere irradiata unitamente al programma dei trasmettitori MF.

In sede di esercizio definitivo questa frequenza

sarà ottenuta a Roma dividendo per 6 la frequenza di 100 kHz ottenuta da un campione a quarzo agganciato, tramite regolatore di frequenza (apparecchiatura idonea a correggere la deriva a lungo termine del campione) ad una stazione internazionale Standard in Onda Lunga, che assicura un errore a lungo termine al massimo di qualche unità in 10^{-11} .

La frequenza di 16,6 kHz verrà inviata opportunamente, per mezzo della catena dei ponti radio utilizzata dalla RAI per la distribuzione dei programmi video e radiofonici e per altri servizi ausiliari, da Roma a tutte le regioni del territorio italiano e più esattamente a tutti i principali trasmettitori MF di una delle tre reti della RAI (fig. 3). Presso ciascuno di questi trasmettitori la frequenza di 16,6 kHz sarà usata, oltre che per certi servizi ausiliari, per pilotare i trasmettitori locali. Contemporaneamente verrà miscelata, utilizzando filtri opportuni, con uno dei programmi radiofonici la cui massima frequenza di modulazione è, come già detto, di 15 kHz.

Programma e nota, quest'ultima ad un livello cui corrisponde una deviazione di 7,5 kHz circa (il livello totale corrisponde invece a 75 kHz di deviazione), verranno quindi irradiati, a partire dai trasmettitori principali, con una serie di rimbalzi da trasmettitore a ripetitore e da ripetitore a ripetitore fino a raggiungere ogni punto del territorio italiano. La frequenza campione di 16,6 kHz, senza interferire con il programma radiofonico, sarà quindi disponibile all'uscita BF di un ricevitore MF (dotato di opportuni filtri per la separazione della nota dal programma e del programma dalla nota), in tutti i punti in cui è possibile la ricezione di un trasmettitore o di un ripetitore MF della RAI.

5. Correzione manuale ed automatica.

L'utilizzazione della frequenza di 16,6 kHz sia per i trasmettitori OM che per quelli TV potrà quindi avvenire secondo una o entrambe le seguenti tecniche:

- a) controllo ed eventuale rettifica manuale, in loco, dei trasmettitori sia TV che OM, limitatamente alle ore di presenza della nota campione, utilizzando semplici apparecchiature contenenti un oscillatore a quarzo di buona precisione che si aggancia alla frequenza di 16,6 kHz. Questo sistema non è altro che una generalizzazione del sistema usato tuttora, con la nota a 1 kHz, per il controllo e la correzione giornaliera dei trasmettitori OM delle reti sincronizzate;
- b) correzione automatica e meccanicamente memorizzata (3) della frequenza di un oscillatore a quarzo

(3) Questo tipo di correzione si effettua mediante il confronto in un comparatore di fase tra la frequenza a 16,6 kHz ottenuta dall'oscillatore locale opportunamente demoltiplicato (per 300 se si parte da 5 MHz) e la frequenza a 16,6 in arrivo dal campione centralizzato. La tensione c.c. in uscita dal suddetto comparatore avrà segno e intensità legati allo scarto di fase tra i due 16,6 kHz. Questa tensione aziona meccanicamente un sistema che modifica una polarizzazione in grado di correggere nel giusto senso la frequenza dell'oscillatore sotto controllo.

È chiaro che in tal modo al cessare della tensione dal comparatore, per esempio per effetto di un'interruzione del segnale a 16,6 kHz centralizzato, la tensione di polarizzazione variabile non subirà più alcuna correzione e quindi la frequenza dell'oscillatore locale rimarrà memorizzata meccanicamente al suo ultimo valore.

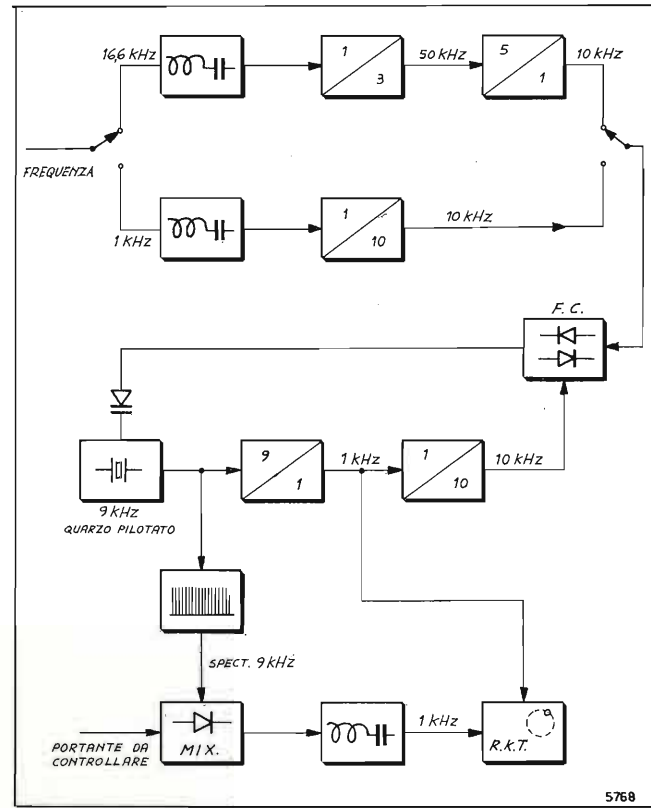


Fig. 4. — Schema di principio di una apparecchiatura per il controllo di frequenza della portante dei trasmettitori OM.

a 1 o a 5 MHz, con un'apparecchiature del tutto simile ad un regolatore di frequenza. Questo cristallo serve per il pilotaggio continuo di esercizio delle portanti OM e TV di tutti i trasmettitori di quel centro.

In questo caso la deriva giornaliera del cristallo locale (già con buona precisione propria) viene corretta in modo automatico e senza alcun intervento dell'uomo, utilizzando la frequenza 16,6 kHz anche se non presente con continuità.

Queste correzioni di frequenza, riferite per tutti i trasmettitori italiani ad un unico campione centralizzato, assicureranno il sincronismo e gli offset richiesti, sia per la rete OM che per quella TV, meglio che a partire da tanti campioni di frequenza locali, anche se di grande precisione e stabilità.

Gli oscillatori di cui alle lettere a) e b), se agganciati alla frequenza campione di 16,6 kHz, risultano avere la stabilità a lungo termine del campione di Roma ed una stabilità a breve termine caratteristica del cristallo locale. Infatti il sistema di aggancio di questo oscillatore ha una elevata costante di tempo per cui la stabilità della sua frequenza non risente dei salti di fase eventualmente introdotti dalla propagazione e dalla presenza della modulazione (specie delle frequenze sottomultiple di 16,6 kHz) lungo la catena dei rimbalzi, dal centro di miscelazione fino al punto di utilizzazione.

Nella figura 4 è visibile lo schema di principio di un'apparecchiatura portatile, già studiata e ora in corso di realizzazione in 40 esemplari, che sarà data in dotazione ai tecnici addetti ai controlli ed alle correzioni di frequenza dei trasmettitori OM. Con questa apparecchiatura, a partire dalla frequenza di 16,6 kHz

(o di 1 kHz se presente), è possibile controllare su tubo oscilloscopico la frequenza del trasmettitore locale OM ed eventualmente correggerla con una precisione di 1/100 di Hz e oltre. Prove fatte in tal senso in diverse zone del territorio italiano, comprese quelle per raggiungere le quali sono necessari numerosi rimbalzi da ripetitore a ripetitore (per esempio la zona della Valle Pusteria in provincia di Bolzano), hanno sempre dato esito favorevole dimostrando la possibilità di effettuare correzioni di frequenza dei trasmettitori sincronizzati OM a tutte le ore del giorno e con un'affidabilità e facilità in passato mai raggiunte con la nota a 1 kHz.

Sempre per il controllo e la correzione manuale, secondo la tecnica descritta al punto a, non è difficile concepire e realizzare un'apparecchiatura analogica che, nelle ore in cui è presente la frequenza campione a 16,6 kHz, permetta, da parte del personale tecnico dei vari trasmettitori TV e facendo riferimento ad un unico campione centralizzato, il controllo e, se necessario, la correzione manuale delle portanti video al loro valore esatto di offset, anche di precisione.

Per l'utilizzazione in questo senso della frequenza campione a 16,6 kHz, sono state effettuate, a cura del Centro di Controllo di Monza, numerose indagini sperimentali. Da queste prove è risultata la possibilità di tenere agganciato, a partire dalla frequenza in questione, un cristallo a 1 MHz, di modeste caratteristiche, con una instabilità a breve termine corrispondente a circa $1 \cdot 10^{-9}$, pari a 2/10 di Hz a 200 MHz.

Sarà quindi possibile in ogni punto del territorio italiano, con opportune apparecchiature e con una precisione di $1 \cdot 10^{-9}$ circa, sufficiente allo scopo, la correzione manuale della portante video con una certa periodicità e in tutti i casi di necessità.

Infine l'apparecchiatura per la tecnica della correzione automatica e meccanicamente memorizzata, descritta alla precedente voce b), è stata studiata e realizzata presso il Laboratorio della RAI di Torino. Due esemplari di queste apparecchiature (contenenti un quarzo di riferimento a 5 MHz di buone caratteristiche) sono funzionanti, da circa un anno, presso i centri trasmettitori TV di Milano e di Bertinoro. La frequenza a 16,6 kHz, in arrivo da Monza tramite i ponti radio, mantiene agganciati e corregge automaticamente i due quarzi pilota a 5 MHz da cui, per sintesi, si ottengono, con altre apparecchiature, le frequenze portanti video in offset, con precisione a breve e medio termine assicurate dal cristallo locale.

Anche se la frequenza 16,6 kHz non è presente in tutte le ore del giorno, accurate misure di frequenza delle due portanti video hanno permesso di accertare che il massimo errore di frequenza riscontrabile è dell'ordine di $\pm 0,1$ Hz a 200 MHz, ampiamente inferiore al valore che assicura i benefici dell'offset di precisione.

(1628)



DALL'UHF ALLA BANDA X CON I CIRCOLATORI DI POTENZA MERRIMAC



La MERRIMAC offre ora una linea completa di circolatori di potenza a ferrite per installazioni in coassiale e in guida d'onda: i modelli Standard sono disponibili dall'UHF sino alla Banda X mentre dispositivi speciali vengono forniti su specifica del cliente.

Ecco alcuni esempi:

Coaxial Circulators FCC-1100 Series

MODEL	FREQUENCY RANGE GHz	POWER PEAK	AVG.	INS. LOSS MAX dB	ISOLATION MIN dB	VSWR	CONNECTORS	COOLING
FCC-1101	42-45	500 kw	10 kw	0.3	18	1.25	3 1/2"	Liquid
FCC-1102	45-48	500 kw	10 kw	0.3	18	1.25	3 1/2"	Liquid
FCC-1103	75-85	50 kw	2 kw	0.4	16	1.35	1 1/2"	Air
FCC-1104	85-95	50 kw	2 kw	0.4	16	1.35	1 1/2"	Air
FCC-1105	1.25-1.35	50 kw	500 w	0.3	20	1.25	1 1/2"	Air
FCC-1106	1.25-1.35	100 kw	2 kw	0.3	20	1.25	1 1/2"	Liquid
FCC-1107	1.25-1.35	50 kw	1 kw	0.3	20	1.25	1 1/2"	Air
FCC-1108	1.60-1.70	cw	2 kw	0.3	17	1.30	1 1/2"	Forced Air
FCC-1109	1.70-2.40	cw	1.2 kw	0.4	20	1.25	1 1/2"	Forced Air
FCC-1110	1.95-2.05	cw	2 kw	0.3	20	1.20	1 1/2"	Forced Air
FCC-1111	2.40-2.50	cw	2 kw	0.3	20	1.20	1 1/2"	Liquid

Four-Port Waveguide Circulators FCW-1900 Series

MODEL	FREQUENCY RANGE GHz	POWER PEAK	AVG.	INS. LOSS MAX dB	ISOLATION MIN dB	INPUT VSWR	WAVEGUIDE WR (")	COOLING
FCW-1901	1.25-1.35	10 Mw*	20 kw	0.4	20	1.15	650	Liquid
FCW-1902	1.70-2.05	cw	10 kw	0.4	20	1.15	430	Liquid
FCW-1903	2.05-2.40	cw	10 kw	0.4	20	1.15	430	Liquid
FCW-1904	2.7-2.9	1 Mw*	1 kw	0.5	20	1.15	284	Air
FCW-1905	2.8-3.1	10 Mw*	10 kw	0.5	20	1.20	284	Liquid
FCW-1906	3.1-3.5	1 Mw*	1 kw	0.5	20	1.15	284	Air
FCW-1907	4.4-5.0	cw	12 kw	0.2	20	1.15	187	Liquid
FCW-1908	4.4-5.0	cw	3 kw	0.2	20	1.15	187	Air
FCW-1909	5.4-5.9	120 kw	1 kw	0.4	20	1.15	137	Air
FCW-1910	5.4-5.9	400 kw	1 kw	0.4	20	1.15	137	Air
FCW-1911	5.9-6.4	cw	12 kw	0.15	23	1.05	137	Liquid
FCW-1912	5.9-6.4	cw	3 kw	0.15	23	1.05	137	Air
FCW-1913	7.9-8.4	cw	12 kw	0.2	20	1.05	112	Liquid
FCW-1914	7.9-8.4	cw	3 kw	0.2	20	1.05	112	Air
FCW-1915	8.5-9.6	350 kw	350 w	0.4	20	1.15	112	Air
FCW-1916	8.5-9.6	250 kw	250 w	0.4	20	1.15	90	Air
FCW-1917	10.0-10.5	cw	1.2 kw	0.3	20	1.15	90	Air

Inoltre la MERRIMAC offre una gamma completa di altri dispositivi a ferrite quali: CIRCOLATORI e ISOLATORI controllati in fase (sia in guida d'onda che in coassiale), LIMITERS e SWITCHES di elevata potenza, FILTRI ad assorbimento di armonica.

Dage Italia S.p.A.

COMPONENTI ELETTRONICI E MICROONDE
20124 MILANO - VIA G. FARA, 23
TELEFONO 63.89.78 - TELEX 34424

Spett. DAGE ITALIA S.p.A.
Sono interessato a ricevere documentazione dettagliata sui componenti sopra descritti.

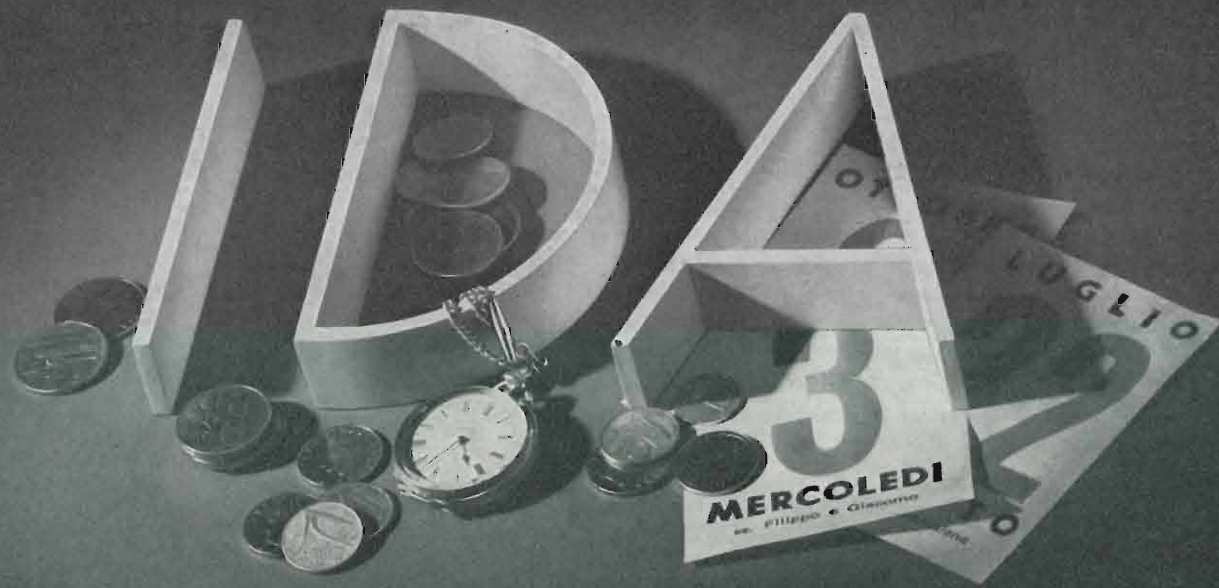
Nome Cognome _____

Ditta _____

Qualifica _____

Indirizzo _____

IMPIANTO DOCUMENTAZIONE ADDEBITI
per centrali telefoniche private



**...per dare
un nome
a chi telefona**

e per rilevare l'ora,
il giorno, l'esatta determinazione
dei costi di conversazione.
L'impianto automatico
per la documentazione degli addebiti,
naturale complemento
dei moderni impianti telefonici privati,
consente infatti il rilevamento continuo
del traffico urbano-interurbano.

Inoltre:

- traffico telefonico più spedito
- risparmio di posti d'operatrice
- maggior consapevolezza dei costi per le telefonate interurbane da parte degli utenti
- riduzione dei costi per le chiamate in teleselezione



SOCIETA' ITALIANA TELECOMUNICAZIONI SIEMENS s.p.a.

20149 Milano - p.le Zavattari, 12 - tel. 4388

STRUTTURA DI UNA RETE DI TELECOMUNICAZIONI E DEI SUOI ELABORATORI DI CONTROLLO

I. CAPPETTI, M. R. SCHAFFNER*

SOMMARIO — Viene presentato un modello di rete integrata per comunicazioni motivato dalla futura domanda di nuovi servizi, e fra questi, in special modo, la trasmissione dati. I costituenti la rete sono:

1) sorgenti vocali analogiche e numeriche, sorgenti video analogiche e numeriche, sorgenti di dati; 2) concentratori numerici che raccolgono tutte le sorgenti numeriche sopra elencate verso una centrale locale mediante linee standard PCM; concentratori analogici che raccolgono le sorgenti analogiche verso una centrale locale su linee analogiche seguite da adattatori per la conversione al modo PCM; 3) centrali locali che commutano il traffico proveniente dai relativi concentratori locali verso la rete PCM metro; 4) linee PCM standard che formano le varie reti locali collegando i concentratori con le relative centrali locali; 5) centrali tandem locali che commutano il traffico da e verso le linee PCM di una rete urbana PCM-metro; 6) una rete urbana costituita da fasci PCM ad anello, detta rete PCM-metro; 7) centrali di transito che commutano il traffico proveniente dalle varie reti PCM-metro verso i super fasci PCM delle reti interdistrettuali. Questi super fasci PCM possono o no essere costituiti da linee PCM ad anello per costituire una rete interdistrettuale del tipo PCM-metro denominata rete PCM-intermetro.

Nella rete descritta le comunicazioni sono stabilite mettendo in relazione i « time-slot » nei differenti tronchi della rete PCM, in accordo con la momentanea configurazione del traffico. Il numero dei « time-slot » per comunicazione dipende dalla banda del segnale originale. I due processi discreti di Markov prodotti da ciascuna sorgente, uno di segnalazione e l'altro di informazione, sono controllati da particolari tipi di « circulating page loose processors » (CPL) situati sulle reti PCM-metro e PCM-intermetro collegati a calcolatori satelliti dello stesso tipo posti nelle varie centrali. A ciascun tipo di servizio compete una macchina equivalente ad una macchina a stato finito (FSM); ciascuna pagina delle successive elaborazioni riguarda una comunicazione specifica e si trova in uno stato, lo stato presente, di quella FSM. Certi stati hanno funzioni riguardanti sia il traffico, sia aspetti amministrativi, mentre altri hanno soltanto funzione di commutazione ed istradamento. Tutte le funzioni degli stati possono essere descritte come circuiti operativi nei calcolatori CPL; per tale ragione, queste vengono eseguite in un solo ciclo, lo stesso ciclo che commuta i dati relativi all'informazione. Nella trasmissione dati, il desiderato processo di trasmissione, sotto il controllo di un calcolatore utente, è descritto come una particolare FSM che è pure incorporata nei circuiti dei calcolatori e della rete.

SUMMARY — Structure of a communication network and its control computers. A model for an integrated communication network is presented, which is motivated by the projected demand of new services, especially data-transmission. The constituents of the network are:

1) analog and digital voice sources, analog and digital video sources, data sources; 2) digital concentrators that merge all the above digital sources to a local central via standard PCM lines; analog concentrators that merge analog sources to a local central via analog lines followed by adaptors for conversion to the PCM mode; 3) local centrals that switch the traffic from the relative local concentrators to PCM metro-network; 4) standard PCM lines that form each local network connecting the concentrators with the relative local centrals; 5) tandem local centrals that switch the traffic from and to the PCM lines of a PCM metro area network; 6) an area network formed by ring PCM lines, called PCM metro-network; 7) transit centrals that switch the traffic from each PCM metro-network to the PCM highways of interdistrict networks. These PCM highways can be formed (but not necessarily) by ring PCM lines to form an interdistrict network of PCM metro type, called PCM intermetro network.

In this network, communications are established by relating time slots in the different trunks of PCM network, in accordance with the momentary traffic situation. The number of time slots per communication depends on the bandwidth of the original signal. The two discrete Markov processes produced by each source, one of signalling and the other of information, are controlled by particular types of Circulating Page Loose processors (CPL), placed in PCM metro and PCM intermetro-networks and connected with satellite-processors of the same type at each central. Each type of service has a program described as a Finite State Machine (FSM); each page of sequential elaborations belongs to a specific communication and is in a state, the present state, of that FSM. Certain states have traffic and administrative functions, while others have only switching and routing functions. All the functions of the states can be described as operating networks in the CPL processors; therefore, these are executed in one cycle, the same cycle that switches the information data. In data-transmission, the desired transmission process, under the control of one user computer, is described as a particular FSM that is also stored in the network processors.

(*) Dott. ing. Ilio Cappetti, SIP Società Italiana per l'Esercizio Telefonico, Roma, Italia. Ma io R. Schaffner, Massachusetts Institute of Technology, Cambridge, Mass. USA. Dattiloscritto pervenuto il 29 maggio 1973. Questo articolo è stato derivato dalla memoria « Struc-

ture of a communication network and its control computers » degli stessi autori, presentata al « Symposium on computer-communications networks and teletraffic » del « Polytechnic Institute of Brooklyn » 4-6 aprile, 1972. New York City.

1. Introduzione.

Si sta assistendo oggi ad una continua e crescente domanda di comunicazioni per dati in tutti i paesi più sviluppati nel mondo. La rete telefonica esistente non sembra ormai più idonea, sia dal punto di vista economico, sia da quello tecnico, alle sempre più varie necessità degli utenti per la trasmissione di dati.

Nascono così reti private e reti pubbliche specializzate per dati, distinte dalla normale rete pubblica telefonica. Ma i recenti progressi della tecnica, specie elettronica ed informativa, fanno considerare come desiderabile e possibile una unica rete numerica commutata, che sia idonea sia alle trasmissioni analogiche (dati, voce, ecc.), sia alle trasmissioni numeriche (voce, dati, videotelefono, teleposta, facsimile, ecc.).

Tale rete, che dovrebbe costituire la rete pubblica di teleinformatica, dovrebbe nel tempo sostituire tutte le reti esistenti, purché permetta nell'epoca di transizione una connessione fra le vecchie reti esistenti (che via via dovrebbero scomparire) e la nuova rete, che nel tempo si verrebbe così a costituire. Nel futuro si verrebbe così ad ottenere la auspicata unica rete pubblica integrata di teleinformatica, per voce e dati.

Questo lavoro tende a definire appunto una struttura finale per questa rete che si avvalga fin dall'inizio delle possibilità, sia attuali che prevedibili della tecnica, nel senso di adeguarsi ai progressi possibili della tecnologia senza alterare la struttura originaria del sistema.

2. Sorgenti di informazioni considerate.

Le sorgenti di traffico, per quel che riguarda il nostro modello, possono essere classificate come segue:

ATS (analog telephone sources). Tali sorgenti corrispondono agli attuali utenti telefonici, i quali sono suddivisi in sottoclassi a seconda del pacchetto di apparecchiature (facilities) loro assegnate quali registrazione e/o trasferta di chiamate per assenza temporanea, conferenze, chiamate abbreviate, documentazione, trasmissione dati a bassa velocità (tastiera dell'apparecchio telefonico), ecc.;

ADS (analog data sources). Sono utenti con modem locali per normali trasmissioni di dati in forma analogica. Possono essere incluse in tale tipo di sorgenti anche talune particolari trasmissioni di immagini a banda stretta (facsimile, ecc.);

AVS (analog video sources). Sono utenti dotati di videotelefono, di tipo analogico;

DTS (digital telephone sources). Sono utenti dotati di apparecchio telefonico numerico, con possibilità di trasmissione dati normali in forma numerica. Sono divisi in classi come gli ATS;

DDS (digital data sources). Sono utenti dotati di apparecchi di trasmissione dati a velocità più alte di quella normale utilizzata dai DTS;

DVS (digital video sources). Sono utenti videotelefonici che producono segnali video a larga banda come gli AVS, ma in forma numerica, con possibilità di trasmissione dati in forma numerica ad alta velocità;

SDS (special digital sources). Sono utenti dotati di apparecchi numerici che hanno più possibilità (per dati, voce, videotelefono). Poiché lo svi-

luppo tecnologico rende tali servizi sempre più a buon mercato, esiste la possibilità di una espansione nel numero di tali sorgenti. La sigla SDS potrebbe essere interpretata, allora, come « standard digital sources ».

La distinzione precedente fra sorgenti dati e video non è basata unicamente sulle differenti ampiezze di banda richieste, ma più propriamente su diversi requisiti della trasmissione. Per esempio, in una trasmissione video è accettabile una limitata percentuale di errori casuali; non in una trasmissione di dati verso un calcolatore. In una trasmissione video le interruzioni casuali di pochi millisecondi non hanno alcun effetto, mentre nella trasmissione di dati esse possono essere fatte solo in accordo con il controllo della sorgente di dati.

3. La rete.

3.1 PANORAMA GENERALE.

La struttura di una rete è condizionata da parecchi fattori quali la distribuzione geografica degli utenti, il tipo di servizio richiesto, le tecniche disponibili.

È prevedibile che in futuro gli utenti saranno distribuiti più uniformemente che in passato, come conseguenza della più efficiente organizzazione dei trasporti, della trasformazione delle zone puramente agricole e per i crescenti problemi, specie ecologici, associati con la soprassaturazione delle zone urbane. La stessa possibilità di una economica diffusione della trasmissione dati potrebbe agevolare una decentralizzazione anche delle attività industriali e terziarie. Il tipo di servizio offerto nelle diverse aree è probabilmente soggetto a cambiare continuamente come conseguenza della diminuzione dei relativi costi (commutazione, trasmissione, elaborazione, apparecchiature terminali), dello sviluppo di nuove aree residenziali, della crescita e della redistribuzione delle attività industriali.

I principali sviluppi tecnologici che possono prevedersi renderanno disponibili nuovi canali di trasmissione con bande più ampie nonché apparecchiature per la commutazione e l'elaborazione più economiche e più veloci, il tutto basato sulle nuove tecniche numeriche.

È interessante notare che ai primordi delle comunicazioni telefoniche, quando l'intelligenza (un operatore umano) era disponibile ad ogni scambio, le reti adottate avevano la configurazione a maglia. Poi, con l'introduzione della commutazione automatica (senza intelligenza), divenne più appropriata una configurazione a stella. Nel futuro, con la commutazione automatica, con intelligenze ad alta velocità (processor) e con utenti più ampiamente distribuiti, una rete configurata a maglia appare di nuovo preferibile e molto più adatta a sopportare mutamenti. Nel nostro modello, ad un livello « microscala », ove è presente una commutazione a controllo prestabilito, la rete ha una configurazione a stella; ad un livello più alto, quello di « mesoscala », ove la commutazione è completamente controllata dagli elaboratori, tale rete ha una struttura essenzialmente a maglia; al livello superiore, di « macroscala », essa ha una configurazione ancora prevalentemente del tipo a maglia, ma con notevoli divergenze da tale struttura, soprattutto a causa dei diversi tipi di vettori usati.

ELETTRONICA E TELECOMUNICAZIONI
INDICI DELLE ANNATE XXI E XXII (1972-73)

ABBREVIAZIONI: A = Articolo; L = Libro; N = Notiziario.

I fascicoli occupano le pagine sottoindicate:

ANNO XXI: n. 1 da pag. 1 a pag. 40; n. 2 da pag. 41 a pag. 84; n. 3 da pag. 85 a pag. 124;
n. 4 da pag. 125 a pag. 160; n. 5 da pag. 161 a pag. 204; n. 6 da pag. 205 a pag. 240.
ANNO XXII: n. 1 da pag. 1 a pag. 40; n. 2 da pag. 41 a pag. 80; n. 3 da pag. 81 a pag. 116;
n. 4 da pag. 117 a pag. 156; n. 5 da pag. 157 a pag. 200; n. 6 da pag. 201 a pag. 232.

INDICE DELLE COPERTINE

Riportiamo le didascalie delle copertine le quali hanno riferimento con un articolo o notizia pubblicato nello stesso numero.

ANNO XXI - 1972

- n. 1: Generatore della segnalazione di cambio di programma nell'altro canale TV.
- n. 2: Sommità del traliccio del ripetitore di Foligno con le aste captatrici per rilievi sui fulmini (v. pag. 41).
- n. 3: PCM-video: Confronto tra l'immagine di partenza (sopra) e quella codificata 2 BIT (sotto) (v. pag. 92 e seg.).
- n. 4: Cavo Pirelli con 48 coppie microcoassiali per sistemi PCM da 120 canali fonici, studiati dalla SIP (v. pag. 137).
- n. 5: Entrata della sede del Centro di Controllo della RAI nel Parco di Monza.
- n. 6: Torre che sostiene, a oltre 50 metri dal suolo, le antenne riceventi VHF ed UHF a Monza (art. a pag. 211).

ANNO XXII - 1973

- n. 1: Diversi attacchi di linea dell'autocommutatore elettronico SIT Siemens TDM 150 (art. a pag. 11).
- n. 2: Impianto per il rilievo del diagramma di direttività di antenne per autoveicoli.
- n. 3: Studio TV 11 di Roma, usato per la trasmissione del Telegiornale, con pannello blu per chroma-key (v. pag. 82).
- n. 4: Base mobile per il radiorilevamento delle prestazioni di autovetture (v. art. a pag. 118).
- n. 5: Tubi Westinghouse EBS (Electron Bombarded Silicon) usati nelle prove descritte a pag. 175.
- n. 6: Vista parziale dei nuovi impianti di generazione dei programmi per filodiffusione di Roma (v. pag. 228).

INDICE ALFABATICO PER AUTORI

Autore	Anno	Pagina	Autore	Anno	Pagina
AGGARWAL J. K.: Notes on nonlinear systems. (L)	XXII	38	BARBIERI G. F., COMINETTI M., D'AMATO P.: Campionamento e memoria in un sistema PCM-video. (A)	XXI	103
AGRESTI M.: Tecniche speciali di ripresa televisiva. (A)	XXII	82	BARBIERI G. F., ARDITO M.: Mascheramento degli serosci video da nastro nella riproduzione di segnali a colori codificati PAL e SECAM. (A)	XXI	206
ALBERICO F., BARBIERI G. F., D'AMATO P., GHIDINI I.: Determinazione soggettiva dei parametri di un sistema PCM-video lineare. (A)	XXI	95	BATTINI M., CAVIGLIA F.: Filtri elettromeccanici di canale per multiplex telefonici a divisione di frequenza. (A)	XXII	183
ALBERICO F., BOVE F.: La trasformata di Hadamard nella trasmissione numerica di immagini (A)	XXII	97	BAVOSI G., RACCIU A.: Apparecchiatura per elaborazione di immagini televisive. (A)	XXII	123
ANGELERI E.: La trasmissione di dati sulla rete telefonica pubblica. (A)	XXI	11	BAVOSI G., RACCIU A.: Analisi della compressione di informazione sulla trasformata di Hadamard di un'immagine. (A)	XXII	202
ARDITO M., BARBIERI G. F.: Mascheramento degli serosci video da nastro nella riproduzione di segnali a colori codificati PAL e SECAM. (A)	XXI	206	BEALE I., EMMS E. T., HILBOURNE R. A.: Microelectronics. (L)	XXI	39
ARTOM A.: Scelta del prefisso in un codice autosincronizzante. (A)	XXI	19	BIEY D., MAINO G.: Dispositivi di memoria a semiconduttori amorfi e loro affidabilità. (A)	XXII	53
AUBERT G.: Électromagnétisme. (L)	XXII	115	BOELLA M., CUGIANI C., PIAZZO C.: Una base mobile per il radiorilevamento delle prestazioni su strada di un'autovettura su banda S. (A)	XXII	118
AUTORI VARI: Electronic switching theory and circuits. (L)	XXI	123	BONONCINI V. E., FORLANI A.: Equazioni differenziali. Trasformazione di Laplace. (L)	XXI	160
AUTORI VARI: Principi di informatica. (L) .. Scienza degli elaboratori (L) ..	XXII	156	BOVE F., ALBERICO F.: La trasformata di Hadamard nella trasmissione numerica di immagini. (A)	XXII	97
BARBAGIOVANNI G. V.: Lezioni di radioelettronica. Vol I (L)	XXI	204	BRONZI G.: Principi del radar. (L)	XXII	79
Vol. II (L)	XXII	39	BUCCIARELLI T., PICARDI G.: Sensibilità e precisione nella elaborazione campionata di segnali radar. (A)	XXI	25
BARBIERI G. F., COMINETTI M., D'AMATO P.: La codifica numerica lineare del segnale video (PCM-video lineare). (A)	XXI	92	CAMENZIND H. R.: Electronic integrated systems design. (L)	XXII	38
BARBIERI G. F., ALBERICO F., D'AMATO P., GHIDINI I.: Determinazione soggettiva dei parametri di un sistema PCM-video lineare. (A)	XXI	95			

	Anno	Pagina
CAPPETTI I., SCHAFFNER M. R.: Struttura di una rete di telecomunicazioni e dei suoi elaboratori di controllo. (A)	XXII	215
CATELIN H., JOUBERT P.: Mesures d'électronique. (L)	XXII	79
CAVIGLIA F., BATTINI M.: Filtri elettromeccanici di canale per multiplex telefonici a divisione di frequenza. (A)	XXII	183
CECCONELLI A., GAGLIARDI D., VALLESE F.: Fondamenti di telefonia. (L)	XXII	115
CHANDOR A.: Dizionario di informatica. (L)	XXII	39
COLAPIETRO D.: Tecnologia dei componenti elettronici. (L)	XXI	38
COMINETTI M., BARBIERI G. F., D'AMATO P.: La codifica numerica lineare del segnale video (PCM-video lineare). (A)	XXI	92
COMINETTI M., BARBIERI G. F., D'AMATO P.: Campionamento e memoria in un sistema PCM-video. (A)	XXI	103
CRAWFORD F. S. Jr.: La fisica di Berkeley-Onde ed oscillazioni. (L)	XXII	200
CROSIO P., RICCARDI M.: Misure di campo elettromagnetico al Centro di Controllo della RAI. (A)	XXII	2
CUGIANI C., BOELLA M., PIAZZO C.: Una base mobile per il radiorilevamento delle prestazioni su strada di un'autovettura su banda S. (A)	XXII	118
D'AMATO P., BARBIERI G. F., COMINETTI M.: La codifica numerica lineare del segnale video (PCM-video lineare). (A)	XXI	92
D'AMATO P., ALBERICO F., BARBIERI G. F., GHIDINI I.: Determinazione soggettiva dei parametri di un sistema PCM-video lineare. (A)	XXI	95
D'AMATO P., BARBIERI G. F., COMINETTI I.: Campionamento e memoria in un sistema PCM-video. (A)	XXI	103
D'AMATO P.: Distorsioni della crominanza in un segnale PCM-video lineare. (A)	XXI	112
DE GIOVANNI A.: Criteri e modalità per valutazioni di affidabilità nelle reti telefoniche. (A)	XXII	25
DEL ZOTTO G.: Sistemi di accensione a semiconduttori per motori a scoppio d'automobile. (A)	XXI	51
DESTEFANIS G.: Dispositivi logici e di memoria a bolle magnetiche. (A)	XXI	129
DUPRAZ J.: Théorie de la communication. (L)	XXII	156
EMMS E. T., BEALE I., HILBOURNE R. A.: Microelectronics. (L)	XXI	39
FORLANI A., BONONCINI V. E.: Equazioni differenziali. Trasformazione di Laplace. (L)	XXI	160
FORNACA G., ROSSINI G.: Rigeneratore e distributore di segnali per telescriventi. (A)	XXII	223
GAGLIARDI D., CECCONELLI A., VALLESE F.: Fondamenti di telefonia. (L)	XXII	115
GALLIANO P. G.: Orologio programmatore protetto contro i disturbi. (A)	XXI	126
GARBAGNATI E., GIUDICE E., LO PIPARO G. B.: I fulmini e gli impianti di telecomunicazioni - Protezione contro le scariche atmosferiche del ripetitore di Monte Orsa (Varese). (A)	XXI	149
GASPARINI M., MIRRI D.: Dispositivi e circuiti elettronici. (L)	XXI	83
GENTILE G.: Il Centro di Controllo della RAI. (A)	XXI	163
GENTILE G.: Sincronizzazione delle portanti dei trasmettitori onda media e TV della RAI. (A)	XXII	209
GHAUSI M. S.: Electronic circuits. (L)	XXI	123
GHERGIA V., LEPRONI L.: Rassegna dei più recenti sviluppi tecnologici per i circuiti integrati a semiconduttore. (A)	XXII	159

	Anno	Pagina
GHIDINI I., ALBERICO F., BARBIERI G. F., D'AMATO P.: Determinazione soggettiva dei parametri di un sistema PCM-video lineare. (A)	XXI	95
GIUDICE E., LO PIPARO G. B.: I fulmini e gli impianti di telecomunicazioni - Comportamento ad impulso dei dispersori di terra. (A)	XXI	59
Comportamento degli impianti. (A)	XXI	67
Criteri di protezione. (A)	XXI	187
Il fenomeno della fulminazione. (L)	XXI	160
GIUDICE E., GARBAGNATI E., LO PIPARO G. B.: I fulmini e gli impianti di telecomunicazioni - Protezione contro le scariche atmosferiche del ripetitore di Monte Orsa (Varese). (A)	XXI	149
GOUSSOT L.: La télévision monochrome et en couleur. (L)	XXI	83
GRAUPE D.: Identification of systems. (L)	XXII	79
GREEN M., LAPONSKY A. B., WHITSON W. J.: Risposta dei tubi da ripresa televisiva alle scene in movimento. (A)	XXII	175
GREGORETTI G., PISANI U.: Utilizzazione dei segnali di tempo campione dell'IEN distribuiti sulla rete telefonica di Torino. (A)	XXI	217
GUNSTON M. A. R.: Microwave transmission line impedance data. (L)	XXII	38
HILBOURNE R. A., BEALE I., EMMS E. T.: Microelectronics. (L)	XXI	39
HNATEK E. R.: Design of solid-state power supplies. (L)	XXI	39
HOESCHELE D. F.: Techniques de conversion analogique-digitale et digitale-analogique. (L)	XXI	123
HORN G. W., RAPIZZI P.: Reti sfasatrici a larga banda. (A)	XXI	143
HOWES M. J., MORGAN D. V.: Solid state electronic devices. (L)	XXI	240
HUMBY E., ROBINSON P.: Computers. (L) ..	XXI	160
JOUBERT P., CATELIN H.: Mesures d'électronique. (L)	XXII	79
KAUFMAN M., KIVER M. S.: Television simplified. (L)	XXII	232
LANZA A., TAMBURELLI G.: Proprietà statistiche di segnali modulati in ampiezza. (A) ..	XXI	43
LAPONSKY A. B., GREEN M., WHITSON W. J.: Risposta dei tubi da ripresa televisiva alle scene in movimento. (A)	XXII	175
LARI M., TOMATI L.: Circuito di enfasi ottimizzato per trasmissioni TV a colori su sistemi a modulazione di frequenza. (A)	XXI	177
LEBLOND A.: Les tubes hyperfréquences. (L) ..	XXI	239
LEMBO D., QUAGLIONE G., RUSPANTINI L.: Capacità di un sistema di accesso multiplo a divisione di tempo per satelliti di telecomunicazioni. (A)	XXI	169
LEPRONI L., GHERGIA V.: Rassegna dei più recenti sviluppi tecnologici per i circuiti integrati a semiconduttore. (A)	XXII	159
Lo PIPARO G. B., GIUDICE E.: I fulmini e gli impianti di telecomunicazioni - Protezione contro le scariche atmosferiche del ripetitore di Monte Orsa (Varese). (A)	XXI	59
Comportamento degli impianti. (A)	XXI	67
Criteri di protezione. (A)	XXI	187
Il fenomeno della fulminazione. (L)	XXI	160
Lo PIPARO G. B., GARBAGNATI E., GIUDICE E.: I fulmini e gli impianti di telecomunicazioni - Protezione contro le scariche atmosferiche del ripetitore di Monte Orsa (Varese). (A)	XXI	149
MAINO G., BIEY D.: Dispositivi di memoria a semiconduttori amorfi e loro affidabilità. (A)	XXII	53

	Anno	Pagina
MANUCCI F., MOSSOTTO C., OBERTO P.: Procedura automatica per il dimensionamento di una grande rete telefonica. (A)	XXII	59
MAZZEI U.: La trasformata rapida di Fourier (FFT) nell'analisi di sistemi lineari analogici e numerici mediante elaboratore. (A) ..	XXI	225
MEHTA V.: Les condensateurs. (L)	XXI	160
MIRRI D., GASPARINI M.: Dispositivi e circuiti elettronici. (L)	XXI	83
MONELLI R., PALADIN G.: Il cavo microcoassiale e le sue applicazioni. (A)	XXI	137
MORGAN D. V., HOWES M. J.: Solid state electronic devices. (L)	XXI	240
MORRIS N. M.: Circuits logiques. (L)	XXI	39
MOSSOTTO C., MANUCCI F., OBERTO P.: Procedura automatica per il dimensionamento di una grande rete telefonica. (A)	XXII	59
MUSSINO F.: Amplificatore d'antenna per misure di campo a larga banda. (A)	XXII	49
NATALI A., SANGIORGI G.: La teleselezione da utente. (A)	XXII	42
OBERTO P., MANUCCI F., MOSSOTTO C.: Procedura automatica per il dimensionamento di una grande rete telefonica. (A)	XXII	59
PALADIN G., MONELLI R.: Il cavo microcoassiale e le sue applicazioni. (A)	XXI	137
PIAZZO C., BOELLA M., CUGIANI C.: Una base mobile per il radiorilevamento delle prestazioni su strada di un'autovettura su banda S. (A)	XXII	118
PICARDI G., BUCCIARELLI T.: Sensibilità e precisione nella elaborazione campionata di segnali radar. (A)	XXI	25
PISANI U., GREGORETTI G.: Utilizzazione dei segnali di tempo campione dell'IEN distribuiti sulla rete telefonica di Torino. (A) ..	XXI	217
PIZZIOLA A.: Elettronica industriale e servomeccanismi. (L)	XXI	204
Le misure di elettronica generale. (L) ..	XXII	39
PRICE W. J.: Rivelazione della radiazione nucleare. (L)	XXII	80
QUAGLIONE G.: La stazione del Fucino per il « monitor » dei satelliti Intelsat. (A)	XXI	87
QUAGLIONE G., RUSPANTINI L., LEMBO D.: Capacità di un sistema di accesso multiplo a divisione di tempo per satelliti di telecomunicazioni. (A)	XXI	169
QUAGLIONE G.: Evoluzione dell'ottimizzazione tecnico-economica dei satelliti per telecomunicazioni. (A)	XXII	18
QUAGLIONE G.: Requisiti e prestazioni dei sistemi di alimentazione dei satelliti per telecomunicazioni. (A)	XXII	127
QUOJANI F.: Il centro elettronico di ritrasmissione automatica di messaggio (CERAM) della Italcable. (A)	XXII	91
RACCIU A., BAVOSI G.: Apparecchiatura per elaborazione di immagini televisive. (A) ..	XXII	123
RACCIU A., BAVOSI G.: Analisi della compressione di informazioni sulla trasformata di Hadamard di un'immagine. (A)	XXII	202
RAPIZZI P., HORN G. W.: Reti sfasatrici a larga banda. (A)	XXI	143
RICCARDI M., CROSIO P.: Misure di campo elettromagnetico al Centro di Controllo della RAI. (A)	XXII	2
RIGHINI P.: Psicologia ed intonazione pratica degli intervalli musicali. (A)	XXII	69
ROBINSON P., HUMBY E.: Computers. (L) ..	XXI	160
ROSSINI G., FORNACA G.: Rigeneratore e distributore di segnali per telescriventi. (A) ..	XXII	223
RUSPANTINI L.: Un possibile sistema europeo di telecomunicazioni via satellite. (A)	XXI	2

	Anno	Pagina
RUSPANTINI L., QUAGLIONE G., LEMBO D.: Capacità di un sistema di accesso multiplo a divisione di tempo per satelliti di telecomunicazioni. (A)	XXI	169
SCHAFFNER M. R., CAPPETTI I.: Struttura di una rete di telecomunicazioni e dei suoi elaboratori di controllo. (A)	XXII	215
SANGIORGI G., NATALI A.: La teleselezione da utente. (A)	XXII	42
SCHMID H.: Electronic analog-digital conversion. (L)	XXI	239
TAMBURELLI G., LANZA A.: Proprietà statistiche di segnali modulati in ampiezza. (A) ..	XXI	43
THURIN J.: Systèmes asservis. (L)	XXI	124
TOMATI L., LARI M.: Circuito di enfasi ottimizzato per trasmissioni TV a colori su sistemi a modulazione di frequenza. (A)	XXI	177
TOPFER N. L.: Thick-film microelectronics. (L)	XXI	40
VABRE J. P.: La technologie des ordinateurs - Les circuits de traitement de l'information. (L)	XXI	160
VALLESE F., CECCONELLI A., GAGLIARDI D.: Fondamenti di telefonia. (L)	XXII	115
VANIN M.: Il sistema di segnalazione CCITT N. 6. (A)	XXII	137
VARAIYA P. P.: Notes on optimization. (L) ..	XXII	39
VICENTINI A.: Tecnica della commutazione telefonica a divisione di tempo. (A)	XXII	11
VISIN CAGLIANO L.: Ascolti e misure di frequenza al Centro di Controllo della RAI. (A)	XXI	211
VOLPATO M.: Nuovi studi e modelli di ricerca operativa. (L)	XXI	38
WELLMAN W. R.: Elementary electricity. (L) ..	XXI	204
WHITSON W. J., GREEN M., LAPONSKY A. B.: Risposta dei tubi da ripresa televisiva alle scene in movimento. (A)	XXII	175

SALON INTERNATIONAL DES

composants électroniques

PARIS 1-6 / 4 / 74

- COMPONENTS
- MEASURING
- MATERIALS
- EQUIPMENT



Organisation S.D.S.A. - 14, rue de Presles 75740 Paris Cedex 15

SALONI SPECIALIZZATI FRANCESI
Via Meravigli, 12 - 20123 MILANO - Tél.: 863.042/800.979

INDICE ALFABETICO PER MATERIA

	Anno	Pagina		Anno	Pagina
ACCORDO - REGOLAZIONE - SINTONIA			BATTERIA (v. Generatori...)		
— Accordo variabile automatico dei magnetron. (N)	XXII	33	BOBINE (v. Circuiti passivi...)		
ACUSTICA APPLICATA - ELETTOACUSTICA			CALCOLATORI - ELABORATORI ELETTRONICI		
— Fluido siliconico utilizzato come mezzo di smorzamento per giradischi ad alta fedeltà. (N)	XXII	31	— Elaboratore per l'anagrafe tributaria. (N)	XXI	33
— Psicologia ed intonazione pratica degli intervalli musicali. <i>Righini P. (A)</i>	XXII	69	— Progetto « Borsa 70 ». (N)	XXI	121
— Applicazione industriale del principio sonar. (N)	XXII	73	— Dispositivi logici e di memoria a bolle magnetiche. <i>Destefanis G. (A)</i>	XXI	129
— Duplicatore ad alta velocità di nastri audio-magnetici. (N)	XXII	73	— La technologie des ordinateurs - Les circuits de traitement de l'information. <i>Vabre J. P. (L)</i>	XXI	160
— Trasformatori sub-miniatuzziati. (N)	XXII	111	— Computers. <i>Humby E., Robinson P. (L)</i> ..	XXI	160
ALIMENTAZIONE DI APPARECCHI ED IMPIANTI			— Il calcolatore fa da ancora. (N)	XXI	201
— Design of solid-state power supplies. <i>Hnatek E. R. (L)</i>	XXI	39	— Nuovo sistema contabile a programma registrato su nastro magnetico intercambiabile. (N)	XXI	203
— Unità stabilizzatrice per circuiti stampati. (N)	XXII	36	— La trasformata rapida di Fourier (FFT) nell'analisi di sistemi lineari analogici e numerici mediante elaboratore. <i>Mazzei U. (A)</i>	XXI	225
— Requisiti e prestazioni dei sistemi di alimentazione dei satelliti per telecomunicazioni. <i>Quaglione G. (A)</i>	XXII	127	— Elaboratore su una sola piastrina. (N) ..	XXI	237
— Raddrizzatori alta tensione per TV. (N) ..	XXII	231	— Lettore ottico di caratteri. (N)	XXII	33
ALLARME (v. Sistemi di allarme...)			— Procedura automatica per il dimensionamento di una grande rete telefonica. <i>Manucci F., Mossotto C., Oberto P. (A)</i>	XXII	59
ALTOPARLANTI (v. Acustica applicata...)			— MOS singolo per calcolatori portatili con visualizzatore a 8 cifre. (N)	XXII	74
AMPLIFICATORI - AMPLIFICAZIONE			— Microcomputer. (N)	XXII	75
— Transistori di potenza per 50 MHz. (N) ..	XXI	32	— Un mini-disco magnetico per immettere dati nel calcolatore. (N)	XXII	77
— Amplificatori per antenna TV. (N)	XXI	32	— Getto d'inchiostro comandato elettronicamente. (N)	XXII	78
— Amplificatore audio a circuiti integrati totalmente protetto contro i cortocircuiti. (N) ..	XXI	34	— Il traffico di Trieste sarà regolato da un calcolatore elettronico. (N)	XXII	78
— Amplificatore UHF per antenne. (N)	XXI	155	— Apparecchiatura per elaborazione di immagini televisive. <i>Bavosi G., Racciu A. (A)</i> ..	XXII	123
— Amplificatore ibrido compatto. (N)	XXI	157	— Il regolo calcolatore elettronico. (N)	XXII	151
— Moltiplicatore di frequenza. (N)	XXI	203	— Terminale grafico video. (N)	XXII	151
— Amplificatore d'antenna per misure di campo a larga banda. <i>Mussino F. (A)</i> ..	XXII	49	— Principi di informatica. <i>Autori vari. (L)</i> ..	XXII	156
— Amplificatore audio integrato alimentato da 3 a 16 volt. (N)	XXII	73	— Scienza degli elaboratori. <i>Autori vari. (L)</i> ..	XXII	156
— Caratteristiche del fotodiolo-amplificatore operativo. (N)	XXII	114	— Calcolatore scientifico tascabile perfezionato. (N)	XXII	195
— Gli amplificatori ibridi per la « main aerial television ». (N)	XXII	152	— Dal calcolatore alla « computer utility ». (N)	XXII	196
ANALISI DEI CIRCUITI (v. Elettronica)			— Analisi di elettrocardiogrammi con elaboratore a basso costo. (N)	XXII	198
ANTENNE			— Struttura di una rete di telecomunicazioni e dei suoi elaboratori di controllo. <i>Cappetti I., Schaffner M. R. (A)</i>	XXII	215
— Amplificatori per antenna TV. (N)	XXI	32	— Memorie associative. (N)	XXII	227
— Amplificatore UHF per antenne. (N)	XXI	155	— Sistema elettronico di scrittura. (N)	XXII	228
— Antenna per radar da difesa aerotrasportato. (N)	XXI	156	— Tavolo da disegno elettronico. (N)	XXII	232
— Antenne a spirale. (N)	XXII	35	— Dispositivo MOS per calcolatori portatili. (N)	XXII	232
— Amplificatore d'antenna per misure di campo a larga banda. <i>Mussino F. (A)</i> ..	XXII	49	CAMPIONAMENTO - CODIFICA		
— Antenna per ricezione di dati meteorologici da satelliti artificiali. (N)	XXII	77	— La trasmissione di dati sulla rete telefonica pubblica. <i>Angeleri A. (A)</i>	XXI	11
— A Goonhilly in funzione la terza antenna. (N)	XXII	197	— Scelta del prefisso di un codice autosincronizzante. <i>Artom A. (A)</i>	XXI	19
APPARECCHIATURE - STRUMENTI DI MISURA (v. Misure)			— Sensibilità e precisione della elaborazione campionata di segnali radar. <i>Bucciarelli T., Picardi G. (A)</i>	XXI	25
APPLICAZIONI VARIE (v. Varie)			— La codifica numerica lineare del segnale video (PCM-video lineare). <i>Barbieri G. F., Cominetti M., D'Amato P. (A)</i>	XXI	92
ASSISTENZA ALLA NAVIGAZIONE AEREA E MARITTIMA (v. Navigazione elettronica...)			— Determinazione soggettiva dei parametri di un sistema PCM-video lineare. <i>Alberico F., Barbieri G. F., D'Amato P., Ghidini I. (A)</i>	XXI	95
ATTENUATORI (v. Circuiti passivi...)			— Campionamento e memoria di un sistema PCM-video. <i>Barbieri G. F., Cominetti M., D'Amato P. (A)</i>	XXI	103
AUDITORI - STUDI PER RADIOFONIA E TELEVISIONE (v. Acustica applicata)			— Distorsione della crominanza di un segnale PCM-video lineare. <i>D'Amato P. (A)</i>	XXI	112
AUTOMAZIONE (v. anche Circuiti a scatto...)			— Capacità di un sistema di accesso multiplo a divisione di tempo per satelliti di telecomunicazioni. <i>Quaglione G., Ruspantini L., Lembo D. (A)</i>	XXI	169
— Systèmes asservis. <i>Thurin J. (L)</i>	XXI	124			
— Elettronica industriale e servomeccanismo. <i>Pizziola A. (L)</i>	XXI	204			
— Identification of systems. <i>Graupe D. (L)</i> ..	XXII	79			
— Controllo dei passaporti mediante computer. (N)	XXII	149			

	Anno	Pagina		Anno	Pagina
— Tecnica della commutazione telefonica a divisione di tempo. <i>Vicentini A. (A)</i>	XXII	11	— Circuiti integrati per ricevitori televisivi. (N)	XXI	35
— Apparecchiatura per elaborazione di immagini televisive. <i>Bavosi G., Racciu A. (A)</i> ..	XXII	123	— Circuits logiques. <i>Morris N. M. (L)</i>	XXI	39
— Il sistema di segnalazione CCITT N. 6. <i>Vanin M. (A)</i>	XXII	137	— Thick-film microelectronics. <i>Topfern N. L. (L)</i>	XXI	40
— Codificatore per tastiere. (N)	XXII	230	— Circuiti Mos costruiti con tecnologia Silicon gate. (N)	XXI	79
CAMPIONI DI MISURE (v. Misure...)			— Termopile a film sottile. (N)	XXI	120
CAVI - CAVI COASSIALI (v. Linee...)			— Circuiti integrati. (N)	XXI	121
CAVITÀ RISONANTI (v. Microonde)			— Amplificatore ibrido compatto. (N)	XXI	157
CINEMATOGRAFIA - FOTOGRAFIA (v. Fotoelettronica...)			— Memoria di sola lettura da 2048 bit. (N) ..	XXI	157
CIRCUITI A SCATTO - ATTIVI - DI COMANDO, CONTROLLO E REGOLAZIONE - EQUIVALENTI - LOGICI - NON LINEARI - NUMERICI (v. anche Campionamento...)			— Nuovo sistema di conversione A/D, D/A a basso costo. (N)	XXI	236
— Sensibilità e precisione nella elaborazione campionata di segnali radar. <i>Bucciarelli T., Picardi G. (A)</i>	XXI	25	— Elaboratore su una sola piastrina. (N) ..	XXI	237
— Tecnologia dei componenti elettronici. <i>Colapietro D. (L)</i>	XXI	38	— Rice-trasmittitore di « indirizzi » monolitico (N)	XXII	36
— Circuits logiques. <i>Morris N. M. (L)</i>	XXI	39	— Electronic integrated systems design. <i>Camenzind H. R. (L)</i>	XXII	38
— Microelectronics. <i>Beale I., Emms E. T., Hilbourne R. A. (L)</i>	XXI	39	— Amplificatore audio integrato alimentato da 3 a 16 volt. (N)	XXII	73
— Sistemi di accensione a semiconduttori per motori a scoppio d'automobile. <i>Del Zotto G. (A)</i>	XXI	51	— MOS singolo per calcolatori portatili con visualizzatore a 8 cifre. (N)	XXII	74
— La codifica numerica lineare del segnale video (PCM-video lineare). <i>Barbieri G. F., Cominetti M., D'Amato P. (A)</i>	XXI	92	— Penna per attuare circuiti stampati. (N) ..	XXII	114
— Determinazione soggettiva dei parametri di un sistema PCM-video lineare. <i>Alberico F., Barbieri G. F., D'Amato P., Ghidini I. (A)</i>	XXI	95	— Rassegna dei più recenti sviluppi tecnologici per i circuiti integrati a semiconduttore. <i>Ghergia V., Leproni L. (A)</i>	XXII	159
— Campionamento e memoria di un sistema PCM-video. <i>Barbieri G. F., Cominetti M., D'Amato P. (A)</i>	XXI	103	— Filtro passa basso non lineare. (N)	XXII	231
— Distorsione della crominanza in un segnale PCM video lineare. <i>D'Amato P. (A)</i>	XXI	112	— Dispositivo MOS per calcolatori portatili (N)	XXII	232
— Techniques de conversion analogique-digitale et digitale-analogique. <i>Hoeschele D. F. (L)</i>	XXI	123	CIRCUITI LOGICI (v. Circuiti a scatto...; v. Circuiti integrati...)		
— Electronic switching theory and circuits. <i>Autori vari. (L)</i>	XXI	123	CIRCUITI PASSIVI ED ELEMENTI DI CIRCUITO		
— Capacità di un sistema di accesso multiplo a divisione di tempo per satelliti di telecomunicazioni. <i>Quaglione G., Ruspantini L., Lembo D. (A)</i>	XXI	169	— Tecnologia dei componenti elettronici. <i>Colapietro D. (L)</i>	XXI	38
— Moltiplicatore di frequenza. (N)	XXI	203	— Potenzimetri compensatori miniatura. (N)	XXI	122
— La trasformata rapida di Fourier (FFT) nell'analisi di sistemi lineari analogici e numerici mediante elaboratore. <i>Mazzei U. (A)</i>	XXI	225	— Lampade ad incandescenza microminiatura. (N)	XXI	155
— Nuovo sistema di conversione A/D, D/A a basso costo. (N)	XXI	236	— Les condensateurs. <i>Mehta V. (L)</i>	XXI	160
— Mini relé reed con terminali dual-in-line. (N)	XXI	237	— Celle solari di tellururo di cadmio. (N) ..	XXI	201
— Electronic analog-digital conversions. <i>Schmid H. (L)</i>	XXI	239	— Contatori a due o tre cifre. (N)	XXI	238
— Tecnica della commutazione telefonica a divisione di tempo. <i>Vicentini A. (A)</i>	XXII	11	— Diodi « varactor » ad alto Q. (N)	XXI	238
— Notes on nonlinear systems. <i>Aggarwal J. K. (L)</i>	XXII	38	— Termistore funzionante fino a 1000 °C. (N) ..	XXII	32
— Apparecchiatura per elaborazione di immagini televisive. <i>Bavosi G., Racciu A. (A)</i> ..	XXII	123	— Potenzimetri miniaturizzati. (N)	XXII	33
— Il sistema di segnalazione CCITT N. 6. <i>Vanin M. (A)</i>	XXII	137	— Condensatori variabili sotto vuoto. (N) ..	XXII	33
— Nuovo dispositivo elettronico a scatto veloce. (N)	XXII	197	— Condensatori al tantalio. (N)	XXII	73
— Rigeneratore e distributore di segnali per telescriventi. <i>Formaca G., Rossini G. (A)</i> ..	XXII	223	— Trasformatori sub-miniatuzziati. (N) ..	XXII	111
— Filtro passa basso non lineare. (N)	XXII	231	— Diodi al silicio a basse perdite. (N)	XXII	196
CIRCUITI INTEGRATI A FILM SOTTILI E SPESSI - MONOLITICI - STAMPATI			— Lampadina bicolore a diodi luminescenti. (N)	XXII	199
— Amplificatore audio a circuiti integrati totalmente protetto contro i cortocircuiti. (N)	XXI	34	— Componenti di optoelettronica. (N)	XXII	230
			— Termistori a riscaldamento indiretto. (N) ..	XXII	231
			CIRCUITI STAMPATI (v. Circuiti integrati...)		
			CLISTRON (o KLYSTRON) (v. Microonde; Tubi elettronici)		
			CODIFICAZIONE - DECODIFICAZIONE (v. Informatica...)		
			COLLEGAMENTI RADIO, TELEFONICI, TELEVISIVI - TELECOMUNICAZIONI - VIA SATELLITE - TELEMISURE - TRASMISSIONE DEI DATI (v. anche Satelliti...)		
			— Un possibile sistema europeo di telecomunicazioni via satellite. <i>Ruspantini L. (A)</i> ..	XXI	2
			— La trasmissione di dati sulla rete telefonica pubblica. <i>Angeleri E. (A)</i>	XXI	11
			— Scelta del prefisso in un codice autosincronizzante. <i>Artom A. (A)</i>	XXI	19
			— Stazione mobile per telecomunicazioni via satellite. (N)	XXI	33
			— Stazione svedese per telecomunicazioni via satellite. (N)	XXI	35
			— Radiotelefono aereo. (N)	XXI	79
			— La codifica numerica lineare del segnale video (PCM-video lineare). <i>Barbieri G. F., Cominetti M., D'Amato P. (A)</i>	XXI	92

	Anno	Pagina		Anno	Pagina
— Il cavo microcoassiale e le sue applicazioni. <i>Monelli E., Paladin G. (A)</i>	XXI	137	— Esposimetro cumulativo di rumore. (N)	XXII	36
— Ponte radio mobile a microonde. (N)	XXI	156	ELABORATORI - ELABORAZIONE DEI DATI (v. Calcolatori...)		
— Capacità di un sistema di accesso multiplo a divisione di tempo per satelliti di telecomunicazioni. <i>Quaglione G., Ruspantini L. Lembo D. (A)</i>	XXI	169	ELEMENTI DI CIRCUITO (v. Circuiti passivi...)		
— Trasmissione dati via satellite. (N)	XXI	238	ELETTROACUSTICA (v. Acustica...)		
— Tecnica della commutazione telefonica a divisione di tempo. <i>Vicentini A. (A)</i>	XXII	11	ELETTRONICA - ELETTROTECNICA - FISICA - RADIOTECNICA		
— In un sistema di comunicazione numerico accelera gli interventi della polizia. (N)	XXII	34	— Proprietà statistiche di segnali modulati in ampiezza. <i>Tamburelli G., Lanza A. (A)</i>	XXI	43
— Nuovo sistema per telecomunicazioni. (N)	XXII	74	— Dispositivi e circuiti elettronici. <i>Gasparini M., Mirri D. (L)</i>	XXI	83
— Apparecchi per trasmissione di dati compatibili col CCITT. (N)	XXII	77	— La codifica numerica lineare del segnale video (PCM-video lineare). <i>Barbieri G. F., Cominetti M., D'Amato P. (A)</i>	XXI	92
— Il centro elettronico di ritrasmissione automatica di messaggio (CERAM) della Italcable. <i>Quojani F. (A)</i>	XXII	91	— Determinazione soggettiva dei parametri di un sistema PCM-video lineare. <i>Alberico F., Barbieri G. F., D'Amato P., Ghidini I. (A)</i>	XXI	95
— Teletrasmissione in « fac-simile » « La Stampa » da Torino a Roma. (N)	XXII	113	— Campionamento e memoria in un sistema PCM-video. <i>Barbieri G. F., Cominetti M., D'Amato P. (A)</i>	XXI	103
— Una base mobile per il radiorilevamento delle prestazioni su strada di un'autovettura su banda S. <i>Boella M., Cugiani C., Piazza C. (A)</i>	XXII	118	— Distorsioni della crominanza in un segnale PCM-video lineare. <i>D'Amato P. (A)</i>	XXI	112
— Il sistema di segnalazione CCITT N. 6. <i>Vannin M. (A)</i>	XXII	137	— Tistan-Batteria ad isotopi radioattivi. (N)	XXI	121
— Sincronizzazione delle portanti dei trasmettitori onda media e TV della RAI. <i>Gentile G. (A)</i>	XXII	209	— Techniques de conversion analogique-digitale et digitale-analogique. (L)	XXI	123
— Struttura di una rete di telecomunicazioni e dei suoi elaboratori di controllo. <i>Cappetti I., Schaffner M. R. (A)</i>	XXII	215	— Electronic switching theory and circuits. <i>Autori vari. (L)</i>	XXI	123
— Filodiffusione (N)	XXII	228	— Electronic circuits. <i>Ghausi M. S. (L)</i>	XXI	123
COMANDO - CONTROLLO (v. Circuiti a scatto...)			— Systèmes asservis. <i>Thurin J. (L)</i>	XXI	124
COMMUTAZIONE (v. Circuiti a scatto...)			— Elettronica industriale e servomeccanismi. <i>Pizziola A. (L)</i>	XXI	204
COMPONENTI DI UN CIRCUITO (v. Circuiti a scatto...; Circuiti passivi...)			— Lezione di radioelettronica. <i>Barbagiovanni G. V. (L)</i>	XXI	204
COMUNICAZIONI (v. Collegamenti)			— Elementary electricity. <i>Wellman W. R. (L)</i>	XXI	204
CONFERENZE - CONGRESSI - ESPOSIZIONI - MOSTRE - PREMI - SIMPOSI			— Notes on optimization. <i>Varaiya P. P. (L)</i>	XXII	39
— Servizi di tempo e frequenza campione. (N)	XXI	35	— Le misure di elettronica generale. <i>Pizziola A. (L)</i>	XXII	39
— Il gruppo STET alla XIX Rassegna Internazionale Elettronica Nucleare e Aerospaziale di Roma. (N)	XXI	77	— Lezioni di radioelettronica. <i>Barbagiovanni G. V. (L)</i>	XXII	39
— Conferenza sulla metrologia nell'Europa occidentale. (N)	XXII	111	— Electromagnétisme. <i>Aubert G. (L)</i>	XXII	115
CONVERTITORE (v. Informatica...)			— Théorie de la communication. <i>Dupraz J. (L)</i>	XXII	156
DECODIFICAZIONE - DEMODULAZIONE (v. Informatica...)			— La fisica di Berkeley - Onde ed oscillazioni. <i>Crawford F. S. Jr. (L)</i>	XXII	200
DISTORSIONI - DISTURBI - RUMORE DI FONDO			— Fisica. <i>Schain U. H., Cross J. B., Dodge J. H., Walter J. A. (L)</i>	XXII	232
— I fulmini e gli impianti di telecomunicazioni - Comportamento ad impulso dei dispersori di terra. <i>Giudice E., Lo Piparo G. B. (A)</i>	XXI	59	ESPOSIZIONI (v. Conferenze...)		
— I fulmini e gli impianti di telecomunicazioni - Comportamento degli impianti. <i>Giudice E., Lo Piparo G. B. (A)</i>	XXI	67	FEDeltà di riproduzione (v. Acustica...; v. Distorsioni...)		
— Distorsioni della crominanza in un segnale PCM-video lineare. <i>D'Amato P. (A)</i>	XXI	112	FIBRE OTTICHE (v. Fotoelettronica)		
— Orologio programmatore protetto contro i disturbi. <i>Galliano P. G. (A)</i>	XXI	126	FILM SOTTILI - FILM SPESSI (v. Circuiti integrati...)		
— I fulmini e gli impianti di telecomunicazioni - Protezione contro le scariche atmosferiche del ripetitore di Monte Orsa (Varese). <i>Garbagnati E., Giudice E., Lo Piparo G. B. (A)</i>	XXI	149	FILODIFFUSIONE (v. Collegamenti; v. Impianti...)		
— Il fenomeno della fulminazione. <i>Giudice E., Lo Piparo G. B. (L)</i>	XXI	160	FILTRI - EQUALIZZATORI - SFASATORI		
— I fulmini e gli impianti di telecomunicazioni - Criteri di protezione. <i>Giudice E., Lo Piparo G. B. (A)</i>	XXI	187	— Filtro di 5° ordine gaussiano. (N)	XXI	34
— Mascheramento degli scrosci video da nastro nella riproduzione di segnali a colori codificati PAL e SECAM. <i>Ardito M., Barbieri G. F. (A)</i>	XXI	206	— Reti sfasatrici a larga banda. <i>Horn G. W., Rappizzi P. (A)</i>	XXI	143
			— Circuito di enfasi ottimizzato per trasmissioni TV a colori su sistemi a modulazione di frequenza. <i>Lari M., Tomati L. (A)</i>	XXI	177
			— Filtri elettromeccanici di canale per multiplex telefonici a divisione di frequenza. <i>Battini M., Caviglia F. (A)</i>	XXII	183
			— Filtro passa basso non lineare. (N)	XXII	231
			FORME D'ONDA SPECIALI (v. Circuiti a scatto...)		
			FOTOLETTRONICA - OPTOLETTRONICA		
			— Apparecchio per ispezione notturna. (N)	XXI	32
			— Olocamera più maneggevole. (N)	XXI	33

	Anno	Pagina		Anno	Pagina
— Diodi a fotoluminescenza e « fotoaccoppiatore ». (N)	XXI	119	— Sincronizzazione delle portanti dei trasmettitori onda media e TV della RAI. <i>Gentile G. (A)</i>	XXII	209
— Apparecchio fotografico per oscilloscopi (N)	XXI	155	— Filodiffusione (N)	XXII	228
— Visore nel buio. (N)	XXI	156	IMPULSI (v. Circuiti a scatto...)		
— Celle solari di tellururo di cadmio. (N)	XXI	201	INFORMATICA - CONVERSIONE - MODULAZIONE - RIVELAZIONE - TEORIA E TRASMISSIONE DELLE INFORMAZIONI E DEI DATI		
— Fotografia automatica anche al chiaro di luna. (N)	XXI	202	— La trasmissione di dati sulla rete telefonica pubblica. <i>Angeleri E. (A)</i>	XXI	11
— Luce al buio con « crofon ». (N)	XXI	202	— Scelta del prefisso in un codice autosincronizzante. <i>Artom A. (A)</i>	XXI	19
— Lettore ottico di caratteri. (N)	XXII	33	— Proprietà statistiche di segnali modulati in ampiezza. <i>Tamburelli G., Lanza A. (A)</i>	XXI	43
— Foto-commutatore a stato solido. (N)	XXII	35	— Moltiplicatore di frequenza. (N)	XXI	203
— Occhio elettronico a stato solido. (N)	XXII	35	— Dizionario di informatica. <i>Chandor A. (L)</i>	XXII	39
— Caratteristiche del fotodiode-amplificatore operazionale. (N)	XXII	114	— Apparecchi per trasmissione di dati compatibili col CCITT. (N)	XXII	77
— Lampadina bicolore a diodi luminescenti. (N)	XXII	198	— Identification of systems. <i>Graupe D. (L)</i>	XXII	79
— Memorie associative. (N)	XXII	227	— La trasformata di Hadamard nella trasmissione numerica di immagini. <i>Alberico F., Bove F. (A)</i>	XXII	97
— Componenti di optoelettronica. (N)	XXII	230	— Principi di informatica e Scienza degli elaboratori. <i>Autori vari. (L)</i>	XXII	156
FOTOGRAFIA (v. Fotoelettronica...)			— Théorie de la communication. <i>Dupraz J. (L)</i>	XXII	156
FRUSCIO (v. Distorsioni...)			— Analisi della compressione di informazione sulla trasformata di Hadamard di un'immagine. <i>Bavosi G., Racciu A. (A)</i>	XXII	202
GENERATORI - OSCILLATORI - TRASMETTITORI			IONOSFERA (v. Propagazione...)		
— Termopile a film sottile. (N)	XXI	120	IPERFREQUENZE (v. Microonde...)		
— Clistron oscillatore fino a 80 GHz. (N)	XXI	120	IRRADIAZIONE (v. Propagazione...)		
— Tristan-Batteria ad isotopi radioattivi (N)	XXI	121	KLYSTRON O CLISTRON (v. Microonde; v. Tubi elettronici...)		
— Batteria per auto. (N)	XXI	122	LABORATORI (v. Impianti...)		
— Celle solari di tellururo di cadmio. (N)	XXI	201	LASER - OLOGRAFIA		
— Generatore di segnali di deflessione orizzontale e verticale per ricevitori TV. (N)	XXII	149	— Olocamera più maneggevole. (N)	XXI	33
— Campione numerico di tensioni. (N)	XXII	152	— Memoria olografica ad alta densità. (N)	XXI	79
— Generatore di tono per organi elettronici. (N)	XXII	229	— Perforatrice per trafilé di diamante laser. (N)	XXI	202
GUIDE D'ONDA (v. Linee...)			— Laser per osservazioni spaziali da stazioni terrestri. (N)	XXII	229
IMPIANTI - INSTALLAZIONI DI FILODIFFUSIONE, RADIO, TELEFONICHE, TELEVISIVE - LABORATORI			— Televisione a colori su grande schermo (N)	XXII	231
— Il più grosso cavo coassiale per la più grande stazione radiotrasmittente europea ad onde corte. (N)	XXI	31	LINEE - CAVI COASSIALI - GUIDE D'ONDA - LINEE DI RITARDO		
— Stazione mobile per telecomunicazioni via satellite. (N)	XXI	33	— Il più grosso cavo coassiale per la più grande stazione radiotrasmittente europea ad onde corte. (N)	XXI	31
— Stazione svedese per telecomunicazioni via satellite. (N)	XXI	35	— Il cavo microcoassiale e le sue applicazioni. <i>Monelli R., Paladin G. (A)</i>	XXI	137
— I fulmini e gli impianti di telecomunicazioni - Comportamento ad impulso dei dispersori di terra. <i>Giudice E., Lo Piparo G. B. (A)</i>	XXI	59	— Microwave transmission line impedance data. <i>Gunston M. A. R. (L)</i>	XXII	38
— I fulmini e gli impianti di telecomunicazioni - Comportamento degli impianti. <i>Giudice E., Lo Piparo G. B. (A)</i>	XXI	67	LINGUAGGI PER CALCOLATORI (v. Calcolatori...)		
— Keybridge House - Centro nervoso per il servizio mondiale telex. (N)	XXI	77	MAGNETISMO - MAGNETI (v. anche Elettronica...)		
— La stazione del Fucino per il « monitor » dei satelliti Intelsat. <i>Quaglione G. (A)</i>	XXI	87	MAGNETRON (v. Microonde...; v. Tubi elettronici...)		
— Sistema di allarme antinebbia su autostrade. (N)	XXI	121	MATEMATICA		
— I fulmini e gli impianti di telecomunicazioni - Protezione contro le scariche atmosferiche del ripetitore di Monte Orsa (Varese). <i>Garbagnati E., Giudice E., Lo Piparo G. B. (A)</i>	XXI	149	— Nuovi studi e modelli di ricerca operativa. <i>Volpato M. (L)</i>	XXI	38
— Il Centro di Controllo della RAI. <i>Gentile G. (A)</i>	XXI	163	— Equazioni differenziali. Trasformazione di Laplace. <i>Bononcini V. E., Forlani A. (L)</i>	XXI	160
— I fulmini e gli impianti di telecomunicazioni - Criteri di protezione. <i>Giudice E., Lo Piparo G. B. (A)</i>	XXI	187	— La trasformata rapida di Fourier (FFT) nell'analisi di sistemi lineari analogici e numerici mediante elaboratore. <i>Mazzei U. (A)</i>	XXI	225
— Utilizzazione dei segnali di tempo campione dell'IEN distribuiti sulla rete telefonica di Torino. <i>Gregoretti G., Pisani U. (A)</i>	XXI	217	— Notes on nonlinear systems. <i>Aggarwal J. K. (L)</i>	XXII	38
— Misure di campo elettromagnetico al Centro di Controllo della RAI. <i>Crosio P., Riccardi M. (A)</i>	XXII	2	— Procedura automatica per il dimensionamento di una grande rete telefonica. <i>Manucci F., Mossotto C., Oberto P. (A)</i>	XXII	59
— La teleselezione da utente. <i>Sangiorgi G., Natali A. (A)</i>	XXII	42	— Identification of systems. <i>Graupe D. (L)</i>	XXII	79
— Tecniche speciali di ripresa televisiva. <i>Agresti M. (A)</i>	XXII	82			
— Il Centro elettronico di ritrasmissione automatica di messaggio (CERAM) della Italcable. <i>Quojani F. (A)</i>	XXII	91			

	Anno	Pagina
— La trasformata di Hadamard nella trasmissione numerica di immagini. <i>Alberico F., Bove F. (A)</i>	XXII	97
MATERIALI (v. Tecnologia...)		
MEMORIE ELETTRONICHE (v. anche Calcolatori...)		
— Dispositivi logici e di memoria a bolle magnetiche. <i>Destefanis G. (A)</i>	XXI	129
— Memoria di sola lettura da 2048 bit. (N) ..	XXI	157
— Nuovo sistema contabile a programma registrato su nastro magnetico intercambiabile. (N)	XXI	203
— Televisione con « memoria ». (N)	XXI	236
— Dispositivi di memoria a semiconduttori amorfi e loro affidabilità. <i>Biey D., Maino G. (A)</i>	XXII	53
— Un mini-disco magnetico per immettere dati nel calcolatore. (N)	XXII	77
— Tubo a memoria ad elevata risoluzione. (N)	XXII	111
— Memorie associative. (N)	XXII	227
— Memorie a nuclei di ferrite. (N)	XXII	229
— Codificatore per tastiere. (N)	XXII	230
MESCOLATORI (MIXER) (v. Informatica...)		
METROLOGIA (v. Misure...)		
MICROCIRCUITI - MICROELETTRONICA - MINIALIZZAZIONE (v. Circuiti integrati...; v. Tecnologia...)		
MICROFONI (v. Acustica...)		
MICROONDE		
— Tubo ad onde progressive per ponti radio a microonde. (N)	XXI	79
— Magnetron coassiale a 15 GHz. (N)	XXI	79
— Clitron oscillatore fino a 80 GHz. (N) ..	XXI	120
— Ponte radio mobile a microonde. (N) ..	XXI	156
— Sistema rice-trasmittente a microonde. (N)	XXI	236
— Les tubes hyperfréquences. <i>Leblond A. (L)</i>	XXI	239
— Accordo variabile automatico dei magnetron. (N)	XXII	33
— Microwave transmission line impedance data. <i>Gunston M. A. R. (L)</i>	XXII	38
MICROSCOPIO ELETTRONICO		
— Microscopio elettronico a più alta risoluzione. (N)	XXII	31
MISURE - STRUMENTI DI MISURA		
— Tracciatore delle curve caratteristiche per semiconduttori. (N)	XXI	34
— Multimetro numerico economico. (N) ..	XXI	34
— Servizi di tempo e frequenza campione. (N)	XXI	35
— Scarti dei segnali di tempo dell'Istituto Elettrotecnico Nazionale (IEN). (N)	XXI	35/80 122/158 208/238
— L'orologio del futuro. (N)	XXI	78
— Apparecchi a raggi X. (N)	XXI	80
— Igrometro a lettura numerica. (N)	XXI	80
— Determinazione soggettiva dei parametri di un sistema PCM-video lineare. <i>Alberico F., Barbieri G. F., D'Amato P., Ghidini I. (A)</i>	XXI	95
— Multimetro numerico autocommutato. (N)	XXI	122
— Orologio programmatore protetto contro i disturbi. <i>Galliano P. G. (A)</i>	XXI	126
— Apparecchio fotografico per oscilloscopi. (N)	XXI	155
— Controllo elettronico dei quarzi. (N) ..	XXI	155
— Rilevamento di elettrocardiogrammi per via radio. (N)	XXI	155
— Sistema internazionale di unità (SI). (N)	XXI	158
— Ascolti e misure di frequenze al Centro di Controllo della RAI. <i>Visin Cagliano L. (A)</i>	XXI	211
— Utilizzazione dei segnali di tempo campione dell'IEN distribuiti sulla rete telefonica di Torino. <i>Gregoretto G., Pisani U. (A)</i>	XXI	217

	Anno	Pagina
— Oscilloscopio portatile con banda di 350 MHz. (N)	XXI	235
— Multimetri a prova di caduta. (N)	XXI	235
— Misure di campo elettromagnetico al Centro di Controllo della RAI. <i>Crosio P., Riccardi M. (A)</i>	XXII	2
— Strumenti registratori con equipaggio mobile lineare. (N)	XXII	32
— Esposimetro cumulativo di rumore. (N) ..	XXII	36
— Scarti dei segnali di tempo dell'Istituto Elettrotecnico Nazionale (IEN). (N)	XXII	36/78 152/199 231
— Le misure di elettronica generale. <i>Pizziola A. (L)</i>	XXII	39
— Amplificatore d'antenna per misure di campo a larga banda. <i>Mussino F. (A)</i> ..	XXII	49
— Anemometro a filo caldo compensato di temperatura. (N)	XXII	74
— Mesures d'électronique. <i>Catelin H., Joubert P. (L)</i>	XXII	79
— Conferenza sulla metrologia nell'Europa occidentale. (N)	XXII	111
— Strumenti indicatori potenziometrici a nastro. (N)	XXII	112
— Misure d'impedenza a spazzolamento di frequenza fino a 500 MHz. (N)	XXII	114
— Una base mobile per il radiorilevamento delle prestazioni su strada di un'autovettura su banda S. <i>Boella M., Cugiani C., Piazza G. (A)</i>	XXII	118
— Flussometro a vortice di nuova concezione. (N)	XXII	149
— Misure dell'inquinamento dell'aria e dell'acqua. (N)	XXII	150
— Campione numerico di tensioni. (N)	XXII	152
— Orologio a quarzo. (N)	XXII	197
— Registratori veloci a coordinate X-Y. (N)	XXII	198
— Analisi di elettrocardiogrammi con elaboratore a basso costo. (N)	XXII	198
— Scarti dei segnali di tempo dell'Istituto Elettrotecnico Nazionale (IEN). (N) ..	XXII	199
— Sincronizzazione delle portanti dei trasmettitori onda media e TV della RAI. <i>Gentile G. (A)</i>	XXII	209
— Piccola ecosonda. (N)	XXII	230
— Scarti dei segnali di tempo dell'Istituto Elettrotecnico Nazionale (IEN). (N) ..	XXII	231
— Multimetro automatico. (N)	XXII	232
MODULAZIONE (v. Informatica...)		
MOSTRE (v. Conferenze...)		
MULTIVIBRATORI (v. Circuiti a scatto...)		
MUSICA		
— Psicologia ed intonazione pratica degli intervalli musicali. <i>Righini P. (A)</i>	XXII	69
— Generatore di tono per organi elettronici. (N)	XXII	229
NAVIGAZIONE ELETTRONICA AEREA - MARITTIMA - MISSILISTICA (v. anche Radar...)		
— Missile guidato con telecamera. (N)	XXI	80
— Il calcolatore fa da ancora. (N)	XXI	201
— Contro le collisioni in mare. (N)	XXII	75
— Principi del radar. <i>Bronzi G. (L)</i>	XXII	79
— Piccola ecosonda. (N)	XXII	230
OLOGRAFIA (v. Laser...)		
OPTOELETTRONICA (v. Fotoelettronica)		
OSCILLATORI (v. Generatori...)		
OSCILLOGRAFI (v. Misure...)		
OTTIMIZZAZIONE (v. Ricerca operativa...)		
PIEZOELETTICITÀ (v. Elettronica...)		
PONTI RADIO (v. Collegamenti...)		

	Anno	Pagina
PROPAGAZIONE - IRRADIAZIONE - PROPAGAZIONE DELLE LINEE (v. Linee...)		
— Il Centro di Controllo della RAI. <i>Gentile G. (A)</i>	XXI	163
— Ascolti e misure di frequenze al Centro di Controllo della RAI. <i>Visin Cagliano L. (A)</i>	XXI	211
— Misure di campo elettromagnetico al Centro di Controllo della RAI. <i>Crosio P., Riccardi M. (A)</i>	XXII	2
QUADRIPOLE (v. Circuiti...; Filtri)		
QUANTIZZAZIONE (v. Campionamento...; Codifica...)		
RADAR (v. anche Navigazione elettronica...)		
— Sensibilità e precisione nella elaborazione campionata di segnali radar. <i>Bucciarelli T., Picardi G. (A)</i>	XXI	25
— Antenna per radar da difesa aerotrasportato. (N)	XXI	156
— Dispositivo anticollisione per autoveicoli. (N)	XXII	35
— Rilevamento aereo di vaste aree mediante radar. (N)	XXII	73
— Contro le collisioni in mare. (N)	XXII	75
— Principi del radar. <i>Bronzi G. (L)</i>	XXII	79
— Controllo del traffico con il radar « occhio di gatto ». (N)	XXII	229
RADIODIFFUSIONE (v. Collegamenti...; Impianti...)		
RADIORICEVITORI (v. Ricevitori...)		
RADIOTECNICA (v. Elettronica...)		
RADIOTRASMETTITORI (v. Generatori...)		
REGISTRATORI - REGISTRAZIONE (v. Misure...; v. Televisione...)		
— Registratore magnetico analogico/numerico. (N)	XXI	120
— Video registratore. (N)	XXI	201
— Mascheramento degli scrosci video da nastro nella riproduzione di segnali a colori codificati PAL e SECAM. <i>Ardito M., Barbieri G. F. (A)</i>	XXI	206
— Strumenti registratori con equipaggio mobile lineare. (N)	XXII	32
— Visore di registrazioni magnetiche su nastro. (N)	XXII	34
— Duplicatore ad alta velocità di nastri audiomagnetici. (N)	XXII	73
— Programma TV a colori su disco. (N) ..	XXII	114
— Registratori veloci a coordinate X-Y. (N)	XXII	198
RELE (v. Circuiti a scatto...)		
RETI LINEARI E NON LINEARI (v. Circuiti a scatto...; v. Circuiti passivi...; v. Elettronica...)		
RICERCA OPERATIVA - OTTIMIZZAZIONE		
— Nuovi studi e modelli di ricerca operativa. <i>Volpato M. (L)</i>	XXI	38
— Circuito di enfasi ottimizzato per trasmissioni TV a colori su sistemi a modulazione di frequenza. <i>Lari M., Tornati L. (A)</i>	XXI	177
— La trasformata rapida di Fourier (FFT) nell'analisi di sistemi lineari analogici e numerici mediante elaboratore. <i>Mazzei U. (A)</i>	XXI	225
— Evoluzione dell'ottimizzazione tecnico-economica dei satelliti per telecomunicazioni. <i>Quaglione G. (A)</i>	XXII	18
— Notes on optimization. <i>Varaiya P. P. (L)</i>	XXII	39
— Procedura automatica per il dimensionamento di una grande rete telefonica. <i>Manucci F., Mossotto C., Oberto P. (A)</i>	XXII	59
— Identification of systems. <i>Graupe D. (L)</i>	XXII	79

	Anno	Pagina
RICEVITORI - RICETRASMETTITORI - RICEZIONE RADIO E TV		
— Circuiti integrati per ricevitori televisivi. (N)	XXI	35
— Reti sfasatrici a larga banda. <i>Horn G. W., Rapisardi P. (A)</i>	XXI	143
— Sistema rice-trasmittente a microonde. (N)	XXI	236
— Dispositivi a RF per rice-trasmittitori. (N)	XXII	31
— Ricetrasmittitore UHF-FM per uso in aree esplosive. (N)	XXII	34
— Rice-trasmittitore di « indirizzi » monolitico (N)	XXII	36
— Radio-telefono per auto. (N)	XXII	112
RIPRODUZIONE DEL SUONO (v. Acustica...)		
RIVELAZIONE (v. Informatica...)		
RUMORE DI FONDO (v. Distorsioni...)		
SATELLITI PER TELECOMUNICAZIONI (v. anche Collegamenti...)		
— Un possibile sistema europeo di telecomunicazioni via satellite. <i>Ruspantini L. (A)</i>	XXI	2
— Stazione mobile per telecomunicazioni via satellite. (N)	XXI	33
— Stazione svedese per telecomunicazioni via satellite. (N)	XXI	35
— La stazione del Fucino per il « monitor » dei satelliti Intelsat. <i>Quaglione G. (A)</i> ..	XXI	87
— Capacità di un sistema di accesso multiplo a divisione di tempo per satelliti di telecomunicazioni. <i>Quaglione G., Ruspantini L., Lembo D. (A)</i>	XXI	169
— Primo satellite britannico per comunicazioni. (N)	XXI	237
— Trasmissione dati via satellite. (N)	XXI	238
— Evoluzione dell'ottimizzazione tecnico-economica dei satelliti per telecomunicazioni. <i>Quaglione G. (A)</i>	XXII	18
— Satellite per il Canada. (N)	XXII	32
— Convertitore l'energia solare in elettrica. (N)	XXII	32
— Trasmettitori di elevata potenza raffreddati e protetti con acqua deionizzata. (N)	XXII	76
— Antenna per ricezione di dati meteorologici da satelliti artificiali. (N)	XXII	77
— Requisiti e prestazioni dei sistemi di alimentazione dei satelliti per telecomunicazioni. <i>Quaglione G. (A)</i>	XXII	127
— A Goonhilly in funzione la terza antenna. (N)	XXII	197
— Ottavo satellite Esro. (N)	XXII	199
— Dallo spazio la radiografia della terra in pochi minuti. (N)	XXII	228
— Laser per osservazioni spaziali da stazioni terrestri. (N)	XXII	229
— Assetto dei satelliti artificiali (N)	XXII	232
SEMICONDUTTORI - STATO SOLIDO - TRANSISTORI (v. anche Circuiti integrati...)		
— Transistori di potenza per 50 MHz. (N) ..	XXI	32
— Tracciatore delle curve caratteristiche per semiconduttori. (N)	XXI	34
— Circuiti integrati per ricevitori televisivi. (N)	XXI	35
— Design of solid-state power supplies. <i>Hnatik E. R. (L)</i>	XXI	39
— Microelectronics. <i>Beale I., Emms E. T., Hilbourne R. A. (L)</i>	XXI	39
— Thick-film microelectronics. <i>Topfern N. L. (L)</i>	XXI	40
— Transistore per elevate frequenze. (N) ..	XXI	78
— Semiconductors. (L)	XXI	83
— Diodi a fotoluminescenza e « fotoaccoppiatore ». (N)	XXI	119
— TV a colori completamente allo stato solido (N)	XXI	238
— Diodi « varactor » ad alto Q. (N)	XXI	238
— Solid state electronic devices. <i>Morgan D. V., Howes M. J. (L)</i>	XXI	240
— Termistore funzionante fino a 1000 °C. (N)	XXII	35
— Occhio elettronico a stato solido. (N) ..	XXII	32
— Electronic integrated systems design. <i>Camenzind H. R. (L)</i>	XXII	38

	Anno	Pagina
— Dispositivi di memoria a semiconduttori amorfi e loro affidabilità. <i>Biey D., Maino G. (A)</i>	XXII	53
— Rassegna dei più recenti sviluppi tecnologici per i circuiti integrati a semiconduttore. <i>Ghergia V., Leproni L. (A)</i>	XXII	159
— Diodi al silicio a basse perdite. (N)	XXII	196
— Raddrizzatori alta tensione per TV. (N)	XXII	231
— Termistori a riscaldamento indiretto. (N)	XXII	231
SERVOMECCANISMI (v. Automazione; Circuiti a scatto...)		
SFASATORI (v. Filtri...)		
SIMPOSI (v. Conferenze...)		
SINCRONISMI (v. Circuiti a scatto...)		
SISTEMI DI ALLARME, COMANDO, CONTROLLO		
— Scelta del prefisso in un codice autosincronizzante. <i>Artom A. (A)</i>	XXI	19
— Sistema di sorveglianza per aereo parcheggiato. (N)	XXI	32
— Sistemi di accensione a semiconduttore per motori a scoppio d'automobile. <i>Del Zotto G. (A)</i>	XXI	51
— La codifica numerica lineare del segnale video (PCM-video lineare). <i>Barbieri G. F., Cominetti M., D'Amato P. (A)</i>	XXI	92
— Campionamento e memoria in un sistema PCM-video. <i>Barbieri G. F., Cominetti M., D'Amato P. (A)</i>	XXI	103
— Sistema di allarme antinebbia su autostrade. (N)	XXI	121
— Visore nel buio. (N)	XXI	156
— Comandati dall'occhio. (N)	XXI	158
— Il Centro di Controllo della RAI. <i>Gentile G. (A)</i>	XXI	163
— Traffico guidato sulle strade italiane. (N)	XXI	203
— Ascolti e misure di frequenza al Centro di Controllo della RAI. <i>Visin Cagliano L. (A)</i>	XXI	211
— Misure di campo elettromagnetico al Centro di Controllo della RAI. <i>Crosio P., Riccardi M. (A)</i>	XXII	2
— Un sistema di comunicazione numerico accelera gli interventi della polizia. (N)	XXII	34
— Contro le collisioni in mare. (N)	XXII	75
— Rivelatore di fiamma ad elevata affidabilità. (N)	XXII	76
— Il traffico di Trieste sarà regolato da un calcolatore elettronico. (N)	XXII	78
— Il Centro elettronico di ritrasmissione automatica di messaggio (CERAM) della Italcable. <i>Quojani F. (A)</i>	XXII	91
— La trasformata di Hadamard nella trasmissione numerica di immagini. <i>Alberico F., Bove F. (A)</i>	XXII	97
— Telecamere anti-rapine. (N)	XXII	113
— Controllo dei passaporti mediante computer. (N)	XXII	149
— Misure dell'inquinamento dell'aria e dell'acqua. (N)	XXII	150
— Sistema elettronico di scrittura. (N)	XXII	228
— Controllo del traffico con il radar «occhio di gatto». (N)	XXII	229
SINTONIA (v. Accordo...)		
STATO SOLIDO (v. Semiconduttori...)		
STAZIONI RADIO E TV (v. Generatori...; v. Impianti...; v. Trasmettitori)		
STRUMENTI DI MISURA (v. Misure...)		
STUDI RADIOFONICI E TV (v. Acustica...)		
TECNOLOGIA E TECNICHE COSTRUTTIVE VARIE		
— Tecnologia dei componenti elettronici. <i>Colapietro D. (L)</i>	XXI	38
— Microelectronics. <i>Beale I., Emms E. T., Hilbourne R. A. (L)</i>	XXI	39
— Thick-film microelectronics. <i>Topfer N. L. (L)</i>	XXI	40

	Anno	Pagina
— Circuiti Mos costruiti con tecnologia silicio gate. (N)	XXI	79
— La technologie des ordinateurs - Les circuits de traitement de l'information. <i>Vabre J. P. (L)</i>	XXI	160
— Plasma alla temperatura del sole contro l'usura dei metalli. (N)	XXII	149
— Rassegna dei più recenti sviluppi tecnologici per i circuiti integrati a semiconduttore. <i>Ghergia V., Leproni L. (A)</i>	XXII	159
— Le connessioni meccaniche ad alta resistenza. (N)	XXII	195
TELECOMUNICAZIONI (v. Collegamenti...)		
TELEFONIA - TELEGRAFIA - TELESELEZIONE - TELEX		
— La trasmissione di dati sulla rete telefonica pubblica. <i>Angeleri E. (A)</i>	XXI	11
— Keybridge House - Centro nervoso per il servizio mondiale telex. (N)	XXI	77
— Radiotelefono aereo. (N)	XXI	79
— Tecnica della commutazione telefonica a divisione di tempo. <i>Vicentini A. (A)</i>	XXII	11
— Criteri e modalità per valutazioni di affidabilità nelle reti telefoniche. <i>De Giovanni A. (A)</i>	XXII	25
— La teleselezione da utente. <i>Sangiorgi G., Natali A. (A)</i>	XXII	42
— Procedura automatica per il dimensionamento di una grande rete telefonica. <i>Manucci F., Mossotto C., Oberto P. (A)</i>	XXII	59
— Il Centro elettronico di ritrasmissione automatica di messaggio (CERAM) della Italcable. <i>Quojani F. (A)</i>	XXII	91
— Radio-telefono per auto. (N)	XXII	112
— Fondamenti di telefonia. <i>Cecconelli A., Gagliardi D., Vallese F. (L)</i>	XXII	115
— Il sistema di segnalazione CCITT N. 6. <i>Vannin M. (A)</i>	XXII	137
— Filtri elettromeccanici di canale per multiplex telefonici a divisione di frequenza. <i>Battini M., Caviglia F. (A)</i>	XXII	183
— Struttura di una rete di telecomunicazioni e dei suoi elaboratori di controllo. <i>Cappetti I., Schaffner M. R. (A)</i>	XXII	215
— Rigeneratore e distributore di segnali per telescriventi. <i>Fornaca G., Rossini G. (A)</i>	XXII	223
TELEMISURE (v. Collegamenti...; v. Misure...; v. Telefonia...)		
TELEVISIONE - VIDEOCASSETTE		
— Amplificatori per antenna TV. (N)	XXI	32
— La télévision monochrome et en couleur. <i>Goussot L. (L)</i>	XXI	83
— La codifica numerica lineare del segnale video (PCM-video lineare). <i>Barbieri G. F., Cominetti M., D'Amato P. (A)</i>	XXI	92
— Determinazione soggettiva dei parametri di un sistema PCM-video lineare. <i>Alberico F., Barbieri G. F., D'Amato P., Ghidini I. (A)</i>	XXI	95
— Campionamento e memoria in un sistema PCM-video. <i>Barbieri G. F., Cominetti M., D'Amato P. (A)</i>	XXI	103
— Distorsioni della crominanza in un segnale PCM-video lineare. <i>D'Amato P. (A)</i>	XXI	112
— Circuito di enfasi ottimizzato per trasmissioni TV a colori su sistemi a modulazione di frequenza. <i>Lari M., Tomati L. (A)</i>	XXI	177
— Video registratore. (N)	XXI	201
— Cinescopio a colori: 67 cm, 110°, collo sottile. (N)	XXI	203
— Mascheramento degli scrosci video da nastro nella riproduzione di segnali a colori codificati PAL e SECAM. <i>Ardito M., Barbieri G. F. (A)</i>	XXI	206
— Televisione con «memoria». (N)	XXI	236
— TV a colori completamente allo stato solido. (N)	XXI	238
— Tubo catodico a colori speciale. (N)	XXI	238
— Tecniche speciali di ripresa televisiva. <i>Agresti M. (A)</i>	XXII	82

	Anno	Pagina
— La trasformata di Hadamard nella trasmissione numerica di immagini. <i>Alberico F., Bove F. (A)</i>	XXII	97
— Telettrasmissione in «fac-simile» «La Stampa» da Torino a Roma. (N)	XXII	113
— Telecamere anti-rapine. (N)	XXII	113
— Programma TV a colori su disco. (N)	XXII	114
— Apparecchiatura per elaborazione di immagini televisive. <i>Bavosi G., Racciu A. (A)</i>	XXII	123
— Controllo dei passaporti mediante computer. (N)	XXII	149
— Generatore di segnali di deflessione orizzontale e verticale per ricevitori TV. (N)	XXII	149
— Gli amplificatori ibridi per la «main aerial television». (N)	XXII	152
— Risposta dei tubi da ripresa televisiva alle scene in movimento. <i>Green M., Laponsky A. B., Whitson W. J. (A)</i>	XXII	175
— Radiografie esaminate televisivamente. (N)	XXII	197
— Sistema televisivo per osservatori astronomici. (N)	XXII	198
— Analisi della compressione di informazione sulla trasformata di Hadamard di un'immagine. <i>Bavosi G., Racciu A. (A)</i>	XXII	202
— Sincronizzazione delle portanti dei trasmettitori onda media e TV della RAI. <i>Gentile G. (A)</i>	XXII	209
— Televisione a colori su grande schermo. (N)	XXII	231
— Television simplified. <i>Kiver M.S., Kaufman M. (L)</i>	XXII	232
TIRISTORI (v. Semiconduttori...)		
TRANSISTORI (v. Semiconduttori...)		
TRASFORMATORI (v. Elettronica...)		
TRASMETTITORI (v. Generatori...; Impianti...)		
— Sistema rice-trasmittente a microonde. (N)	XXI	236
— Dispositivi a RF per rice-trasmettitori. (N)	XXII	31
— Trasmettitori di elevata potenza raffreddati e protetti con acqua deionizzata. (N)	XXII	76
— Sincronizzazione delle portanti dei trasmettitori onda media e TV della RAI. <i>Gentile G. (A)</i>	XXII	209
TRASMISSIONE DEI DATI (v. Informatica...)		
TUBI ELETTRONICI		
— Tetrodo in metallo-ceramica. (N)	XXI	34
— Tubo ad onde progressive per ponti radio a microonde. (N)	XXI	79
— Magnetron coassiale a 15 GHz. (N)	XXI	79
— Tubi in ceramica. (N)	XXI	80
— Clistron oscillatore fino a 80 GHz. (N)	XXI	120
— Cinescopio a colori: 67 cm, 110°, Collo sottile. (N)	XXI	203
— Residual gases in electron tubes. (L)	XXI	204
— Tubo catodico a colori speciale. (N)	XXI	238
— Les tubes hyperfréquences. <i>Leblond A. (L)</i>	XXI	239
— Trasmettitori di elevata potenza raffreddati e protetti con acqua deionizzata. (N)	XXII	76
— Tubo a memoria ad elevata risoluzione. (N)	XXII	111
— Risposta dei tubi da ripresa televisiva alle scene in movimento. <i>Green M., Laponsky A. B., Whitson W. J. (A)</i>	XXII	175
— Tubi «monitor» a deflessione elettrostatica. (N)	XXII	196
UNITÀ DI MISURA (v. Misure...)		
VALVOLE (v. Tubi elettronici)		
VARIE		
— Apparecchio per ispezione notturna. (N)	XXI	32
— Sistema di sorveglianza per aereo parcheggiato. (N)	XXI	32
— Olocamera più maneggevole. (N)	XXI	33
— Nuovi studi e modelli di ricerca operativa. <i>Volpato M. (L)</i>	XXI	38

	Anno	Pagina
— Sistemi di accensione a semiconduttori per motori a scoppio d'automobile. <i>Del Zotto G. (A)</i>	XXI	51
— I fulmini e gli impianti di telecomunicazioni. - Comportamento ad impulso dei dispersori di terra. <i>Giudice E., Lo Piparo G. B. (A)</i>	XXI	59
— I fulmini e gli impianti di telecomunicazioni. - Comportamento degli impianti. <i>Giudice E., Lo Piparo G. B. (A)</i>	XXI	67
— L'orologio del futuro. (N)	XXI	78
— Apparecchi a raggi X. (N)	XXI	80
— Missile guidato con telecamera. (N)	XXI	80
— Igrometro a lettura numerica. (N)	XXI	80
— Vernice conduttrice per impieghi elettrici ed elettronici. (N)	XXI	119
— Termopile a film sottile. (N)	XXI	120
— Sistema di allarme antinebbia su autostrade. (N)	XXI	121
— Progetto «borsa 70». (N)	XXI	121
— Tristan-Batteria ad isotopi radioattivi. (N)	XXI	121
— Batteria per auto. (N)	XXI	122
— Le chauffage électrique des chassées. <i>Felixa E. (L)</i>	XXI	124
— Orologio programmatore protetto contro i disturbi. <i>Galliano P. G. (A)</i>	XXI	126
— I fulmini e gli impianti di telecomunicazioni. - Protezione contro le scariche atmosferiche del ripetitore di Monte Orsa (Varese). <i>Garbagnati E., Giudice E., Lo Piparo G. B. (A)</i>	XXI	149
— Controllo elettronico dei quarzi. (N)	XXI	155
— Lampade ad incandescenza microminiatura. (N)	XXI	155
— Rilevamento di elettrocardiogrammi per via radio. (N)	XXI	155
— Rivestimento ottico per intensificare la brillantezza e per eliminare riflessioni. (N)	XXI	156
— Visore nel buio. (N)	XXI	156
— Comandati dall'occhio. (N)	XXI	158

(segue)

SALON INTERNATIONAL DES

composants électroniques

PARIS 1-6 / 4 / 74

COMPONENTS
MEASURING
MATERIALS
EQUIPMENT



Organisation S.D.S.A. - 14, rue de Presles 75740 Paris Cedex 15

SALONI SPECIALIZZATI FRANCESI
Via Meravigli, 12 - 20123 MILANO - Tél.: 863.042/800.979

Anno	Pagina
— Il fenomeno della fulminazione. <i>Giudice E., Lo Piparo G. B. (L)</i>	XXI 160
— Perforatrice per trafilati di diamante a laser. (N)	XXI 202
— Fotografia automatica anche al chiaro di luna. (N)	XXI 202
— Luce al buio con « crofoni ». (N)	XXI 202
— Traffico guidato sulle strade italiane. (N)	XXI 203
— Contatori a due o tre cifre. (N)	XXI 238
— Fluido silicico utilizzato come mezzo di smorzamento per giradischi ad alta fedeltà. (N)	XXII 31
— Microscopio elettronico a più alta sensibilità. (N)	XXII 31
— Convertire l'energia solare in elettrica. (N) ..	XXII 32
— Ricetrasmittitore UHF-FM per uso in aree esplosive. (N)	XXII 34
— Un sistema di comunicazione numerico accelera gli interventi della polizia. (N) ..	XXII 34
— Foto-commutatore a stato solido. (N) ..	XXII 35
— Dispositivo anticollisione per autoveicoli. (N)	XXII 35
— Esposimetro cumulativo di rumore. (N) ..	XXII 36
— Psicologia ed intonazione pratica degli intervalli musicali. <i>Righini P. (A)</i>	XXII 69
— Applicazione industriale del principio sonar. (N)	XXII 73
— Rilevamento aereo di vaste aree mediante radar. (N)	XXII 73
— Anemometro a filo caldo compensato di temperatura. (N)	XXII 74
— Rivelatore di fiamma ad elevata affidabilità. (N)	XXII 76
— Getto d'inchiostro comandato elettronicamente. (N)	XXII 78

Anno	Pagina
— Il traffico di Trieste sarà regolato da un calcolatore elettronico. (N)	XXII 78
— Rivelazione della radiazione nucleare. <i>Price W. J. (L)</i>	XXII 80
— La macchina che « lava il sangue ». (N) ..	XXII 112
— Penna per attuare circuiti stampati. (N) ..	XXII 114
— Una base mobile per il radiorelevamento delle prestazioni su strada di un'autovettura su banda S. <i>Boella M., Cugiani C., Piazzo C. (A)</i>	XXII 118
— Plasma alla temperatura del sole contro l'usura dei metalli. (N)	XXII 149
— Le connessioni meccaniche ad alta resistenza. (N)	XXII 195
— Radiografie esaminate televisivamente. (N)	XXII 197
— Nuovo dispositivo elettronico a scatto veloce. (N)	XXII 197
— Analisi di elettrocardiogrammi con elaboratore a basso costo. (N)	XXII 198
— Rigeneratore e distributore di segnali per telescriventi. <i>Fornaca G., Rossini G. (A)</i> ..	XXII 223
— Dallo spazio la radiografia della terra in pochi minuti. (N)	XXII 228
— Sistema elettronico di scrittura. (N) ..	XXII 228
— Controllo del traffico con il radar « occhio di gatto ». (N)	XXII 229
— Laser per osservazioni spaziali da stazioni terrestri. (N)	XXII 229
— Generatore di tono per organi elettronici. (N)	XXII 229
— Televisione a colori su grande schermo. (N) ..	XXII 231
— Termistori a riscaldamento indiretto. (N) ..	XXII 231
— Assetto dei satelliti artificiali. (N)	XXII 232
— Tavolo da disegno elettronico. (N)	XXII 232

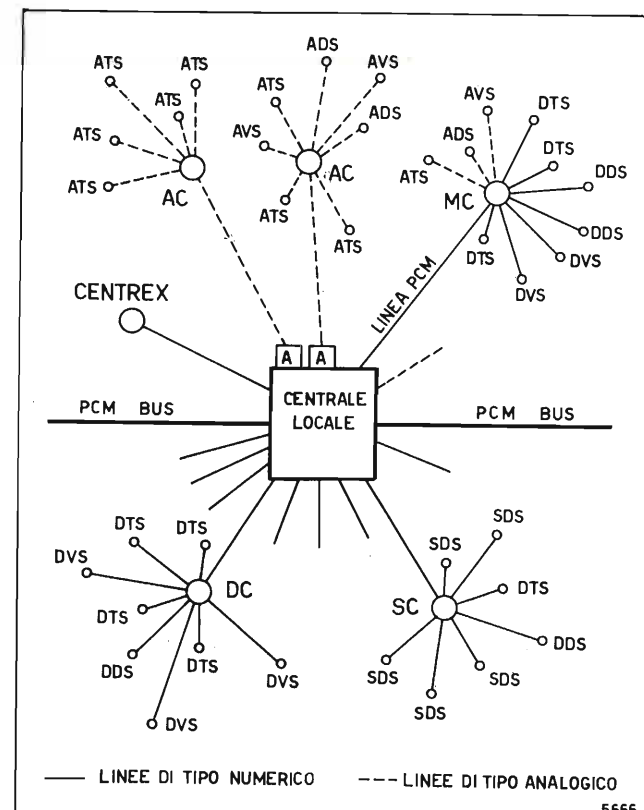


Fig. 1. — Livello «microscala» della rete integrata di telecomunicazioni che viene proposta.

convenzionali, ma sarebbe preferibile orientarsi verso apparecchiature di tipo nuovo.

Il punto più importante è che tutto il traffico, analogico o numerico, entrante nelle nuove centrali, che dovranno essere tutte di tipo numerico, acceda ad esse o mediante linee PCM o sia convertito in forma numerica mediante opportuni adattatori A, qualora si serva di canali analogici.

3.3 IL LIVELLO «MESOSCALA».

Tutto il traffico della rete di distribuzione (il livello microscala di fig. 1) converge, come si è detto, verso le centrali locali tramite linee PCM (di 24 o 30 canali).

Le centrali locali sono connesse, a loro volta, per mezzo di linee PCM (ciascuna costituita da molti canali PCM) costituenti una configurazione a maglia (rete PCM-metro) al servizio di una determinata area. La struttura e il numero delle linee PCM, dei concentratori, delle centrali locali e tandem dipenderà dalla distribuzione dell'utenza e dal traffico. In figura 2 è stato rappresentato un caso ipotetico di 2 aree.

La linea PCM di una rete PCM-metro è essenzialmente una linea di trasmissione PCM nella quale i due sensi di trasmissione sono costituiti da due anelli chiusi (linee PCM ad anello) ovvero da due segmenti paralleli, interconnessi ai due estremi (linee PCM ad albero). Da tali linee i vari time-slot (canali PCM), costituenti una trama di 125µs, possono essere immessi o prele-

3.2 IL LIVELLO « MICROSCALA ».

Il livello microscala è quello della rete di distribuzione. La figura 1 mostra una ipotetica porzione di rete di distribuzione, ove ciascun concentratore (bibl.1) è direttamente connesso agli utenti attraverso una configurazione a stella così come un certo numero di concentratori sono connessi alla centrale locale, ancora per mezzo di una configurazione a stella.

Poiché la rete dovrebbe adattarsi ad utenti ed installazioni preesistenti, occorreranno vari tipi di concentratori.

Abbiamo tipicamente: 1) concentratori analogici AC, connessi a sorgenti analogiche (ATS, ADS, AVS) per mezzo di una coppia di fili, ed uniti alla più vicina centrale per mezzo di linee analogiche; 2) concentratori MC (mixed concentrators) connessi a sorgenti sia analogiche (ATS, ADS, AVS), sia numeriche (DTS, DDS, DVS), e collegati con normali linee PCM (per esempio il sistema Bell a 24 canali in USA, il sistema CEPT con 30 + 2 canali in Europa) alla centrale locale di pertinenza; 3) concentratori numerici DC connessi a sorgenti numeriche (DTS, DDS, DVS) e collegati con normali linee PCM alla relativa centrale locale. Saranno infine presenti concentratori speciali SC adatti per trasmissioni numeriche ad alta velocità (SDS) con opportuna selezione di banda variabile a seconda del tipo di servizio prescelto di volta in volta dall'utente. La interfaccia fra le linee analogiche e le centrali, che sono tutte numeriche, è effettuata per mezzo di adattatori A.

Questa struttura «microscala» della rete dovrebbe essere via via introdotta per trasferimento dell'utenza esistente nelle singole aree. Tale trasformazione strutturale può essere effettuata anche con installazioni

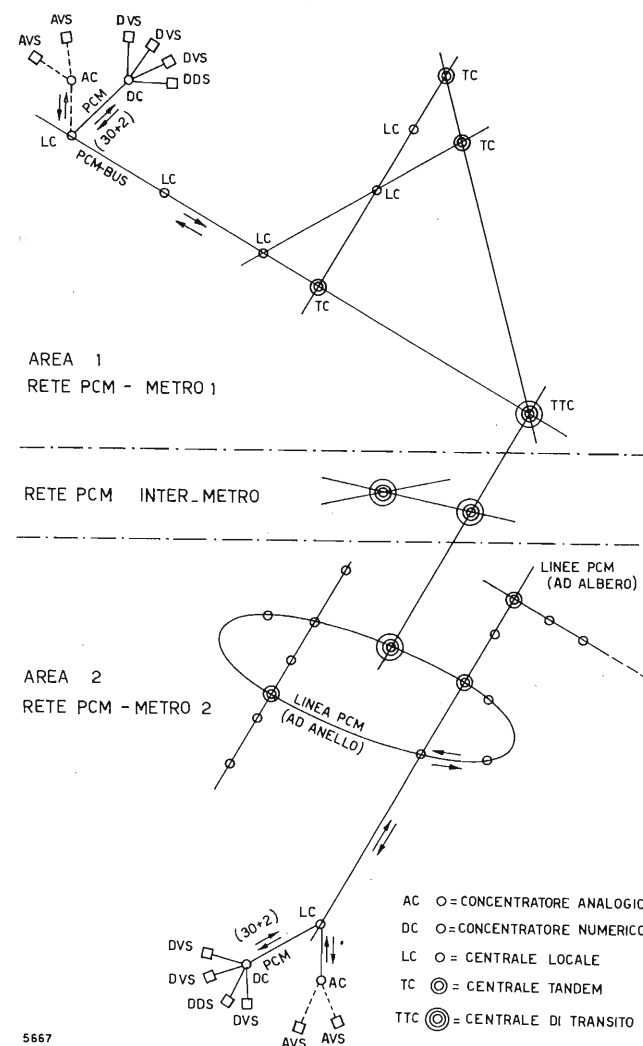


Fig. 2. — Schema della rete integrata di telecomunicazioni proposta con le strutture di reti PCM-metro e PCM-intermetro.

INDICE ALFABETICO DEGLI INSERZIONISTI NELLE ANNATE XXI E XXII (1972/73)

ALFACAVI - 15, v. Belinzaghi - Milano - Tel. 688.6316	XXI 2	XXII 6
ALMAZJUVELIREXPORT - 29, prospekt Kalinina - Mosca G.19 (URSS) Tel. 202.8190	3-4-5	3-4-5
AMP - 15, c. Fratelli Cervi - Collegno (TO) - Tel. 785.656	1-2-3	5-6
ATES-SGS - 1, v. C. Olivetti - Agrate Brianza (MI) - Tel. 65.341	5-6	5-6
BELOTTI - 8, p. Trento - Milano - Tel. 542.051	1-2-3-4-5-6	1-2-3-4-5-6
CAMERA COMM. ITALO-TEDESCA - 29, v. Napo Torriani - Milano - Tel. 652.651	1	5
DAGE ITALIA - 23, v. G. Fara - Milano - Tel. 638.978		5-6
DUCATI - 178, v. M. E. Lepido - Bologna - Tel. 400.312	2-3	5-6
ELETTROCONTROLLI - 139/a, v. Del Borgo - Bologna - Tel. 265.818		1-2
ERI - ED. RADIOT. IT. - 41, v. Arsenale - Torino - Tel. 57.101	3-4	1-2
EURO CEDAG - 10, v. Delle Leghe - Milano - Tel. 285.0183	1-2	4
FIAT - Torino		4-5-6
G. T. E. - 12, v. Bernina - Milano - Tel. 600.151	2-3-4-5-6	1
HEWLETT-PACKARD - 2, v. A. Vespucci - Milano - Tel. 6251		3-4-5-6
I. C. E. - 19/18, v. Rutilia - Milano - Tel. 531.554	1-2-3-4-5-6	3-4-5
ITALCABLE - 46/48, v. Calabria - Roma - Tel. 484.441	2-3-4-5-6	1-2-3-4-5-6
ITT-METRIX - 51, c. Europa - Cologno Monzese (MI) - Tel. 912.7491 ..	2-3-4-5	1-2-3-4-5-6
LARIR - 38/A, v.le Premuda - Milano - Tel. 780.730	1-2-3-4-5-6	1-2-3-4-5-6
LUCHSINGER - 29/A, v. F. Nullo - Bergamo - Tel. 239.047	1-2	1-2-3-4-5-6
MOSTRE SPEC. FRANCESI - 12, v. Meravigli - Milano - Tel. 863.042 ..	1	1
PHILIPS - 2, v.le Elvezia - Monza (MI) - Tel. 361.441	2-3	5-6
PRESTEL - 48, c. Sempione - Milano - Tel. 312.336	1-2-3	5-6
PROCOND - Longarone (BL) - Tel. 76.145	2-3-4-5-6	1
ROJE OSCAR - 15, v. S. Anatalone - Milano - Tel. 415.4141	1-2-3-4-5-6	1-2-3-4-5-6
SELENIA - km 12,400, v. Tiburtina - Roma - Tel. 419.451	1-2-3	1-2-3-4-5-6
SIAE - 21, v. M. Buonarroti - Cologno Monzese (MI) - Tel. 912.3264 ..	1-2-3	1-2-3-4-5-6
SIT - SIEMENS - 12, p.le Zavattari - Milano - Tel. 43.881	2-3-4-5-6	1-2-3-4-5-6
SILVESTAR - 20, v. Dei Gracchi - Milano - Tel. 4996		1-2
SIP - 2, v. Gianturco - Roma - Tel. 3877	2-3-4-5-6	3-4-5-6
SIRTI - 20, v. G. B. Pirelli - Milano - Tel. 6337	3	5
SOETRA - 50, rue Joseph de Maistre - Parigi - Tel. 627.2181		5
TECHNITRON - 443/A, v. Flaminia - Roma - Tel. 396.5838		3
TECHSNABEXPORT - Mosca G 200 (URSS) - Tel. 244.3285		4
TERADYNE ITALIA - 111, v.le America - Roma Eur - Tel. 594.762 ..		5-6
THOMSON-CSF - 69, v.le degli Ammiragli - Roma - Tel. 638.0143 ..	1-2-3-4-5-6	1-2
VIANELLO - 12, v. Crivelli - Milano - Tel. 553.811	2-3-4	3
ZETTLER - 1/3, v. Benaco - S. Giuliano Milanese (MI) - Tel. 964.5755	1-2-3	5-6

vati da parte delle «centrali tandem» o dalle «centrali di transito» collegate a quella linea; tale linea può perciò essere denominata PCM-bus.

Una rete metropolitana o distrettuale costituita da più PCM-bus si dice appunto «rete PCM-metro». Sarà allora sufficiente l'esistenza di opportune «centrali tandem» per passare da un PCM-bus ad un altro della rete e quindi sarà possibile collegare due qualsiasi utenti della rete.

Anche le centrali locali, se collegate a più PCM-bus, possono svolgere le funzioni di centrali tandem ed allora commutano non solo i time-slot dei PCM normali fra di loro e verso i PCM-bus, ma anche i time-slot dei vari PCM-bus in transito fra le stesse.

Poiché il traffico in ogni tronco di linea è trattato in modo indipendente, nuove centrali, nuovi rami ed anelli di connessione possono essere aggiunti in qualunque istante per rispondere allo sviluppo della domanda e del traffico, senza alterare le parti preesistenti della rete.

La maglia permette anche la possibilità di istradamenti alternativi nel caso di saturazioni locali o nell'eventualità in cui ci siano impianti momentaneamente fuori servizio.

Risulta anche possibile connettere ad un PCM-bus, tramite opportune «centrali interfaccia», le esistenti centrali elettromeccaniche. È anche possibile, se richiesto per ragioni di emergenza, collegare su uno o più PCM-bus centrali locali mobili di tipo numerico.

La possibilità per questa rete di operare efficacemente è basata sulla disponibilità di adatti elaboratori situati sulla rete o/o in ogni centrale. Gli elaboratori si preoccupano per le aree di pertinenza della gestione dei vari messaggi, sia per quanto concerne la loro commutazione, trasmissione ed istradamento, sia per i relativi e conseguenti obblighi gestionali ed amministrativi.

I PCM-bus che interconnettono le varie centrali sono linee PCM costituite da più canali PCM raggruppati in sezioni (burst) per le varie centrali origine del traffico. Tali burst hanno lunghezza variabile nel tempo a seconda del traffico momentaneo delle singole centrali (sono cioè delle reti «su domanda»).

Tale rete mesoscala si è chiamata «metro» per analogia con le reti metropolitane delle grandi aree urbane e suburbane, che hanno una struttura a maglia e varie stazioni (in analogia alle centrali tandem) dove i singoli passeggeri possono cambiare per scegliere il tronco più appropriato per raggiungere la destinazione finale.

3.4 IL LIVELLO «MACROSCALA».

Le reti PCM-metro delle varie aree possono essere connesse per mezzo di superlinee PCM (linee PCM-bus caratterizzate da elevatissime velocità di trasmissione e da lunghi percorsi). Nei vari punti di connessione le centrali di transito provvedono all'istradamento del traffico nelle diverse direzioni sotto il controllo di adatti elaboratori situati sulla rete. La configurazione della rete di superlinee PCM dovrebbe essere fortemente dipendente dalla particolare distribuzione geografica delle varie reti PCM-metro. Per distanze molto grandi anche i satelliti per telecomunicazioni possono costituire particolari linee PCM-bus integrate con le varie reti terrene di PCM-bus.

Questa rete interdistrettuale, che connette fra di loro le varie PCM-metro, può non necessariamente essere costituita interamente da PCM-bus. Può però

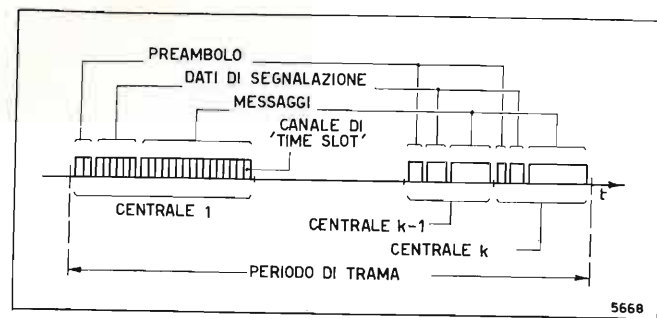


Fig. 3. — Struttura generale di trama nella moltiplicazione a divisione di tempo.

assumere tale configurazione, almeno in alcune sue parti, e cioè costituire una rete inter-area che potrà essere denominata, per i detti motivi, rete PCM-intermetro (fig. 2).

3.5 LA TRAMA DEL PCM-BUS.

Una trama di tipo generale di un PCM-bus a moltiplicazione di tempo è mostrata in figura 3. L'intero periodo di trama è diviso in burst assegnati a centrali diverse.

Il burst di ciascuna centrale è composto di tre parti: 1) un preambolo con l'indicazione della centrale di partenza e di arrivo; 2) dati di segnalazione (signalling data) riguardanti lo status delle comunicazioni attive; 3) il messaggio effettivo, diviso in tanti time-slot (canali) quante sono le comunicazioni in atto.

La lunghezza delle «sezioni di centrale» (central-burst) può essere o fissa per ogni centrale, oppure con numero dei canali che varia di ora in ora seguendo un programma (preassigned circuits slow-packing), o totalmente variabile (fully-variable) (il numero dei canali segue l'intensità istantanea del traffico), oppure variabile, ma soggetta a certe riserve (ad es. fully variable-central-reserve) (per ciascuna centrale è garantito un minimo assegnato di canali). Alcune delle particolari strategie seguite nel caso dei satelliti per telecomunicazioni, come l'assegnazione su domanda, (bibl.2) potrebbero essere convenientemente usate anche nel caso in esame. La trama di 125 μs, che corrisponde ad una cadenza di campionamento della voce di 8.000 Hz, costituisce una trama suddivisa in gruppi di 8 bit (time-slots o canali) e viene così a rappresentare una unica trama universale di riferimento, valida per qualsiasi tipo di telecomunicazione.

Nei PCM-bus che interconnettono centrali locali non c'è ovviamente necessità di un preambolo.

Il controllo generale della trama dei vari PCM-bus può essere agevolato se si assegna ad ogni PCM-bus un apposito elaboratore di centrale.

Sarebbe possibile accrescere anche l'affidabilità globale del sistema ripartendo il traffico su più PCM-bus processor che si aiutano vicendevolmente. Si può avere una riduzione ed un controllo dei dati di segnalazione nei casi in cui essi possono essere associati ai time-slot che portano i messaggi cui essi si riferiscono; un bit in ogni time-slot è riservato per la segnalazione codificata in una lunga supertrama (di segnalazione) con abbondante ridondanza; gli altri 7/8 bits di quel time-slot possono portare un messaggio o informazioni di servizio a seconda dello stato della comunicazione.

4. Gli elaboratori.

4.1 INTRODUZIONE.

Essenziale per le reti PCM-metro è la presenza di elaboratori capaci di assolvere in tempo reale alle operazioni via via richieste. Noi possiamo considerarli come un grande elaboratore distribuito; i PCM-bus che congiungono le centrali sono, allo stesso tempo, linee di traffico e collegamenti necessari per il coordinamento del lavoro delle diverse unità elaborative.

Due processi discreti di Markov sono prodotti da ciascuna sorgente, uno relativo alla segnalazione, che determina tutte le fasi della comunicazione dalla sua nascita al termine, e l'altro relativo alla informazione, composto di parole di tipo numerico (campioni di voci o caratteri relativi a dati) ad intervalli di 125 μs. Il primo processo implica la produzione di segnali di controllo, la ricerca di una possibile via di istradamento ed il calcolo di dati di tipo gestionale ed amministrativo. Il secondo implica il trasferimento di parole di 8 bit attraverso il cammino stabilito.

Questi processi sono caratterizzati da ben definite sequenze periodiche di compiti; quindi essi sono appropriatamente trattabili da elaboratori di processo (processor) con cicli correlati (bibl. 3). Le funzioni che devono essere svolte sono ben note in anticipo, ma esse devono essere eseguite ad una velocità molto elevata se vogliamo che un singolo ciclo (125 μs o multipli) sia capace di trattare una gran quantità di comunicazioni. Allora è particolarmente appropriato per queste centrali possedere un sistema di elaborazione in cui la rete programmabile, rispondente alle parole di un programma, può assumere configurazioni specializzate, capaci di eseguire le funzioni richieste in un ciclo di macchina. Per questo sistema, che è stato chiamato Circulating Page Loose (CPL) system, (bibl. 4) un processo è descritto nella forma di una macchina a stato finito (FSM) secondo le espressioni:

$$y(i+1) = F_{s(i)} [y(i), x(i)],$$

$$s(i+1) = T_{s(i)} [y(i+1), x(i)].$$

Il vettore y rappresenta l'insieme delle variabili del processo, x l'insieme dei nuovi dati di entrata, i l'indice corrispondente al ciclo corrente, $s(i)$ lo stato presente del processo, F l'insieme delle operazioni che devono essere eseguite su dati, e T la funzione che determina lo stato successivo $s(i+1)$ del processo. In ciascun ciclo di macchina si realizzano due reti per eseguire le funzioni F e T delle [1]. Un programma per il sistema CPL consiste di un insieme finito di quadruple, che descrivono la FSM,

$$I_j, F_j, T_j, R_j \quad j = 1, 2, \dots, k$$

dove I_j è la parola numerica che prescrive l'entrata del ciclo presente, F e T sono parole numeriche definenti le reti che realizzano le funzioni [1], R è una parola che descrive l'istradamento di certi dati ai dispositivi di uscita e j è lo stato.

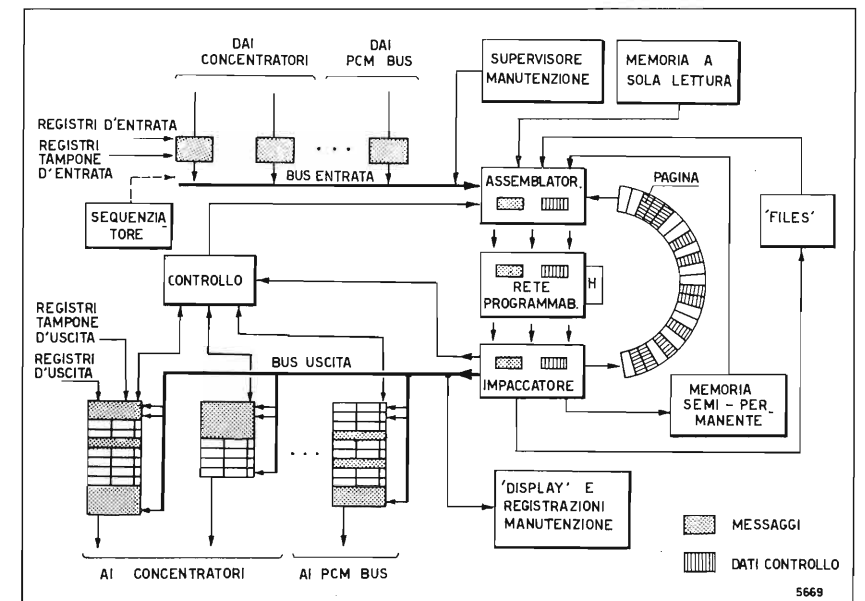


Fig. 4. — Schema a blocchi dell'elaboratore delle Centrali della rete PCM-metro; sistema «circulating page loose» (CPL).

Il sistema CPL ha quattro unità principali (fig. 4): un assemblatore per l'acquisizione dei dati, una rete programmabile per l'esecuzione del processo, un impaccatore per l'istradamento dei dati dopo l'elaborazione ed una memoria (immagazzinamento secondo il criterio che chi prima entra prima esce). Le quattro unità formano un anello chiuso per la circolazione delle pagine. Una pagina è un insieme di dati riferiti ad un singolo processo, nel nostro caso una singola comunicazione. La figura 4 mostra le parti principali di un sistema di elaborazione di una rete PCM metro.

4.2 FUNZIONE DI COMMUTAZIONE.

Le trame di tutte le linee PCM-bus del PCM-metro hanno l'identico periodo di 125 μs e sono sincronizzate, ma ciascuna linea può portare un differente numero di canali a divisione di tempo. Ogni linea entrante trasferisce il contenuto di ciascun time-slot in un registro d'entrata. Un sequenziatore trasferisce il contenuto di ciascun registro d'entrata in un registro tampone prima che il contenuto del successivo time-slot arrivi nel registro d'entrata; nello stesso tempo il sequenziatore trasferisce il contenuto di tutti i registri tampone nel bus d'entrata dell'elaboratore prima che un nuovo contenuto sia presentato al registro tampone. In questo modo i time-slot di una pluralità di linee d'entrata con differenti modulazioni a divisione di tempo vengono interallacciati in un flusso continuo al bus d'entrata dell'elaboratore.

Ci sono tante pagine in circolazione quanti sono i time-slot nell'intero insieme di linee d'entrata connesse al sistema. Il contenuto di ciascun time-slot trova la sua corrispondente pagina nell'assemblatore; la pagina da l'indirizzo della linea d'uscita e del time-slot in quella linea. Dall'impaccatore, con quei due indirizzi detti, il contenuto di ciascun time-slot va nell'appropriato registro tampone di uscita. Alla fine di ogni trama, i contenuti dei registri tampone di uscita vengono trasferiti nei registri di uscita; poi il contenuto dei registri di uscita è incanalato nei corrispondenti canali delle linee di uscita (PCM normale o PCM-bus).

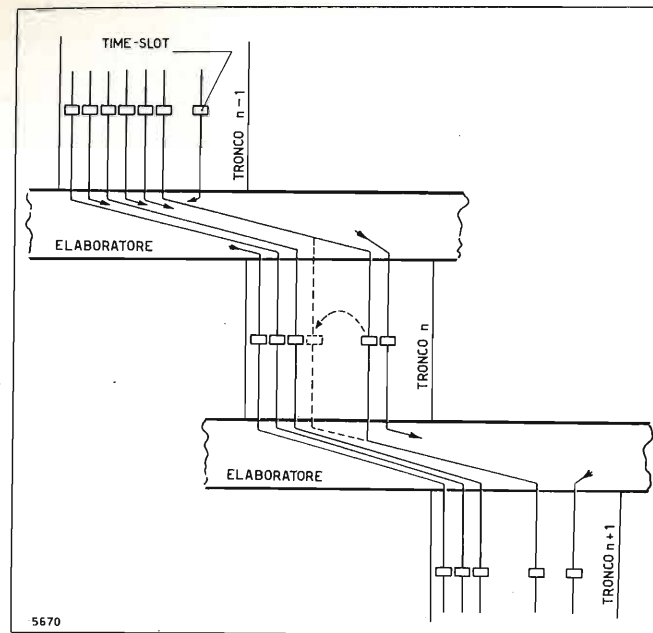


Fig. 5. — Movimento di processione dei time-slot attraverso gli elaboratori della rete integrata di telecomunicazioni.

Per facilitare le comunicazioni a banda differente da quella normale di 64 kbit/s (velocità multipla di 64 kbit/s) esiste, per ciascuna trama di linea, un movimento di precessione di tutte le pagine attive, e quindi di time-slot con messaggi, verso un estremo della trama, come indicato schematicamente in figura 5. I registri tampone di uscita hanno un bit extra che indica se il time-slot considerato è usato oppure no; un circuito di controllo informa l'assemblatore dei time-slot seguenti liberi in quella linea; una copia della pagina corrente è prodotta nella pagina ausiliaria di immagazzinamento H (fig. 4), ed inserita in circolazione in corrispondenza del nuovo time-slot; la pagina precedente è eliminata non appena la nuova allocazione per quella comunicazione venga acquisita dall'elaboratore all'altro estremo del tronco.

4.3 FUNZIONI AMMINISTRATIVE E DI SEGNALAZIONE.

Una comunicazione viene iniziata con i numeri della sorgente, della destinazione, e con il codice caratteristico del tipo di servizio. L'elaboratore della centrale locale di appartenenza della sorgente della comunicazione introduce una pagina in circolazione nello stato di partenza acquisito dal programma contenuto nella memoria a sola lettura (fig. 4), tenendo conto del codice caratteristico del tipo di servizio e dell'informazione connessa alla chiamata dell'abbonato, immagazzinata in una memoria semi-permanente. Il processo relativo alla ricerca di un cammino adatto per la comunicazione è portato avanti (con eventuale partecipazione di altri elaboratori della rete PCM-metro) impegnando un time-slot in ogni tronco successivo. In questa fase i time-slot vengono adoperati come un canale di servizio. Quando il percorso è stabilito (può essere una sola via o due vie, a seconda del tipo di servizio) e sono soddisfatte tutte le condizioni relative alla comunicazione (sette bit del time-slot nel caso del PCM americano) essi vengono utilizzati per il messaggio. L'ottavo bit continua a servire come canale di servizio nella supertrama codificata; ogni volta che avviene un

mutamento di situazione gli altri sette bit del time-slot vengono usati di nuovo per segnalazione o per scambiare informazioni fra gli elaboratori secondo una super-trama di segnalazione.

Nel caso dello standard europeo (PCM-CEPT), esistendo un canale apposito per i dati di segnalazione, può essere conveniente, tramite un piccolo elaboratore di segnalazione (signalling processor) locato nella centrale, aggiungere un bit di segnalazione *solo all'interno della centrale*, mentre sulla linea i dati di segnalazione restano collocati nell'apposito canale codificato della super-trama di segnalazione.

Anche le funzioni gestionali ed amministrative vengono eseguite indipendentemente per ciascuna comunicazione dalla pagina relativa. Certi stati del programma contengono parole che producono nella rete programmabile delle configurazioni tali da eseguire quelle funzioni durante il passaggio della pagina.

I dati di uscita vengono raccolti dall'impaccatore nelle « files » appropriate. I necessari dati di entrata vengono acquisiti dall'assemblatore.

Durante le ore di traffico ridotto vengono attivate, nello stesso elaboratore, pagine con programmi gestionali ed amministrativi per l'elaborazione di dati gestionali (rilievi di traffico, guasti, simulazioni interne di traffico per diagnosi ecc.), e amministrativi (da trasferirsi agli elaboratori centrali per la fatturazione) come pure per la trasmissione di dati statistici di situazioni, ecc.

In figura 4 si possono individuare due distinte circolazioni: quella dei messaggi, nella parte sinistra (blocchi punteggiati), e quella dei dati di servizio, nella parte destra (blocchi tratteggiati). Nelle reti programmabili i due tipi di informazione possono mescolarsi; in certi istanti, durante la comunicazione, messaggi possono entrare nell'area di servizio, in altri istanti dati di servizio possono invadere l'area della trasmissione del messaggio.

4.4 COMMENTI.

L'affidabilità delle operazioni può essere incrementata semplificando il percorso dei dati e riducendo il numero dei cicli di macchina, piuttosto che abbassando la velocità dei circuiti numerici. La velocità della circolazione delle pagine può essere elevata finché il tasso di errori casuali si avvicina al valore ammissibile nel servizio.

Considerando la rete programmabile, c'è interesse a studiare l'applicabilità di logiche a soglia, che, per mezzo di pesi diversi attribuiti dal programma, possono eseguire diverse funzioni logiche e aritmetiche (bibl. 5).

Allo stato presente della tecnologia dei circuiti integrati, un sistema elaborativo con un periodo di 125 μ s può trattare fino a 2500 pagine, e quindi un ugual numero di canali. Assumendo che le comunicazioni durino in media due minuti, questo vuol dire un totale di 75.000 comunicazioni ogni ora. Se il flusso del traffico è maggiore si possono aggiungere altre unità dello stesso tipo, ciascuna delle quali viene dedicata ad un gruppo di trame in arrivo, mentre tutte si spartiscono i registri tampone delle trame di uscita.

I diagrammi degli stati di tutti i programmi sono tali che essi non possono rimanere bloccati in uno stato o in un ciclo. Ciascuna pagina possiede una parola che conta il tempo, e se i segnali o le operazioni appropriate non provengono con la cadenza prescritta ven-

gono prodotte appropriate transizioni per il ritorno alla normalità con eventuale produzione di allarmi.

Una possibilità interessante per questa rete di calcolo di tipo programmabile è il fatto che essa può facilmente mettersi in relazione con gli elaboratori degli utenti verso i quali venga effettuata una trasmissione dati. Durante la parte preliminare della comunicazione con l'utente, l'elaboratore della corrispondente centrale locale acquisisce dall'utente una porzione del programma relativo al controllo dei dati (certe parole di messaggio entrano nella zona di controllo dei dati [fig. 4]); quindi i dati vengono trasmessi con regole che dipendono in certa misura dal programma di utente così acquisito.

Naturalmente le macchine a stato finito degli elaboratori dovrebbero essere strutturate in modo tale da non accettare indesiderate interferenze da parte degli utenti. Una volta che sia terminata la comunicazione il programma di utente scompare assieme alla pagina relativa.

4.5 MANUTENZIONE.

Una pagina circola continuamente in ciascun sistema seguendo un programma di prova per le differenti parti del cammino di circolazione, e produce automaticamente la commutazione verso le unità di attesa (stand by) nel caso che vengano osservati malfunzionamenti. Altre pagine, sotto il controllo del programma supervisore di manutenzione, sono introdotte in modo periodico per compiere *controlli* nella trasmissione dei messaggi, nella ricerca di cammini, nella selezione dei servizi e nel calcolo delle funzioni di carattere amministrativo.

In tale rete elaborativa è facile impostare programmi che simulano in modo automatico tutti i tipi di comunicazioni e controllano tutti i possibili percorsi e le sequenze di stati per i diversi servizi. I risultati di queste ricerche vengono sia forniti in tempo reale, sia memorizzati in appropriate « files » per essere estratti su richiesta allo scopo di fornire elementi diagnostici.

5. Considerazioni.

Una caratteristica peculiare di tale rete di telecomunicazioni è l'elaborazione in tempo reale estesa alla totalità delle possibili comunicazioni. Le seguenti considerazioni giustificano questo approccio. È facile prevedere, infatti, la proliferazione di quei servizi che richiedono assistenza e controllo automatico.

Quando ogni utente avrà un equipaggiamento tale da poter essere usato ugualmente bene, azionando certi dispositivi, sia per chiamare destinazioni di diversa natura, sia per acquisire particolari informazioni, sia addirittura con funzioni di un piccolo elaboratore-terminale, la maggior parte delle chiamate, diversamente da quanto accade nel traffico di oggi-giorno, richiederà un'elaborazione complessa. Le comunicazioni fra elaboratori si prevede che aumenteranno di numero in maniera rapida, e presumibilmente questa applicazione costituirà uno degli usi più diffusi della rete integrata di telecomunicazioni, la trasmissione dati richiede, infatti, un trattamento d'informazione che sia rapido e flessibile. Si prevede inoltre che l'equipag-

giamento richiesto per l'elaborazione diminuirà sia in costo che in complessità, mentre ne aumenteranno l'affidabilità, la velocità e le possibilità elaborative.

Come conseguenza delle possibilità elaborative, ogni richiesta può avere seguito immediato. La possibilità di stabilire una comunicazione è limitata solo dalla capacità dei singoli fasci, ma, a causa della configurazione a maglia e della presenza sulla rete di elaboratori, ogni time-slot disponibile può essere sfruttato al massimo. Sono altresì previsti per un prossimo futuro vettori con grandissime capacità (cavi coassiali, ponti radio numerici, guide d'onda circolari, fibre ottiche, ecc.) che permetteranno di fronteggiare le prevedibili nuove necessità di aumento di utenza, traffico e servizi, soprattutto per quelle comunicazioni che richiedono un'enorme quantità di banda, come ad esempio per comunicazioni di tipo video e per i dati ad altissima velocità.

Ci si aspetta, nella rete PCM-metro, un controllo automatico della banda richiesta e permessa, in modo tale che sia le comunicazioni vocali o per dati normali (48 ÷ 64 kbit/s) sia quelle a larga banda, come trasmissioni video o di dati ad alta velocità (multipla di 64k bit/s), possano coesistere sulla stessa rete, osservando nelle ore di punta opportune priorità e/o strategie di istradamento.

La presenza di più elaboratori entro il sistema, sia presso le centrali che sui PCM-bus, permette una maggiore e più flessibile possibilità di controllo ed una più efficiente supervisione nella ricerca e variazione degli istradamenti ed infine anche uno scambio ed un controllo reciproco delle diverse funzioni, assicurando così una maggiore affidabilità, una migliore qualità di servizi e una maggiore probabilità di sopravvivenza di tutto il sistema, nonché una più efficace operatività della gestione e dell'esercizio.

La disponibilità di processi elaborativi per ogni comunicazione permette di introdurre una varietà di nuovi servizi ad un costo molto basso, poiché essi vengono ottenuti senza installazione di nuovi equipaggiamenti e di costosi dispositivi di accesso e di interfaccia verso gli stessi.

La organizzazione della rete in due livelli, la rete di distribuzione e la rete PCM-metro, con la presenza di elaboratori alla interfaccia delle due, facilita il sorgere di una rete integrata senza costose sostituzioni ed adattamenti delle installazioni esistenti. Fra l'altro le linee dei concentratori potrebbero essere costituite inizialmente sfruttando la esistente rete urbana di distribuzione e di giunzione.

6. Conclusioni.

Il modello di rete integrata presentato in questa memoria non costituisce naturalmente l'unico modo di realizzare una rete numerica mondiale per telecomunicazioni. Essa è soprattutto una *rete ideale* che nel tempo potrà affermare una propria convenienza realizzativa a seconda delle esigenze che via via verranno concretandosi da parte degli utenti e dei gestori e a seconda dello sviluppo tecnologico che verrà nel tempo delineandosi.

È soprattutto la sua « filosofia » quella che a noi interessa e che per la sua semplice e flessibile logica strutturale ha buoni motivi di possibile affermazione, anche se a lungo termine.

Sono tali possibilità che ci hanno spinto a formulare un tale modello, che pensiamo dovrebbe costituire un obiettivo per una futura rete telefonica mondiale che voglia avere, come deve avere, il supporto valido della moderna elettronica veloce, delle nuove tecniche numeriche, dei sempre più avanzati sistemi di elaborazione e controllo, in quanto elementi essenziali dell'attuale sviluppo e tendenza della tecnica e della tecnologia. Si deve anche considerare che essa viene incontro alle più diverse esigenze di nuovi servizi che sembrano coincidere con quelli desiderati dall'utenza, sia attualmente che per il prossimo futuro. Infatti i requisiti previsti dalla nostra rete per i vari servizi concernono essenzialmente i tipi di traffico offerti agli utenti, e cioè telefonico (con tutte le note nuove «facilities» permesse dalla Commutazione Elettronica), i dati a velocità telegrafica (100 ÷ 200 bauds), telefonica (600, 1200, 1800, 2400, 4800, 9600 bit/s) e super-telefonica ($n \times 64$ kbit/s con $n = 1 \div 30$), il servizio videotelefonico (1920 kbit/s, che è la capacità della linea PCM CEPT a 30 canali), il servizio facsimile, ecc.

Presenta inoltre il vantaggio di una rete completamente numerica (le estensioni analogiche sono numerizzate all'atto della loro immissione nella rete numerica, e possono quindi servire per la voce e per i servizi sia analogici che numerici a bassa velocità, la cui onda-dati viene però campionata e numerizzata come l'onda della voce, cioè viene considerata come una informazione analogica). Data la struttura delle linee standard PCM di estensione, tutti i servizi avranno velocità multipla di 64 kbit/s con il massimo di 1920 kbit/s ($n \times 64 = 1920$ per $n = 30$). Nel caso di servizi a velocità superiore si sfrutteranno collegamenti immessi direttamente sulla rete primaria PCM-metro.

Inoltre esistono anche esigenze da considerarsi per il prossimo futuro nel riguardo del presumibile volume di traffico per dati. Infatti le necessità per teleinformatica vanno sempre più crescendo con un incremento annuo che oggi in Europa si aggira sul 100%. Si pensa perciò che sia opportuno prevedere in futuro una rete comune *integrata per dati e voce*. Purtroppo occorreranno soluzioni di compromesso prima di arrivare a tale sistema. Ad esempio la Francia sta realizzando una rete commutata per dati ad alta velocità, detta *Caducee*, del tipo a commutazione di circuito, e sta già studiando la realizzazione di una rete numerica per dati, detta *Hermes*, del tipo a commutazione di messaggio, che è prevista per gli anni 80. Inoltre, una rete sperimentale numerica di tipo integrato, detta *Platon*, è in servizio nella Bassa Normandia.

Soluzioni simili stanno pure pensando gli altri Paesi dell'Europa. Comunque l'Europa sta seguendo una strada che dovrà portare ad una completa integrazione fra dati e voce, fra commutazione e trasmissione, con una rete tutta numerica (salvo le reti di estensione) ed una commutazione temporale numerica del tipo di pacchetto o meglio di messaggio (multipli di 8 bit).

Venendo infine ai requisiti necessari per risolvere i problemi posti dalla realizzazione della rete qui presentata, si può osservare che essi sono influenzati per la loro soluzione da molti fattori, ad oggi non tutti sicuramente prevedibili. Fra essi elenchiamo:

- 1) *Logiche ad alta velocità*. Questo è uno dei problemi più importanti per la soluzione pratica del sistema. Il trasferimento interno dei dati nelle Centrali

tandem è fortemente condizionato dalle velocità possibili di trasferimento: tempi di commutazione delle porte, velocità di transito sui canali interni, tempi di accesso (lettura, scrittura) alle memorie, tempi di elaborazione in real-time quando occorra, ecc. Ovviamente il problema può essere risolto anche a livello organizzativo (collegamenti in serie, parallelo, cascata o commutazioni miste tempo/spazio, ecc.), ma dal punto di vista economico la soluzione migliore è quella di realizzare velocità interne di commutazione ed elaborazione compatibili sia con i traffici che con i sistemi trasmissivi in transito sulle Centrali.

- 2) *Elaborazione ciclica*. Si è già detto che due processi Markoviani (segnalazione ed informazione) caratterizzano la rete. Per evitare carichi costosi e tempi morti per gli indirizzi, ed anche per assicurare una maggiore affidabilità al sistema, è opportuno ricorrere ad elaborazioni cicliche a due tassi: segnalazione e informazione, anche perché, alcune funzioni più delicate (ad es. disconnessione) richiedono un sicuro e costante controllo, che può essere facilmente ed economicamente realizzato con una certa coerenza constatabile in più cicli successivi per la stessa richiesta (bibl. 3).
- 3) *Tipo di software*. Le necessità di programmazione per un tale sistema possono essere di due tipi: normali ed eccezionali. Mentre le prime, per la loro frequenza, è bene affrontarle con un software di tipo cablato, le seconde possono ricorrere ad un software registrato o misto o microprogrammato. La ripartizione fra queste due tecniche e l'impiego di *linguaggi orientati* a questo specifico problema è un altro dei punti che possono condizionare la fattibilità del sistema.

Infine, altro problema importante, ma non essenziale, è quello dei supporti fisici per la trasmissione. Qui esiste una larga gamma di possibilità presenti e future e la ricerca dovrà studiarle per vedere quale sia il loro impiego più efficiente per costituire la struttura fisica della rete primaria numerica. (1609)

BIBLIOGRAFIA

1. - CAPPETTI I.: *Opportunities provided by the introduction of decentralized switching stages into a large subscribers network*. «VI Congresso internazionale telegrafico», settembre 1970, Monaco di Baviera.
2. - CAPPETTI I.: *Traffic problems in a telephone network via satellite with preassigned and demand assigned circuits*. «Int. Conf. on Digital Satellite Communication», novembre 1969, IEE, Londra.
3. - CAPPETTI I., PERUCCA G.: *Vantaggi dell'organizzazione logica a divisione di tempo a cicli correlati nei riguardi della sicurezza di funzionamento in presenza di disturbi*. XIV Congresso dell'Elettronica, 1967, Roma.
4. - SCHAFFNER M. R.: *A computer modeled after an automaton*. «Proc. Symp. Computers and Automata». MRI Symp. Vol. XXI, Polytechnic Institute of Brooklyn, Brooklyn, New York, pp. 635-650.
5. - CAPPETTI I.: *Ordine e separabilità di strutture e funzioni Booleane*. «Monogr. CSELT», Torino, 1971.

RIGENERATORE E DISTRIBUTORE DI SEGNALI PER TELESCRIVENTI

RELÈ POLARIZZATO ALLO STATO SOLIDO

G. FORNACA, G. ROSSINI (*)

SOMMARIO — Viene descritto un particolare tipo di «relè telegrafico» che si consiglia come alternativa a quello più comunemente usato e che è basato sul principio dei relè convenzionali di natura elettromagnetica. Esso è destinato a rigenerare i segnali telegrafici ed a rendere possibile l'allacciamento di più telescriventi alla stessa linea. In particolare evidenza vengono messi, oltre al principio di funzionamento del circuito che impiega solo componenti allo stato solido, anche le caratteristiche che lo differenziano dal tipo convenzionale.

SUMMARY — *Signal reshaper-distributor for teleprinters—solid-state polarized relay*. This paper deals with a particular type of "electronic telegraph relay" recommended as an option to the mostly adopted relay based on the principle of the standard electromagnetic relays. It is intended for reshaping the telegraph signals and for making feasible the connections of a greater number of teleprinters to the same transmission line. Besides the operating principle of the circuit using solid-state components only, particular evidence is given to the characteristics which make this relay different from the standard one.

1. Introduzione.

Le telescriventi un tempo adottate prevalentemente presso i Servizi telegrafici di Stato, trovano attualmente un più largo impiego grazie all'estendersi della rete di distribuzione nazionale, in tutti quei settori dove occorre trasmettere e riprodurre a distanza un'informazione stampata.

Alcuni uffici per soddisfare particolari esigenze utilizzano spesso volte più macchine stampanti per riprodurre la stessa informazione. La linea di distribuzione, che serve più telescriventi allacciate tra loro in parallelo, si trova ad essere a volte sovraccaricata al punto tale che i segnali in codice risultano affetti da deformazioni tali da non consentire agli organi di riproduzione una loro corretta interpretazione. È molto importante, quindi, che le distorsioni e alterazioni di questi segnali vengano costantemente mantenute entro determinati limiti che garantiscano una buona sicurezza di funzionamento del sistema.

Mentre le distorsioni del segnale dovute al sistema di emissione e di ricezione sono generalmente trascurabili, quelle dovute al mezzo di trasmissione (linea) sono le più difficili da contenere entro i limiti tollerati. Per ridurre questo inconveniente, che si accentua con la lunghezza della linea e con l'aumentare del carico da servire, si ricorre all'impiego dei «relè telegrafici».

Questi dispositivi, che presentano generalmente un'impedenza d'entrata sufficientemente elevata da non costituire un carico apprezzabile per la linea, sono in grado di rigenerare i segnali aumentandone il contenuto energetico e, a differenza dei normali amplificatori, migliorandone il rapporto segnale/rumore senza peraltro alterare sensibilmente gli istanti corrispondenti alle commutazioni.

A tali relè si richiedono caratteristiche quali bassa potenza di eccitazione, elevata capacità di commuta-

(*) Per. ind. Guido Fornaca, per. ind. Gianfranco Rossini della RAI-Torino.

Dattiloscritto pervenuto il 21 agosto 1973.

zione, assenza di scintillamento o rimbalzi fra i contatti durante l'esercizio, bassa resistenza ohmica di questi ultimi, loro inalterabilità alle corrosioni, insensibilità a vibrazioni, dimensioni e peso ridotti, ecc. I tipi normalmente usati, oltre a non soddisfare pienamente alle caratteristiche suddette, sono spesso soggetti a guasti, richiedono manutenzione continua e hanno una vita relativamente breve.

Tutti questi motivi hanno suggerito l'idea di prendere in considerazione una versione elettronica del dispositivo che ne avrebbe certamente aumentato l'affidabilità, migliorato le prestazioni ed allungato la vita utile.

2. Principio di funzionamento.

In figura 1 è riportato lo schema a blocchi del relè allo stato solido tipo 7775, studiato e realizzato presso il Laboratorio Ricerche della RAI.

La prima parte 1 costituisce il circuito di entrata dei dati che svolge principalmente la funzione di proteggere l'apparato da sovratensioni di linea; l'andamento della sua impedenza in funzione della corrente di eccitazione è quello indicato in figura 2, per cui la

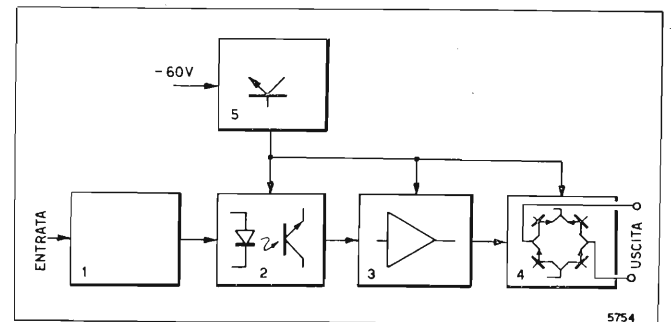


Fig. 1. — Schema a blocchi del relè polarizzato allo stato solido usato come rigeneratore e distributore di segnali per telescriventi; 1) Circuito di protezione d'entrata; 2) circuito di separazione ottica; 3) amplificatore; 4) circuito di commutazione; 5) alimentatore a corrente costante.

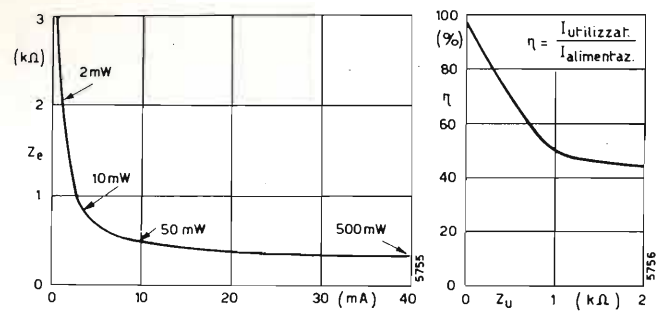


Fig. 2. — Andamento dell'impedenza di entrata Z_e al variare della corrente di entrata (eccitazione). Fig. 3. — Andamento di η al variare dell'impedenza del carico Z_u .

potenza assorbita cresce lentamente al crescere della corrente di entrata.

La seconda parte 2 realizza una separazione elettrica tra l'entrata e l'uscita del relé per mezzo di un isolatore ottico costituito da un diodo a luminescenza che, pilotato dal segnale d'entrata, eccita un fototransistore che converte l'energia luminosa ricevuta nuovamente in segnali elettrici. I segnali così ottenuti, opportunamente amplificati dal circuito 3 vengono utilizzati per il comando del sistema di commutazione a ponte 4 sulla cui diagonale è inserito il carico utilizzatore (telescrivente).

Questi ultimi tre stadi sono alimentati tramite uno stabilizzatore 5 che provvede a mantenere la corrente costante col duplice scopo di limitarla in caso di cortocircuiti all'uscita del dispositivo e di evitare l'operazione di taratura della corrente di esercizio necessaria alla telescrivente.

La figura 3 fornisce il rapporto η fra la corrente nel carico in funzione della sua impedenza, riferita alla corrente stabilizzata dell'alimentatore.

La parte 4 dello schema a blocchi risulta particolarmente adatta al comando di relé polarizzati; trattasi infatti di un circuito commutatore in grado d'invertire velocemente la corrente attraverso un carico induttivo e mantenerla fino all'arrivo del successivo impulso.

Per meglio comprenderne il funzionamento si ritiene di dovere estendere la descrizione con riferimenti allo schema elettrico dell'intero dispositivo riportato in figura 4a.

Supposto di assegnare ad A (terminale d'entrata) una polarità di segno negativo rispetto a B, il fotodiodo di T_2 si illumina e quindi si viene a stabilire la seguente condizione elettrica: T_3 conduce e causa la chiusura di T_4 - T_5 , l'utilizzatore è percorso da una

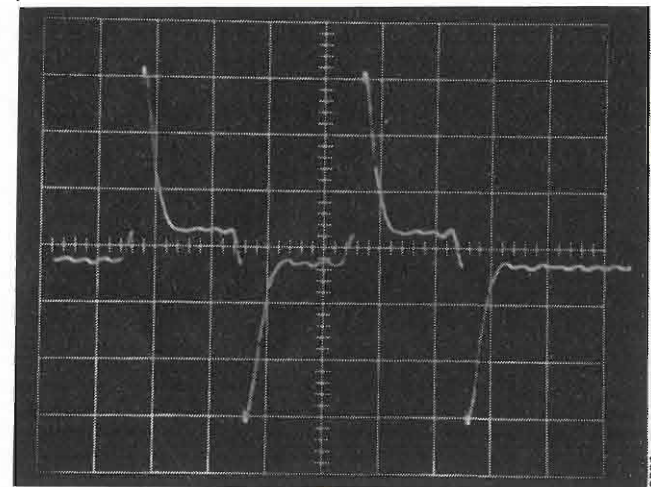


Fig. 5. — Tipo di segnale esistente su una linea che alimenta una telescrivente. Scale: ascisse 1 quadretto = 10 ms; ordinate 1 quadretto = 20 V.

corrente che, secondo il verso convenzionale di scorrimento, va ad interessare i rami costituiti da D_9 - T_5 -UTILIZZATORE- D_{11} - T_4 ; la differenza di potenziale ai capi di D_{11} porta T_6 all'interdizione, la saturazione di T_4 assicura che T_7 sia aperto. Questa situazione permane fintanto che all'entrata non si invertono le polarità. In tal caso il fotodiodo non è più attraversato da corrente e determina quindi l'interdizione del fototransistore, di T_3 e di T_4 . La corrente attraverserà ora l'utilizzatore interessando i rami costituiti da D_6 - T_6 -UTILIZZATORE- D_{12} - T_7 ; la differenza di potenziale ai capi di D_{12} porta T_5 all'interdizione, T_7 può condurre poiché la base risulta polarizzata attraverso R_{12} - D_7 - D_{13} - R_{14} . In figura 4b è riprodotta la piastra del circuito stampato su cui è montato l'intero relé e in figura 4c la spina d'innesto.

Durante la fase di commutazione, data la natura

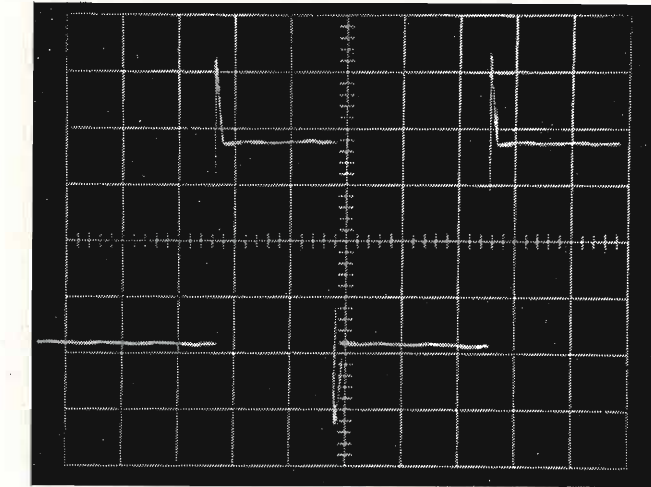


Fig. 6. — Tipo di segnale esistente su una linea che alimenta un relé del tipo di quello in esame. Scale: ascisse 1 quadretto = 10 ms; ordinate 1 quadretto = 10 V.

induttiva del carico, utilizzatore, si generano sovratensioni che potrebbero pregiudicare la vita dei componenti dell'intero circuito; i diodi D_7 - D_8 - D_9 - D_{10} svolgono una funzione di protezione da queste sovratensioni.

Alcuni tipici oscillogrammi di tensione consentono di rilevare la differenza di comportamento di una normale linea telegrafica quando ad essa una telescrivente venga allacciata direttamente (fig. 5) oppure tramite un relé del tipo di quello descritto (fig. 6).

Le figure 7 e 8 infine riportano gli oscillogrammi degli impulsi di tensione rigenerati e prelevati all'uscita di un relé del tipo di quello in esame quando esso sia caricato in modo puramente resistivo (fig. 7) oppure da una comune telescrivente (fig. 8).

La figura 9 riproduce una fotografia del dispositivo.

3. Conclusioni.

A titolo di conclusione riportiamo, nella tabella che segue, le caratteristiche elettriche e le prestazioni dell'apparecchiatura descritta. Esse sono state verificate sperimentalmente, sia in Laboratorio, sia, per un lungo periodo, nelle normali condizioni di esercizio.

L'esito positivo consiglia l'impiego di questo tipo

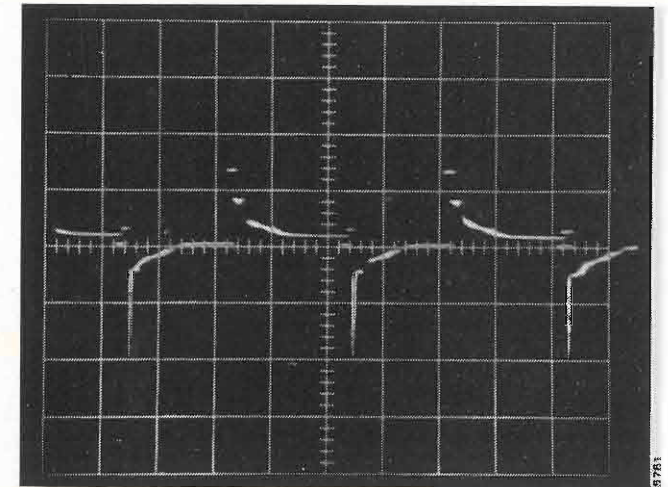


Fig. 8. — Tipo di segnale presente sul relé della telescrivente quando è comandato dal ripetitore tipo 7775. Scale: ascisse 1 quadretto = 10 ms; ordinate 1 quadretto = 50 V.

di relé telegrafico in alternativa al tipo convenzionale di natura elettromagnetica, rispetto al quale presenta, oltre alle caratteristiche di maggiore affidabilità, di vita più lunga, e di prestazioni elettriche superiori, anche quelle di maggiore compattezza e di costo minore.

Caratteristiche elettriche

	Esercizio in corrente semplice	Esercizio in corrente doppia
Lato entrata		
Corrente eccitazione:		
minima		0,5 mA
massima		300 mA
Ampiezza segnale eccitazione:		
minima	2 V _{pp}	4 V _{pp}
massima	60 V _{pp}	120 V _{pp}
Impedenza entrata	300-4000 ohm (vedi fig. 2)	
Lato uscita		
Alimentazione	48-60 V _{cc} (positivo a massa)	
Corrente assorbita (1)	45 mA	
Corrente di cortocircuito	45 mA	
$\eta = I_u / I_{alim}$	vedi figura 3	
Capacità di commutazione	circa 2.000 Baud	
Temperatura di esercizio	-20 + 60° C	
Modo d'impiego:		
entrata	corrente doppia o semplice	
uscita	corrente doppia	
Risposta ai segnali telegrafici	vedi figure 5 ÷ 8	

(1) La corrente di esercizio può essere aumentata (diminuendo il valore della resistenza R_{16} dello schema generale) fino ad un massimo di 150 mA.

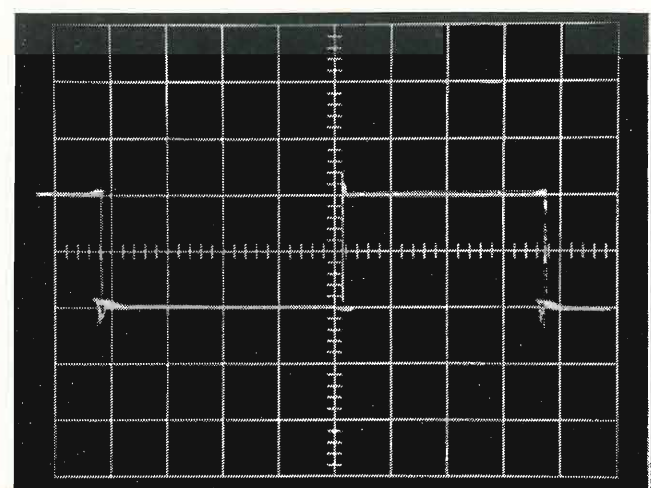


Fig. 7. — Tipo di segnale all'uscita del relé tipo 7775 ottenuto con carico resistivo di 120 ohm. Scale: ascisse 1 quadretto = 5 ms; ordinate 1 quadretto = 5 V.

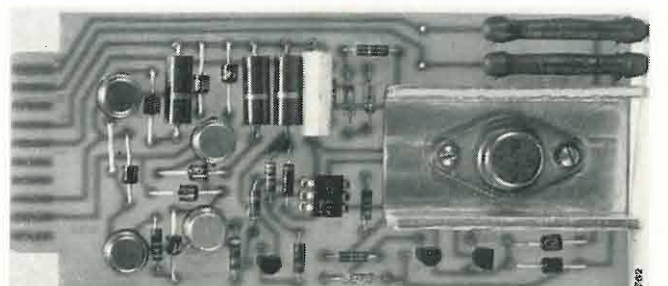


Fig. 9. — Fotografia del relé polarizzato tipo 7775 visto dal lato componenti.

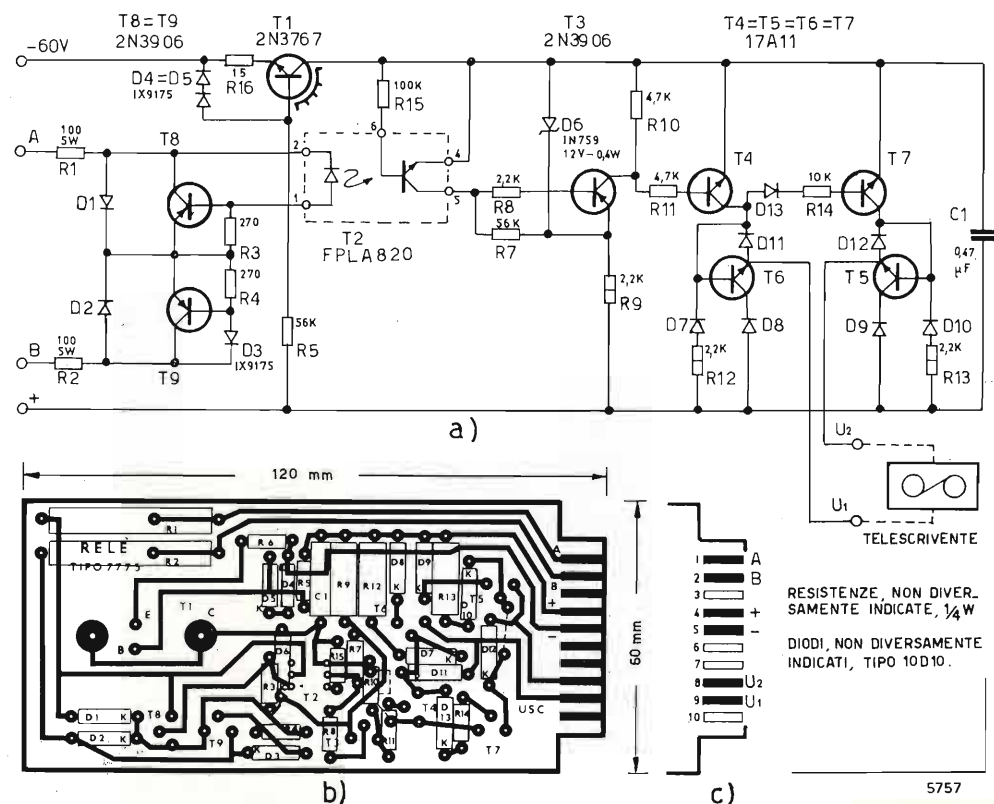


Fig. 4. — a) Schema elettrico del relé polarizzato allo stato solido tipo 7775; b) piastra stampata vista dal lato collegamenti; c) morsetteria.

selenia

INDUSTRIE ELETTRONICHE ASSOCIATE SpA.

Direzione - Progettazione, Studi e Ricerche
00131 Roma, Via Tiburtina Km. 12,400
Stabilimento di Produzione/80070 Fusaro (Napoli)

SISTEMI ELETTRONICI DI BORDO;
SISTEMI DI ALIMENTAZIONE DI BORDO;
SISTEMI DI TELECOMUNICAZIONI VIA SATELLITE;
SISTEMI DI ANTENNE
PER TELECOMUNICAZIONI DI BORDO;
SISTEMI DI CONTROLLO AUTOMATICO A TERRA;
PONTI RADIO A MICROONDE A PICCOLA,
MEDIA E GRANDE CAPACITA';
APPARATI AUSILIARI PER TELECOMUNICAZIONI;
SISTEMI RADAR MULTIPLEX;
SISTEMI DI TRASMISSIONE DI DATI;
APPARATI PER TELESEGNALI,
TELECOMANDI E TELEMISURE;
RIPETITORI TELEVISIVI;
STAZIONI DI TERRA PER COMUNICAZIONI SPAZIALI;
PONTI RADIO MILITARI MOBILI E TRASPORTABILI.



DIVISIONE TELECOMUNICAZIONI E ATTIVITA' SPAZIALI

NOTIZIARIO

MEMORIE ASSOCIATIVE — Le memorie associative che sino ad ora hanno avuto pratica realizzazione in ben pochi casi, possono aprire nuove prospettive a una serie di applicazioni degli elaboratori elettronici le cui memorie sono costituite oggi — si potrebbe dire — da una serie di cassette ciechi. Per trovare un'informazione, occorre sapere il « cassetto » in cui è stata messa, altrimenti occorre aprire tutti i cassettei, uno dopo l'altro, ed esaminarne il contenuto. Con le memorie associative i cassettei diventano trasparenti: basta un'occhiata — se vogliamo continuare il paragone — per scoprire in quale cassetto si trova ciò che viene cercato.

In altre parole nelle memorie associative basta indicare l'argomento che si cerca perché vengano localizzate tutte le sezioni di memoria che contengono le informazioni relative. O, per dirla in termini più rigorosi, la conoscenza parziale dell'informazione permette di localizzare le celle di memoria che contengono tale informazione o di stabilire che tale informazione non è contenuta in nessuna delle celle interrogate; e permette inoltre di conoscere l'intera informazione contenuta in quelle celle di cui si conosceva solo parte del contenuto.

Sono stati proposti in passato vari tipi di memorie associative, da realizzare con diverse tecnologie, ma tutti basati sul principio del confronto fra una serie di bit (quelli della parola da ricercare, detta anche descrittore) e tutte le parole della memoria. Il confronto avrebbe dovuto avvenire in parallelo su tutte le parole e in serie sui bit successivi componenti la parola: procedimento poco veloce se il descrittore non è cortissimo.

I nuovi brevetti, depositati da due ricercatori italiani (F. Filippazzi e N. Minnaja) della Honeywell Information Systems Italia di Pregnana Milanese, propongono invece — in più versioni — una memoria associativa a funziona-

mento ottico, caratterizzata da un'altissima densità di registrazione e da un'altissima contemporaneità (parallelismo) di accesso, ottenuto mediante raggi luminosi. Supponendo di utilizzare come supporto una lastra fotografica su cui le informazioni elementari (i bit) vengano registrate sotto forma di areole, trasparenti od opache a seconda del valore del bit, il dispositivo di interrogazione può essere costituito da una matrice di fotoemettitori che vanno a illuminare ciascuno una regione di bit della memoria (la memoria sarà infatti divisa in regioni comprendenti ciascuna tutti i bit omologhi delle varie celle di cui la memoria si compone). Accendendo i fotoemettitori corrispondenti ai bit che compongono il descrittore e raccogliendo, attraverso un dispositivo ottico del tipo a « occhio di mosca » (v. fig.), i raggi che hanno attraversato la lastra su una matrice di fotorivelatori è possibile stabilire immediatamente in quali celle della memoria si trovi la parola ricercata e ottenere, sempre istantaneamente, l'intero contenuto di tali celle. È da notare che, ad evitare ogni ambiguità, le regioni di bit esplorate dai raggi luminosi sono duplicate e, se nella regione originale sono trasparenti i bit uno e opachi gli zeri, nella regione duplicata sarà vero l'inverso onde la risposta ottenuta combinando gli impulsi contemporaneamente attraversanti le due regioni abbia sempre un significato univoco.

Facendo riferimento alla figura che rappresenta in forma schematica la memoria associativa ottica proposta, la lastra fotografica 1 è divisa in due metà coniugate DI e IN. Ogni bit è registrato in forma diretta sulla metà DI della lastra, in forma inversa nella posizione omologa dell'altra metà IN della lastra.

Nella figura è rappresentata una memoria di sei parole (A, B, C, D, E, F) di dieci bit (a, b, c, d, e, f, g, h, i, l), in cui tutti i bit dello stesso ordine delle varie parole sono raggruppati in regioni di bit, una per ogni metà coni-

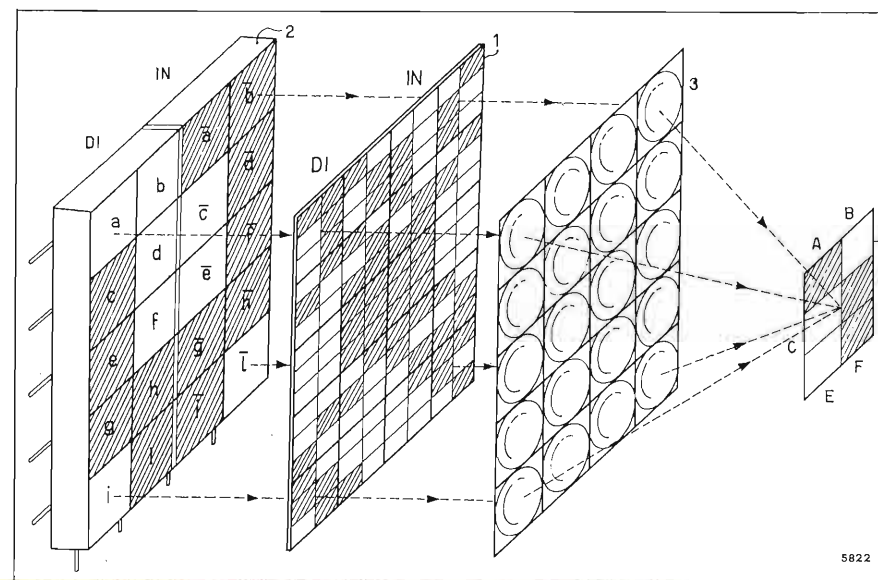
gata. Il dispositivo di interrogazione è costituito da una matrice di fotoemettitori 2 (v. fig.) comandati per coincidenza, anche essa suddivisa in due metà coniugate, i cui fotoemettitori corrispondono ciascuno ad una regione di bit della memoria. Un dispositivo ottico 3, del tipo detto « ad occhio di mosca », sovrappone le immagini di tutte le regioni di bit su una matrice di fotorivelatori 4, rappresentata in figura come un semplice schermo, ad ogni suddivisione del quale corrisponde un fotorivelatore che riceve l'illuminazione proveniente da tutti i bit di una determinata parola. Se per esempio, nella registrazione diretta (metà DI della lastra), l'UNO è rappresentato da un'area opaca, e lo ZERO da un'area trasparente (e il contrario vale per la metà IN), l'interrogazione si fa accendendo i fotoemettitori della metà DI che corrispondono a un UNO nella parola di interrogazione, e quelli della metà IN che corrispondono a uno ZERO. Nel caso di bit indifferenti, non si accende nessuno dei fotoemettitori coniugati. È facile vedere che, se e solo se tutti i bit determinati della parola di interrogazione coincidono con i corrispondenti bit di una parola registrata, il fotorivelatore corrispondente a tale parola non sarà illuminato; il che può essere facilmente rivelato con noti mezzi elettronici.

In una memoria fotografica come quella sommariamente descritta possono ottenersi densità di registrazione dell'ordine di 50 mila bit per cm². Densità ancora superiori possono però essere raggiunte con l'impiego di tecniche olografiche. Per aumentare invece ulteriormente il parallelismo di ricerca, un altro dei brevetti depositati dai ricercatori della Honeywell Information Systems Italia prevede la sovrapposizione di più lastre, intercalate da deviatori elettro-ottici comandati elettronicamente.

Volendo infine passare da memorie a sola lettura (quali sono quelle fotografiche) a memorie ottiche a lettura e scrittura, un altro dispositivo brevettato dai ricercatori di Pregnana propone l'impiego di « bolle magnetiche » (domini magnetici del diametro di 10/20 micron ottenuti su sottili lastre di cristallo di ortoferrite) che possono essere generate, spostate, annullate con mezzi magnetici e rivelate (essendo otticamente attive se illuminate con luce polarizzata) con mezzi ottici.

Le memorie associative (tipico esempio delle quali è la memoria umana), in cui le informazioni vengono trovate per « associazione di idee » — da qui il termine « memoria associativa » — senza che sia nota la posizione delle cellule che le immagazzinano, possono avere vantaggiosissime applicazioni in tutti i problemi di ricerca automatica delle informazioni, e così ad esempio nella documentazione giuridica, nella ricerca bibliografica o brevettuale, nella diagnostica medica, nelle anagrafi dei più vari tipi. Se poi la memoria associativa è del tipo a « lettura-scrittura » ed è corredata da un numero opportuno di unità di calcolo, capaci di effettuare operazioni logiche ed aritmetiche sul contenuto delle posizioni di memoria identificate associativamente, si ha il « calcolatore associativo », che ha una applicazione tipica nel controllo del traffico aereo.

(1648)



FILODIFFUSIONE — A partire dal 18 novembre u.s. i programmi trasmessi in filodiffusione sono stati notevolmente modificati.

Nel passato i programmi esclusivi della filodiffusione (cioè non trasmessi in radiofonia) venivano generati da impianti automatici di riproduzione (magnetofoni) installati presso le varie Sedi della RAI per i rispettivi territori di competenza. Ora, in seguito alla ristrutturazione dei collegamenti in ponte radio, è stato possibile per la RAI, distribuire a tutte le città servite dalla filodiffusione (con esclusione per ora di Cagliari) i programmi con partenza da Roma, i cui impianti sono stati inoltre ampliati per consentire maggiori possibilità di generazione; ora è perciò possibile disporre di programmi che coprono, senza repliche, tutto l'arco delle ore di programmazione quotidiana cioè praticamente dalle ore 8 alle ore 24. Quindi tutte le località servite, che prima erano suddivise in cinque gruppi con programmi scalati di una o più settimane, hanno ora programmi unificati.

Come è noto il segnale della filodiffusione è un segnale multiplo formato da sei frequenze portanti modulate in ampiezza dai segnali audio che costituiscono i programmi da trasmettere. I sei canali hanno ciascuno una larghezza di banda di 30 kHz ed una spaziatura libera tra i canali adiacenti di 3 kHz. Le sei portanti si trovano quindi disposte a 33 kHz una dall'altra e sono allocate tra 178 kHz (1° canale) e 343 kHz (6° canale).

Il segnale della filodiffusione viene inviato per mezzo di ponti radio alle Centrali telefoniche SIP e da queste agli utenti utilizzando la normale rete telefonica. Ciò è possibile installando, sia presso la Centrale telefonica sia presso l'utente, adatti filtri a separazione di banda: sulla parte alta della banda transita il segnale di filodiffusione mentre sulla parte bassa transitano tutti i servizi inerenti alle comunicazioni telefoniche (l'alimentazione in corrente continua e la modulazione telefonica). Si ha così un doppio uso del collegamento fisico tra utente e Centrale telefonica con due utilizzazioni completamente indipendenti in quanto operano su bande di frequenza molto diverse tanto da essere facilmente separabili per evitare qualsiasi disturbo reciproco ed assicurare l'uso contemporaneo.

I programmi trasmessi in filodiffusione sono i seguenti: i primi tre canali corrispondono ai tre programmi trasmessi in radiofonia; il 4° canale trasmette dalle ore 8 alle ore 24 musica operistica, sinfonica e da camera e dalle ore 00,06 alle ore 5,59 il «Notturmo Italiano»; il 5° canale, dalle ore 8 alle ore 24, trasmette musica leggera; il 6° canale viene utilizzato per il segnale ausiliario stereofonico. Sono infatti programmate quotidianamente una trasmissione stereofonica pomeridiana per il 4° canale ed una serale per il 5° canale.

Per queste trasmissioni stereofoniche si provvede a far pervenire separatamente i due segnali A (sinistra) e B (destra) dai magnetofoni in Roma, via ponte radio, come se si trattasse dei segnali di due programmi indipendenti, fino al trasmettitore di filodiffusione (FD) di ogni località servita; in questi

trasmettitori si provvede a codificare (matrici somma/differenza) i due segnali in modo che sul canale principale (4° o 5° a seconda dell'orario) venga trasmesso il segnale composto $M = A + B$ e sul canale ausiliario (6° canale) il segnale composto $S = A - B$. Con questa codificazione si ottiene che gli utenti con impianto monofonico possono ricevere sui canali principali i programmi in forma «compatibile» ($A + B$), mentre gli utenti dotati di impianto stereofonico possono (inserendo il proprio combinatore, sia sul canale principale, sia su quello ausiliario) ottenere i due segnali di sinistra e di destra.

Da quanto precede emerge la necessità di inserire ed escludere sui canali appropriati ad orario preciso e presso ognuno dei trasmettitori FD i codificatori stereofonici. Queste operazioni vengono telecomandate da Roma inviando sul 6° canale i segnali di comando costituiti da una frequenza di 5 kHz codificata ad impulsi. Il complesso di generazione dei programmi, installato a Roma, è costituito da varie apparecchiature: magnetofoni, generatore segnali di prova per la stereofonia, trasmettitore dei telecomandi, orologio elettrico di comando.

I magnetofoni utilizzati per la riproduzione sono, come si vede nella fotografia di copertina, del tipo verticale su telaio. La dimensione delle bobine ed il tipo di nastro magnetico permettono riproduzioni della durata di due ore. L'interconnessione tra i vari magnetofoni dello stesso programma è assicurata sia da comandi forniti dall'orologio sia da comandi inseriti sul terminale del nastro del magnetofono.

Il generatore dei segnali di prova viene inserito, come pure il trasmettitore dei telecomandi, prima dell'inizio delle trasmissioni stereofoniche e contiene gli elementi necessari per la messa a punto degli impianti stereofonici di utenza.

L'orologio elettrico (del tipo a demoltiplicatore di frequenza generata da un quarzo) provvede al comando di tutte le manovre necessarie per le commutazioni, inserzioni, predisposizioni previste per il ciclo delle 16 ore quotidiane di trasmissione. (1663)

PICCOLA ECOSONDA — La Società Van Der Heem Electronics (gruppo Philips) ha dato inizio alla produzione di una nuova versione — denominata BH 103/1 — della sua piccola ecosonda. Essa è stata progettata particolarmente per le piccole profondità (fino a 100 metri); vengono misurate con grande accuratezza in special modo le profondità comprese fra 20 cm e 1 m. La lettura è notevolmente differenziata grazie all'impiego di un tubo a raggi catodici; l'ecosonda non richiede manutenzione e l'installazione è molto semplice in qualsiasi tipo di natante.

Nella nuova versione vengono usati componenti elettronici d'avanguardia, quali i circuiti integrati, e ciò, assieme al fatto di non avere parti meccaniche in movimento, garantisce una elevata affidabilità, una lunga durata, dimensioni ridotte e piccolo assorbimento delle batterie del natante.

L'ecosonda è costituita da un visualizzatore, da un trasduttore e da una cassetta di derivazione.

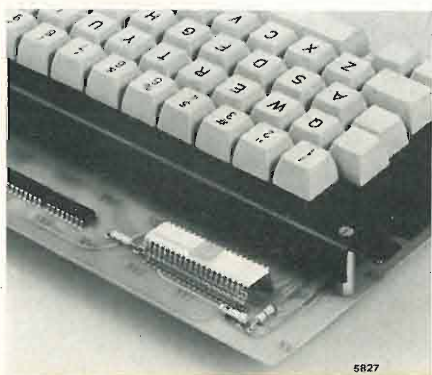
L'unità di visualizzazione, oltre al tubo a raggi catodici con schermo antiriflettente (polaroid), contiene tutti i circuiti elettronici che vengono sintonizzati per mezzo di tre manopole poste sul pannello frontale. Due di queste manopole servono per la regolazione della luminosità e della sensibilità, mentre la terza svolge la funzione di commutatore di portata a quattro posizioni; ciascuna portata ha la durata dell'impulso e la frequenza di ripetizione degli impulsi necessari per una visualizzazione corretta. Il supporto consente di orientare il visualizzatore nella miglior posizione per rendere agevole la lettura. Il trasduttore consiste di un contenitore in ottone nel quale è collocato un elemento idrofonico piezoelettrico; esso è fissato sul fondo dello scafo.

Il trasduttore è collegato al visualizzatore tramite la scatola di derivazione e un cavo lungo normalmente 4, 5 metri ma la lunghezza del cavo può essere aumentata fino a 500 metri senza dover introdurre speciali modifiche.

Sono disponibili trasduttori speciali in grado di sopportare pressioni fino a 100 atmosfere per misure di profondità effettuate da navi per ricerche oceanografiche. (1634)

CODIFICATORE PER TASTIERE — La General Instrument Europe ha presentato un nuovo tipo di codificatore con memoria a sola lettura (ROM) per tastiere di unità periferiche e terminali di calcolatori, denominato AY-5-3600. È un circuito codificatore comprendente una memoria a sola lettura di 3600 bit nonché tutte le logiche necessarie per la codificazione di una tastiera. Le uscite «Any Key Down» e «Data Ready» del circuito sono direttamente compatibili con le logiche TTL, DTL, e MOS. Il dispositivo, realizzato con la tecnologia MTNS, integra su una piastrina monolitica di silicio le funzioni di 5000 transistori a canale P. La codificazione programmabile si realizza attraverso la semplice sostituzione di una maschera in fase di fabbricazione.

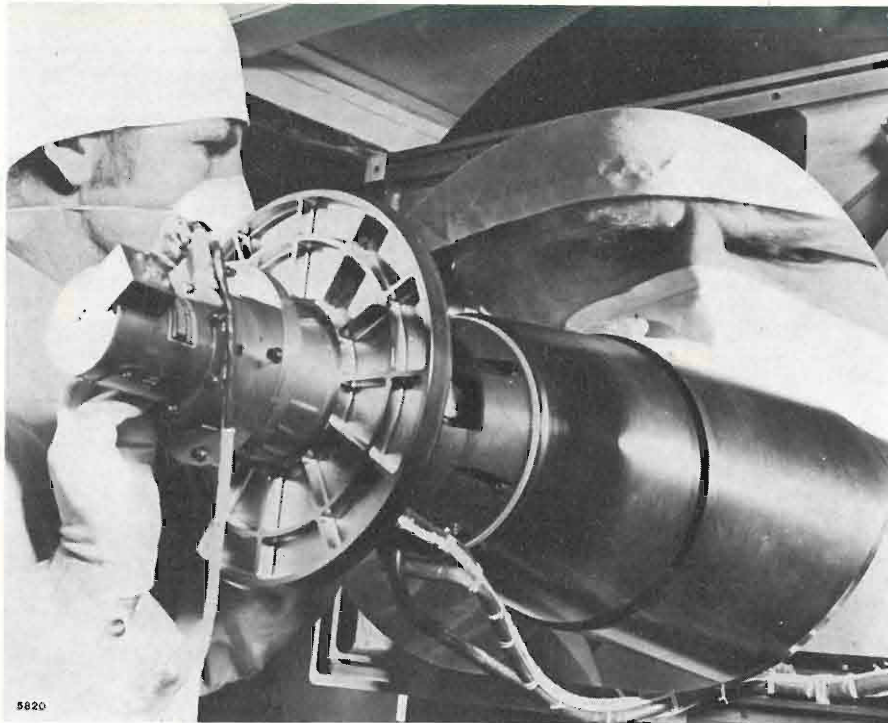
L'AY-5-3600 è disponibile in contenitore «dual in line» a 40 uscite. (1652)



DALLO SPAZIO LA RADIOGRAFIA DELLA TERRA IN POCHI MINUTI — Uno degli strumenti più straordinari messi in orbita attorno alla terra a bordo dello Skylab è un analizzatore multispettrale, chiamato famigliarmente dagli americani: «Skanner».

Questo apparato consiste in un sistema elettronico ed ottico, progettato e costruito dal Centro Radiazioni della Honeywell di Lexington (Massachusetts). Si tratta di un analizzatore multispettrale, dotato di uno specchio di circa 61 cm di diametro e di un telescopio, il più grande finora montato su una navicella spaziale (v. fig.).

Esso misura la luce riflessa visibile ed infrarossa e l'energia termica emessa dalla superficie terrestre. Di queste radiazioni lo Skanner fornisce una registrazione composta, su nastro magnetico, proveniente da vari elementi dell'area analizzata. I dati raccolti verranno portati a terra dagli astronauti per la successiva elaborazione.



SISTEMA ELETTRONICO DI SCRITTURA — Editor S/14 Olivetti (v. fig.) è un sistema elettronico di scrittura volto ad affrontare in modo globale il problema dell'elaborazione dell'informazione scritta, basato sul principio della memorizzazione di un testo dattiloscritto, al quale si può poi accedere in memoria per elaborare il testo stesso, secondo le esigenze, modificandolo, combinandolo con altri testi o riproducendolo. Il sistema è composto da:

- una macchina per scrivere dotata di dispositivo per l'immissione in memoria e la ricezione dalla medesima dei caratteri dattilografici e dei segnali di servizio;
- una unità centrale di governo con memoria a MOS di 1000 caratteri;
- una memoria ad anello di nastro magnetico, contenuta in una car-

Le applicazioni di questa apparecchiatura permettono agli scienziati di esaminare una vasta porzione di superficie terrestre in un breve spazio di tempo: circa 17000 kmq in un minuto. Secondo i calcoli della NASA, l'analisi orbitale dovrebbe dimostrarsi più efficace e meno costosa dell'analisi della stessa zona fatta con tecniche di osservazione da terra con aerei.

Le applicazioni dello Skanner possono andare dalla rivelazione del plancton oceanico al grado di vitalità di un campo di grano, alla individuazione di risorse della terra, alla localizzazione di branchi di animali, alla individuazione degli sciami di insetti che infestano i boschi e le foreste, alla profondità ed al grado di limpidezza di un corso d'acqua. Lo Skanner infatti funziona in base al principio secondo cui tutte le sostanze, siano esse animali, vegetali o minerali, riflettono e emettono energia luminosa. (1646)

Editor S/14 registra i testi (battuti da tastiera) nella prima zona libera della memoria a nastro, che viene ricercata automaticamente, consentendo così una gestione ottimale dello spazio ed evitando, in particolare, il pericolo di sovrapposizioni. Il sistema provvede inoltre a contrassegnare con un codice il testo e, se richiesto, anche ogni riga del testo. Se si effettuano errori di battitura in fase di registrazione, basta ribattere sopra l'errore il carattere corretto.

Questa procedura di registrazione produce un archivio indirizzabile di testi che possono essere richiamati quando occorre. In particolare, per apportare correzioni o modifiche, basta richiamare il codice del testo e delle righe interessate e introdurre da tastiera le correzioni. Queste righe vengono così integrate nel testo, e in memoria si troverà automaticamente registrata la nuova versione. Anche durante queste operazioni è il sistema stesso che provvede a gestire lo spazio nella memoria a nastro.

Editor S/14 stampa i testi memorizzati alla velocità di circa 900 caratteri al minuto eseguendo, mediante appositi comandi, centratura di titoli, marginazione a destra, posizionamento di data e firma. Sempre in fase di stampa il sistema può collegare più testi, e consente all'operatore di effettuare variazioni e introduzioni di dati variabili nel testo, provvedendo, sempre automaticamente, al riassetto della pagina.

Le modalità di impiego del sistema sono assai semplici: l'operatore usa una normale tastiera di macchina per scrivere e una console di soli otto tasti per tutti i comandi di servizio (registrazione, ricerca, stampa, ecc.).

Editor S/14 trova applicazione, oltre che nella normale corrispondenza, dove permette una scrittura molto più veloce e con caratteristiche superiori di presentazione:

- nei lavori lunghi, dove è possibile, in caso di correzioni, intervenire solo sulla parte da modificare, senza ritoccare o ricopiare la parte di testo invariata;
- nei lavori complessi, dove si ha una combinazione di parti di testo ripetute con inserimenti variabili come ad esempio in contratti o polizze di assicurazione;
- nelle circolari personalizzate, dove è possibile memorizzare il testo della lettera e inserire di volta in volta solo l'indirizzo. (1649)

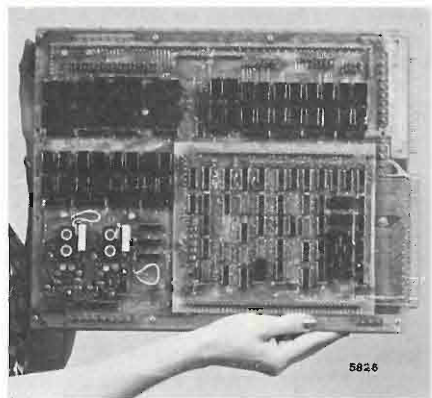


MEMORIE A NUCLEI DI FERRITE — Nuove serie di memorie a nuclei di ferrite da 18 mil, in configurazione a tre conduttori, 3-D, assiemati ad alta densità (stretta spina di pesce) in combinazione con la tecnologia elettronica più avanzata ad alta affidabilità, sono state recentemente lanciate dalla Ampex (rappr. Ampex Italiana S.p.A. Roma).

La serie 9100 ha tempi di accesso inferiori a 400 nanosecondi e si presenta con modelli da 1024, 2048 e 4096 parole da 9 bit e con modelli da 1024 e 2048 parole fino a 18 bit ciascuna.

La serie 4000 ha un ciclo inferiore a 900 nanosecondi e un formato di parole da 40 bit con capacità fino a 16384 parole. È la più grande delle tre serie qui citate e le sue dimensioni in pollici sono 11,6 x 15 (v. fig.).

La serie 2065 usa parole da 20 bit e può essere espansa da 8192 parole a 65536 od anche a 32768 parole da 40 bit ciascuna. Il modello da 8192 parole con capacità di immagazzinare 16384 impulsi, misura 8" x 10" x 2,2". (1650)



LASER PER OSSERVAZIONI SPAZIALI DA STAZIONI TERRESTRI — L'Istituto di Geodesia Applicata (IFAG) di Francoforte, nel quadro di un programma internazionale di ricerche, ha messo in funzione nella Selva Bavarese, al confine con la Cecoslovacchia, una stazione di osservazione spaziale per determinare con esattezza centimetrica l'orbita dei satelliti artificiali mediante un telemetro a laser. Queste misure permetteranno, nel corso del tempo, conoscenze più precise circa la variazione del campo gravitazionale terrestre, gli spostamenti delle calotte polari e le presumibili derive dei continenti.

La parte più importante della stazione di osservazione terrestre sorta in Baviera è costituita da un laser Siemens ad impulsi giganti della potenza di oltre 100 MW. Tale potenza, generata dal laser a rubino, non costituisce tuttavia alcun pericolo per gli aerei che potrebbero attraversare la sua traiettoria, giacché l'impulso ha ogni volta una durata di appena 20/50 nanosecondi. Sul satellite è montato un cosiddetto «specchio tripel» che riflette alla stazione di terra il raggio laser. Con un orologio atomico si può misurare la distanza tra il satellite e la stazione, nel momento in cui si esegue la misura, basandosi sul tempo che l'impulso laser impiega per fare il suo percorso di andata e ritorno

nello spazio. Inoltre, per localizzare con precisione il satellite nello spazio, è necessario fotografare contemporaneamente la posizione del satellite rispetto alle costellazioni, tenendo conto del tempo siderale. Solo sommando le informazioni relative alla durata dell'impulso, al tempo terrestre ed al tempo siderale, si arriva a determinare con precisione la posizione del satellite nel momento della misura.

Se le condizioni sono favorevoli, ossia di notte ed in assenza di nuvole, il telemetro a laser può «sparare» da 70 ad 80 «colpi di luce» ad ogni passaggio del satellite. I dati di misura ricavati vengono prima elaborati, quindi completati con i parametri rilevati dal piano di volo settimanale del satellite e da ultimo inviati ad un centro di calcolo. L'enorme quantità di dati di misura dovrebbe consentire, nel corso degli anni, rilevamenti sul campo gravitazionale della terra, dal momento che eventuali deviazioni dei satelliti dalle orbite prestabilite sono da attribuire a variazioni del campo gravitazionale terrestre. Questi dati dovrebbero servire inoltre a chiarire maggiormente anche la deriva dei continenti e lo spostamento dei poli.

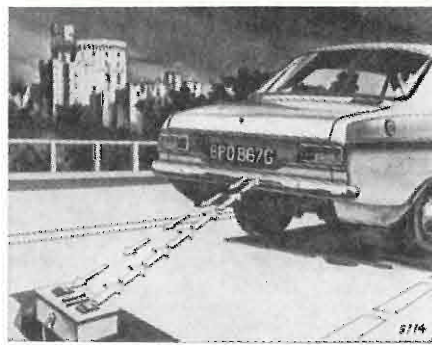
Per poter localizzare i satelliti, che percorrono la loro orbita ad una altezza compresa tra 600 e 2.000 km, il dispositivo laser è stato montato sul supporto di un vecchio pezzo di artiglieria regolabile su due assi.

Oltre ai dispositivi impiegati per ricevere e trasmettere i raggi laser — la cui parte ottica è costituita da telescopi Cassegrain — per localizzare il satellite esiste anche un dispositivo di puntamento. Nel quadro di un ampliamento della stazione terrestre è prevista la trasmissione della radioimmagine su un cinescopio mediante telecamera.

È possibile che in un prossimo futuro il telemetro a laser, con l'ausilio di un calcolatore di processo, possa seguire automaticamente la traiettoria del satellite. L'impianto dell'IFAG è stato realizzato dall'Istituto di ricerche sperimentali dell'Aeronautica e Cosmonautica della Germania Federale. (1632)

CONTROLLO DEL TRAFFICO CON IL RADAR "OCCHIO DI GATTO" — La quantità dei veicoli che transita per unità di tempo in certi punti strategicamente scelti lungo arterie di grande traffico, e la loro velocità, costituiscono i dati più importanti sui quali si basa il controllo del traffico. In condizioni di alte densità di traffico, per esempio sulle autostrade, la percezione umana è insufficiente per effettuare un buon conteggio. Mediante installazioni radar convenzionali, i dati ottenuti possono portare ad una interpretazione errata se, per esempio sulle strade a più corsie, appare più di un veicolo «nel fascio» del radar.

Il rivelatore di piccole dimensioni, progettato dai laboratori di ricerca Mullard (gruppo Philips), può essere incorporato nel manto stradale, nel mezzo di ciascuna corsia (vedere l'illustrazione). Il dispositivo è montato in una piccola cassetta metallica (15 x 20 x 10 cm), la cui superficie superiore è allo stesso livello della superficie stradale. In tal modo i dati del traffico



di ciascuna corsia vengono registrati separatamente.

Il rivelatore a forma di cassetta contiene due coppie di antenne. Entrambe servono rispettivamente per la trasmissione e la ricezione dei segnali. Una coppia viene usata per stabilire, mediante segnali diretti verticalmente, la presenza del veicolo in transito. Non appena il veicolo è transitato, entra in azione la seconda coppia di antenne. Per mezzo di raggi diretti in modo da sfiorare la superficie stradale, viene misurata, praticamente nello stesso istante, la velocità di questo veicolo mediante l'effetto Doppler (differenza di frequenza fra segnale emesso e segnale riflesso). Il veicolo deve percorrere solamente mezzo metro circa perché la velocità venga determinata entro il 5%.

Nel prototipo con il quale sono stati effettuati i collaudi sono stati impiegati un generatore a microonde allo stato solido e componenti miniaturizzati adatti per la produzione di serie. In un sistema completo per il controllo del traffico i dati ricavati da tale radar «occhio di gatto», installato in punti strategici, verrebbero inviati ad un elaboratore centrale che analizzerebbe la situazione globale del traffico sulle autostrade e nelle città e comanderebbe, di conseguenza, i semafori, ecc. (1633)

GENERATORE DI TONO PER ORGANI ELETTRONICI — La General Instrument Europe ha annunciato la commercializzazione di un nuovo circuito MOS per organi elettronici studiato e realizzato presso il proprio Centro di Progettazione MOS di Giugliano (Napoli). Il nuovo dispositivo denominato AY-1-0212 è un generatore numerico di tono in grado di produrre da una sola frequenza di entrata, un'intera ottava di 12 frequenze su 12 terminali separati di uscita.

L'AY-1-0212 è costituito da 12 circuiti in grado di dividere la frequenza di entrata in modo da produrre una scala cromatica di 12 note. Usato in connessione con un oscillatore e con divisori di frequenza, può essere impiegato per realizzare un sistema in grado di generare tutte le frequenze richieste da un sintetizzatore elettronico di musica. Il dispositivo è disponibile in contenitore plastico «dual in line» a 16 uscite, con una gamma di frequenza da 100 Hz a 2,5 MHz.

Il circuito è protetto in entrata da diodi zener e presenta una bassa impedenza d'uscita. (1655)

RADDRIZZATORI ALTA TENSIONE PER TV — Una nuova serie di raddrizzatori al silicio, particolarmente studiati per l'alimentazione ad alta tensione nei televisori bianco e nero e a colori, è prodotta dalla General Instrument Europe a Giugliano (Napoli). I raddrizzatori di questa nuova serie, denominata GR, sono di piccole dimensioni, incapsulati in resina epossidica, offrono alta affidabilità e presentano una tensione inversa ripetitiva di picco di 14 kV.

La serie GR è stata studiata per facilitare il montaggio in serie dei raddrizzatori ad alta tensione in diverse applicazioni TV (triplicatori, raddrizzatori THT, raddrizzatori per circuiti di focalizzazione ed è utilizzata per la costruzione dei 5 tipi di triplicatori per televisori a colori, attualmente disponibili presso la General Instrument (v. fig.). Ciascuno dei 5 tipi di triplicatore è realizzato in 2 versioni per rispondere alle diverse esigenze degli stadi di uscita a transistori, tiristori o circuiti ibridi.

Una versione del triplicatore è costruita con 5 condensatori e 5 diodi GR, mentre la seconda contiene un sesto diodo con una connessione esterna in opzione. Le caratteristiche tipiche di funzionamento di tali triplicatori sono: tensione di picco in entrata: 8,3 kV; tensione di uscita: 25 kV; corrente di uscita: 1,2 mA; tensione di focalizzazione: 8,3 kV; corrente di focalizzazione: 0,15 mA; temperatura: 40° C; frequenza: 15,75 kHz; impedenza a 25 kV: 1,2 Mohm. (1645)



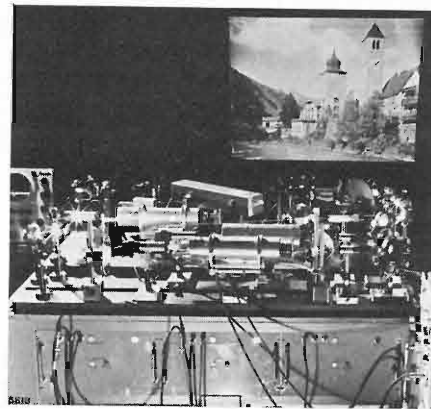
TELEVISIONE A COLORI SU GRANDE SCHERMO — Si è già data notizia dell'apparecchiatura realizzata dalla Hitachi che consente di ottenere immagini televisive a colori su grande schermo utilizzando come sorgente luminosa tre fasci di luce laser (v. «Elettronica e Telecomunicazioni», XVIII, n. 6, 1969, p. 213).

Ora quella apparecchiatura, presentata alla Esposizione Mondiale di Osaka del 1970, è stata ulteriormente perfezionata, soprattutto allo scopo di ottenere un'immagine più nitida. Infatti le righe di scansione sono ora 1125 anziché 525 e la focalizzazione dei fasci la-

ser (quello rosso a gas cripton, quelli verde e blu ambedue ad argon) è stata migliorata.

Sono stati inoltre perfezionati le caratteristiche degli amplificatori a larga banda, compensate le irregolarità del «raster». Un supporto magnetico di nuova concezione dello specchio poligonale rotante a grande velocità per la scansione orizzontale ha reso possibile una notevole riduzione delle vibrazioni.

Le caratteristiche dell'apparecchiatura (v. fig.) sono le seguenti: dimensioni dello schermo 1 ÷ 3 m²; luminosità 100 lumen; numero delle righe di scansione 1125; risoluzione orizzontale 800 righe TV; risoluzione verticale 700 righe TV; contrasto 30 : 1. Laser: rosso (cripton) λ = 647,1 nm; potenza di uscita 2 W; verde (argon) λ = 514,5 nm, potenza 0,7 W; blu (argon) λ = 476,5 nm; potenza 0,9 W. Scansione orizzontale; specchio poligonale a 25 faccie, ruotante a 81000 giri al minuto; scansione verticale; specchio di un galvanometro a vibrazione; modulatore a cella elettrolitica larghezza di banda video circa 30 MHz. (1644)



FILTRO PASSA BASSO NON LINEARE

Il filtro passa basso non lineare attuato mediante il modulo illustrato in figura 1 attenua le frequenze sopra le frequenze di taglio senza introdurre ritardi di fase né sopra né sotto tale frequenza. Perciò esso risulta notevolmente più efficace di un filtro lineare nella eliminazione dei disturbi impulsivi. Poiché tale filtro non introduce distorsione dovuta a ritardi di fase esso risulta utile nei circuiti ove i segnali non sono sinusoidali come nei sistemi di comunicazioni numerici, in spettroscopia, ove si manifestano picchi di commutazione (campionatori, codificatori, ecc.).

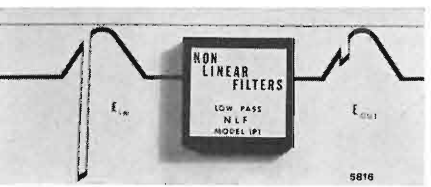


Fig. 1.

Il modulo illustrato in figura 1 (prodotto dalla «Non linear filters» di Trumbull CT.) va montato su una piastra stampata (eventualmente fornita dalla stessa ditta) secondo il circuito di figura 2. La frequenza di taglio f_c è regola-

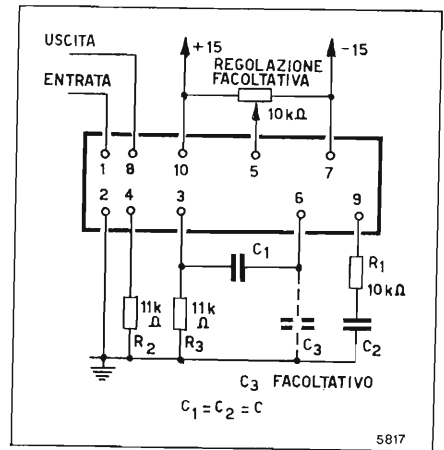


Fig. 2.

bile varando le due capacità $C_1 = C_2 = C$ (uguali con tolleranza non superiore a $\pm 10\%$, meglio $\pm 5\%$) ed è data da: $f_c(\text{Hz}) = 1,7/C(\mu\text{F})$. (1642)

INTRODUZIONE DI 1 SECONDO NELLA SCALA TUC (IEN) — Si informa che il Bureau International de l'Heure ha comunicato che alla fine del mese di dicembre 1973 la scala TUC verrà ritardata di un secondo; pertanto la sequenza delle date dei secondi della scala di tempo TUC (IEN) sarà la seguente:

31 dicembre 1973, 23h59m59s

31 dicembre 1973, 23h59m60s

1° gennaio 1974, 00h00m00s

In pari data verrà di conseguenza modificato il codice DTU1 che fornisce una approssimazione della differenza TU1-TUC e che viene emesso dal trasmettitore campione IBF dell'Istituto Elettrotecnico Nazionale. (1661)

SCARTI DEI SEGNALI DI TEMPO DELL'ISTITUTO ELETTROTECNICO NAZIONALE (IEN)

(V. n. 5, 1973, pag. 199)

LUGLIO 1973			AGOSTO 1973		
a	b	c	a	b	c
1		-224,6	5	+5,3	-141,7
6	+5,2	-213,1	10		-129,4
11		-201,6	15	+5,1	-116,9
16	+5,1	-190,1	20		-104,2
21		-178,3	25	+5,0	-91,3
26	+5,1	-166,4	30		-78,4
31		-154,1			

a) Giorni del mese; b) Scarti di tempo TUC (IEN) - TUC (BIH) in μs . c) Scarti di tempo TUC (IEN) - TU1 (BIH) in ms. (1662)

LIBRI E PUBBLICAZIONI

SCHAIM U. H., CROSS J. B., DODGE J. H., WALTER J. A.: **Fisica** « Zanichelli » Bologna, 1973.

Vol. 1°: VIII + 207 + 32 pagine formato cm 19 x cm 27, con 266 figure.

Prezzo lire italiane 2.200

Vol. 2°: VIII + da pag. 208 a pag. 576 + 36, formato cm 19 x cm 27, con 349 figure.

Prezzo lire italiane 4.000

La suddivisione in due volumi (1° e 2°), con la numerazione delle pagine che continua nel volume 2°, è puramente formale e destinata ai corsi biennali. L'opera è pubblicata anche suddivisa in tre volumi (A, B, C) per i corsi triennali.

Negli Stati Uniti (anno 1956) un numeroso gruppo di insigni fisici, di educatori, di docenti universitari e medi costituiti un comitato denominato P.S.S.C. (Physical Science Study Committee). Lo scopo del programma che si proponeva il comitato era duplice. In primo luogo dare una buona base per i corsi universitari ai futuri specialisti, in secondo luogo favorire una cultura scientifica adatta alla vita moderna anche a persone destinate ad altre discipline.

Il testo in oggetto è stato redatto di conseguenza con tali finalità. Inoltre si può dire che esso sia concepito in vista di dare la possibilità, agli insegnanti e agli allievi, di « fare » un po' di fisica, di organizzare cioè una serie completa e articolata di esperimenti. Si ottiene così l'eccellente risultato di educare e di formare la mente dei giovani in modo che essi sappiano apprezzare i metodi seguiti dalla fisica.

Globalmente, circa il contenuto del testo, si può dire che esso rappresenta un notevole sforzo per dare una rappresentazione unitaria e coerente delle nostre conoscenze di fisica moderna. Fin dall'inizio vengono preparate le premesse necessarie alla comprensione degli ultimi tre capitoli: « I fotoni », « Atomi e spettri », « Onde materiali ». Per ottenere questo risultato è stato necessario stabilire su solide basi la cinematica delle onde, la meccanica newtoniana, particolarmente i concetti di quantità di moto e di energia, ed infine le idee essenziali relative all'elettricità e al magnetismo.

Ne è risultata una presentazione, dell'intera disciplina, non convenzionale ma certamente assai più efficace dal punto di vista didattico. Al termine di ogni capitolo vi sono sempre due paragrafi con i titoli: « Lavori per casa, scuola e laboratorio » e « Suggestioni per ulterio-

riori letture ». Mentre il secondo paragrafo è in sostanza una piccola bibliografia commentata, il contenuto del primo è assai più interessante. In esso sono contenuti molti quesiti e sono proposti semplici esperimenti di laboratorio (con numerosi suggerimenti). Spesso gli esperimenti conducono al tracciamento di un grafico dal quale si deduce una legge. Si tenta cioè di infondere nel lettore un certo stile di lavoro che è proprio del fisico. L'idea alla base di ogni esperimento è ampiamente discussa ma al tempo stesso il lettore è stimolato a fare quanto più può da solo. In breve si cerca di insegnare a studiare con profitto.

Al termine di ciascuno dei due volumi vi sono alcune appendici riguardanti risposte a problemi posti nei capitoli, tabelle e tavole di utile consultazione.

Ecco l'elenco dei capitoli:

Vol. 1°: Cap. 1°: Come si comporta la luce (p. 1); Cap. 2°: Riflessioni e immagini (p. 21); Cap. 3°: Rifrazione (p. 40); Cap. 4°: Il modello corpuscolare della luce (p. 69); Cap. 5°: Introduzione alle onde (p. 84); Cap. 6°: Onde e luce (p. 100); Cap. 7°: Interferenza (p. 119); Cap. 8°: Onde luminose (p. 136); Cap. 9°: Moto lungo una traiettoria rettilinea (p. 161); Cap. 10°: I vettori (p. 187). Appendici 1, 2, 3, 4, 5, 6. Indice analitico.

Vol. 2°: Cap. 11°: La legge del moto di Newton (p. 208); Cap. 12°: Il moto sulla superficie terrestre (p. 228); Cap. 13°: La gravitazione universale e il sistema solare (p. 256); Cap. 14°: Quantità di moto e conservazione della quantità di moto (p. 281); Cap. 15°: Energia cinetica (p. 303); Cap. 16°: Energia potenziale (p. 319); Cap. 17°: Calore, moto molecolare e conservazione dell'energia (p. 343); Cap. 18: Esame qualitativo di alcuni fenomeni elettrici (p. 369); Cap. 19°: La legge di Coulomb e la carica elettrica elementare (p. 388); Cap. 20°: Energia e moto delle cariche in presenza di campi elettrici (p. 413); Cap. 21°: Circuiti elettrici (p. 431); Cap. 22°: Il campo magnetico (p. 449); Cap. 23°: Induzione elettromagnetica e onde elettromagnetiche (p. 479); Cap. 24°: L'atomo di Rutherford (p. 508); Cap. 25°: I fotoni (p. 524); Cap. 26°: Atomi e spettri (p. 543); Cap. 27°: Onde materiali (p. 560). Appendici. V.B. (1640)

KIVER M. S., KAUFMAN M.: **Television simplified.** « Van Nostrand Reinhold Co. » New York, 1973.

Un volume di XVI + 618 pagine, formato cm 21,5 x cm 24 con 567 figure e varie tavole nel testo. Rilegato. V.B. (1659)

Si tratta un volume, oggi alla settima edizione, decisamente riuscito bene al suo livello. La trattazione è esplicativa, basata largamente su considerazioni intuitive, dotata di abbondanti descrizioni, in stile piano, e di commento degli schemi con relative forme di onda.

Il contenuto del testo è, in modo predominante, relativo al ricevitore TV in bianco-nero e a colori (tranne i quattro capitoli iniziali su argomenti generali TV e sistemi di antenne).

Le parti nuove del testo, rispetto alle edizioni precedenti, riguardano l'apporto delle nuove tecniche dei semiconduttori e dei circuiti integrati. Sono bene poste in evidenza, oltre ai ben noti generali vantaggi dei circuiti con componenti a stato solido, le autentiche innovazioni circuitali che si sono rese possibili nel senso della migliorata qualità della prestazione unita alla maggiore flessibilità di impiego pratico. Ad esempio il gruppo radio-frequenza del televisore realizzato con il diodo varactor che consente la sintonia su ogni canale VHF o UHF con semplice comando a pulsante. Particolarmente esaurienti sono le parti relative all'allineamento e alla riparazione del televisore.

Il testo è rivolto ai tecnici che desiderano arricchire le loro conoscenze ed aggiornare la loro preparazione professionale; esso è anche utile per studenti e progettisti che, a livello di primo approccio, desiderino affrontare i problemi inerenti ai circuiti dei televisori.

Ecco l'elenco dei capitoli:

Cap. 1°: Concetti fondamentali di televisione (p. 1); Cap. 2°: Fondamenti sulla scansione, sulla sincronizzazione e sul segnale video (p. 18); Cap. 3°: Telecomunicazioni TV (p. 30); Cap. 4°: Propagazione delle onde TV e sistemi di antenne (p. 49); Cap. 5°: Circuiti a larga banda ed amplificatori RF (p. 79); Cap. 6°: Gruppi RF dei televisori (p. 104); Cap. 7°: Sintonia automatica fine e controllo a distanza (p. 136); Cap. 8°: Amplificatori a media frequenza dei televisori (p. 156); Cap. 9°: Rivelatori video (p. 183); Cap. 10°: Circuiti per il controllo automatico della sensibilità (p. 192); Cap. 11°: Amplificatori video (p. 211); Cap. 12°: Progetto degli amplificatori video (p. 228); Cap. 13°: Restituzione della componente continua (p. 259); Cap. 14°: Cinescopi (p. 272); Cap. 15°: Alimentatori (p. 299); Cap. 16°: Circuiti base per la sincronizzazione (p. 310); Cap. 17°: Oscillatori per la deflessione e controllo automatico (p. 330); Cap. 18°: Circuiti per la deflessione orizzontale e per l'alta tensione (p. 381); Cap. 19°: Circuiti per la deflessione verticale (p. 422); Cap. 20°: Circuiti per il segnale audio (p. 447); Cap. 21°: Principi di TV a colori (p. 474); Cap. 22°: Circuiti per il ricevitore TV a colori (p. 493); Cap. 23°: Ricevitori tipici bianco-nero e a colori (p. 528); Cap. 24°: Ricerca dei guasti nei ricevitori per televisione (p. 573). Indice alfabetico (p. 613). V.B. (1659)

SM

ELETRONICA PER TELECOMUNICAZIONI

Terminali ricetrasmittenti per ponti radio completamente allo stato solido a piccola e media capacità

RT 450/3-B1 terminale ricetrasmittente con multiplex telefonico a 6 canali

SA6/C pannello contenente 2 canali del multiplex

SIAE MICROELETRONICA

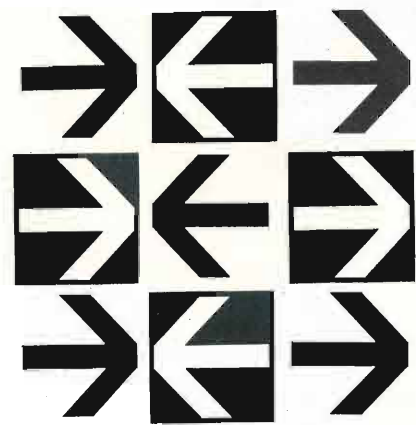
20093 COLOGNO MONZESE - VIA M. BUONARROTI 21 - TEL. 9123264/5 - 9123801

- RIPETITORI TELEVISIVI VHF E UHF
- TERMINALI RICETRASMITTENTI PER PONTI RADIO MONOCANALI E PLURICANALI
- MULTIPLEX TELEFONICI PER PONTE RADIO, LINEE AEREE E CAVI
- APPARATI PER TELEFONIA AD ONDE CONVOGLIATE E RELATIVI EQUIPAGGIAMENTI DI LINEA
- RADIOTELEFONI VEICOLARI E PORTATILI
- STRUMENTI SPECIALI PER TELECOMUNICAZIONI

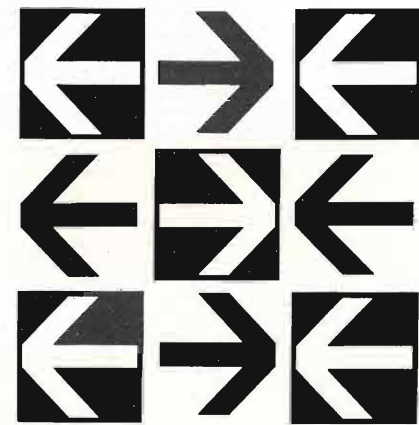
SIP Società Italiana per l'Esercizio Telefonico p.a.



le reti di telecomunicazioni per la elaborazione elettronica a distanza



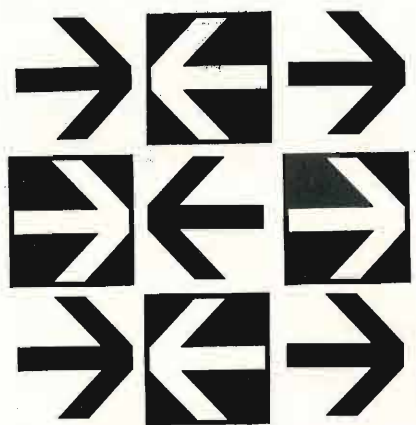
**SER
VI
ZIO
TRAS
MIS
SIONE
DATI**



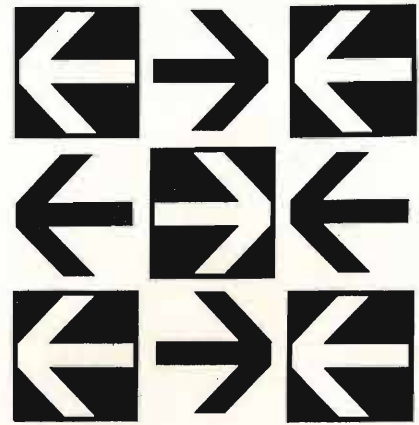
■ Scambio di informazioni a distanza ad alta velocità tra elaboratori e terminali per dati

■ Configurazione dei collegamenti secondo le diverse esigenze elaborative dell'utenza

■ Elaboratori di grande potenza raggiungibili ovunque istantaneamente da più utilizzatori



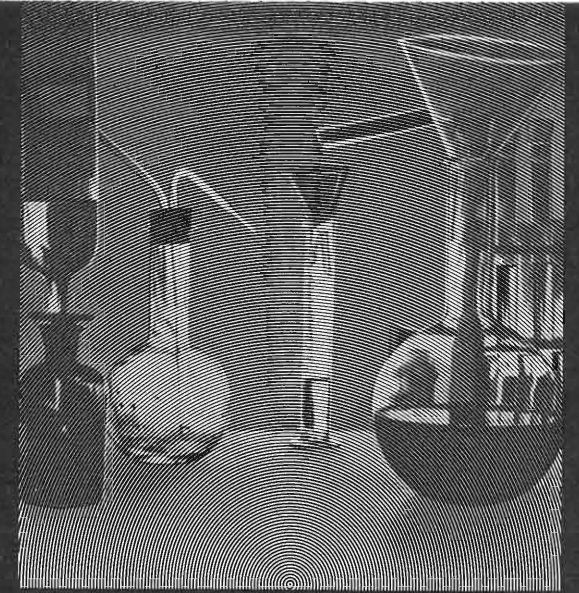
**SER
VI
ZIO
TRAS
MIS
SIONE
DATI**



le sedi della SIP sono a disposizione dell'utenza per
informazioni preventivi progetti



**SOCIETA' ITALIANA
TELECOMUNICAZIONI SIEMENS s.p.a.**
20149 Milano - p.le Zavattari, 12 - tel. (02) 4388.1

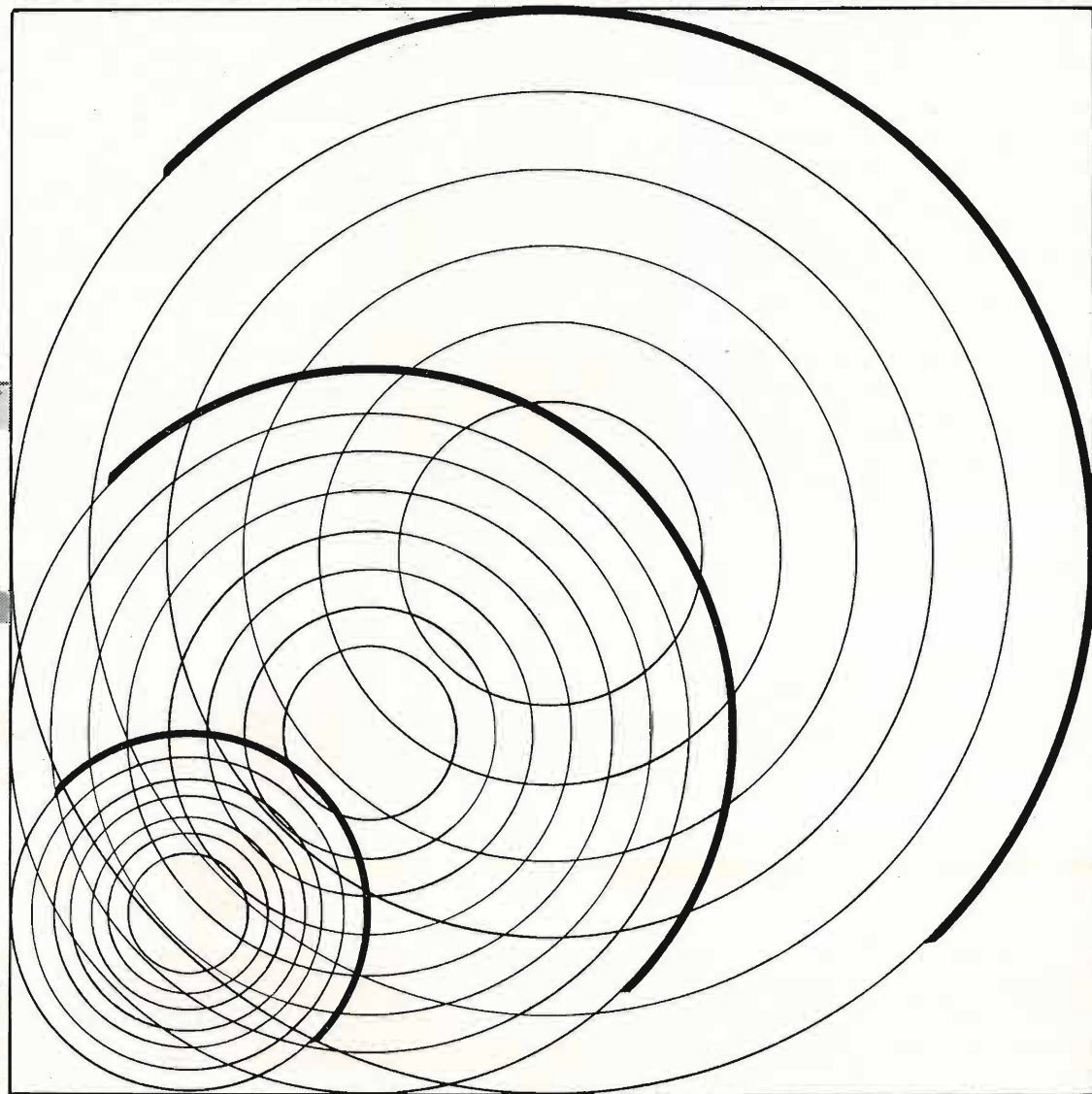


la chimica del suono

Nel silenzio dei nostri laboratori si sviluppa una nuova scienza: la chimica del suono. Un' avanzata tecnica elettronica e una profonda conoscenza del mondo dei suoni ci hanno consentito la realizzazione di tavoli di regia audio in grado di plasmare i suoni così come la chimica fa con le molecole.



Per enti radiotelevisivi quali RAI, RTB, RTE, HNBTI e per numerosi studi di registrazione e case discografiche di tutto il mondo abbiamo progettato e costruito tavoli di regia e telai di commutazione audio. La soddisfazione manifestata dai nostri clienti è una concreta testimonianza dell'elevata qualità dei nostri prodotti.



SISTEMI PER PONTI RADIO UHF (400-900 MHz) e SHF (2-4-6-7-8-11-13 GHz) ALLO STATO SOLIDO PER COMUNICAZIONI TELEFONICHE (DA 6 A 2700 CANALI) E TELEVISIVE. APPARATI VHF MONOCANALI PER COLLEGAMENTI FISSI E MOBILI. APPARECCHIATURE MULTIPLEX FDM (FINO A 10800 CANALI) e PCM. SISTEMI PER TRASMISSIONE DI DATI. AMPLIFICATORI PARAMETRICI. APPARECCHIATURE PER TELECOMUNICAZIONI A MEZZO DI SATELLITI ARTIFICIALI. STRUMENTI DI MISURA SPECIALI PER TELECOMUNICAZIONI.

3 RICETRASMETTITORI CTR144

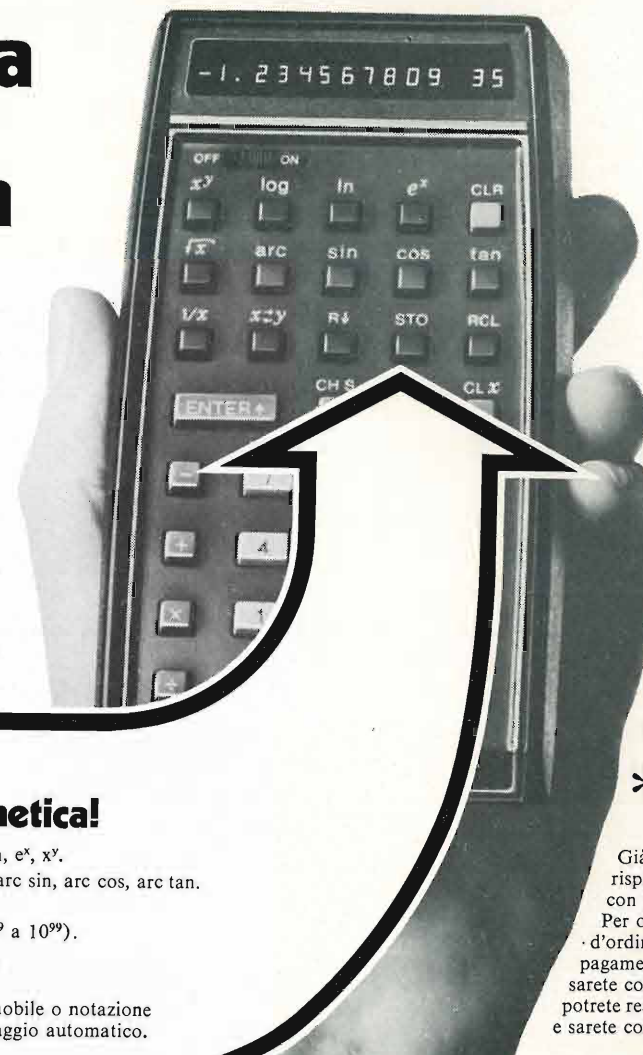
Superate il muro dell'aritmetica!

Con tutta questa potenza in più!

Logaritmi, funzioni trigonometriche, radici, esponenziali e altre funzioni complesse. L'HP-35 mastica ben più che semplice aritmetica. Che siate un ingegnere o uno scienziato, un accademico, uno statistico o un topografo, l'HP-35 è il calcolatore che avete sempre sognato. Guardate un po' cosa sa fare.

***Molto di più che semplice aritmetica!**

Funzioni esponenziali e logaritmi: log, ln, e^x, x^y.
 Funzioni trigonometriche: sin, cos, tan, arc sin, arc cos, arc tan.
 Altre funzioni: 1/x, √x, π.
 Campo dinamico: 200 decadi (da 10⁻⁹⁹ a 10⁹⁹).
 Velocità di calcolo: 60-500 millisecondi.
 Precisione: alla decima cifra.
 Punto decimale: risultati in virgola mobile o notazione scientifica, con passaggio automatico.



***Ha la potenza di 30.000 transistors.**

L'HP-35 è il risultato dell'esperienza tecnica dei laboratori centrali Hewlett-Packard, in California. E la Hewlett-Packard è la maggiore produttrice di apparecchiature elettroniche di precisione - con più di 2000 strumenti, compresi computers e calcolatori programmabili.

***Completo: pronto all'uso.**

L'HP-35 costa L.200.000 + IVA 12%, completo di ricaricatore e batteria al nickel-cadmio, manuale per l'uso e custodia in pelle. Ed è garantito per un anno intero.

***10 giorni in prova, con sconto del 5%.**

Già più di 50.000 utenti soddisfatti risparmiano tempo, noie e denaro, con questa piccola meraviglia. Per ordinarlo, ritagliate il modulo d'ordine e scegliete le modalità di pagamento che preferite. Se non ne sarete completamente soddisfatti potrete restituire entro 10 giorni l'HP-35, e sarete completamente rimborsati.

***Funziona dovunque e quando volete.**

Funziona sia a batteria che collegato alla presa di corrente. L'indicatore numerico ha le cifre formate da matrici di diodi luminosi allo stato solido: dieci per il risultato, due per l'esponente, una per il segno e un'altra per il punto decimale.

***Basta annotazioni!**

Risultati intermedi e costanti vengono richiamati automaticamente. L'HP-35 ha 5 registri-dati.

Modulo d'ordine Alla Hewlett-Packard Italiana S.p.A.
 Via A. Vespucci, 2 - 20124 Milano - Tel. 6251.

Speditemi con pacco raccomandato l'HP-35 completo di accessori, per lire 200.000 + IVA 12% (le spese di spedizione sono a vostro carico). Se non ne sarò completamente soddisfatto vi riinvierò l'HP-35, con tutti gli accessori, entro 10 giorni; e sarò in questo caso interamente rimborsato.

Preferisco il seguente tipo di pagamento:

Addebitate L.200.000 + IVA 12% alla mia Società: un buono d'ordine ufficiale è qui accluso. Accludo a questo modulo d'ordine un assegno di L.213.000, (IVA compresa) usufruendo così dello sconto del 5% per pagamento all'ordine.

Nome..... Incarico.....

Ditta.....

Indirizzo.....

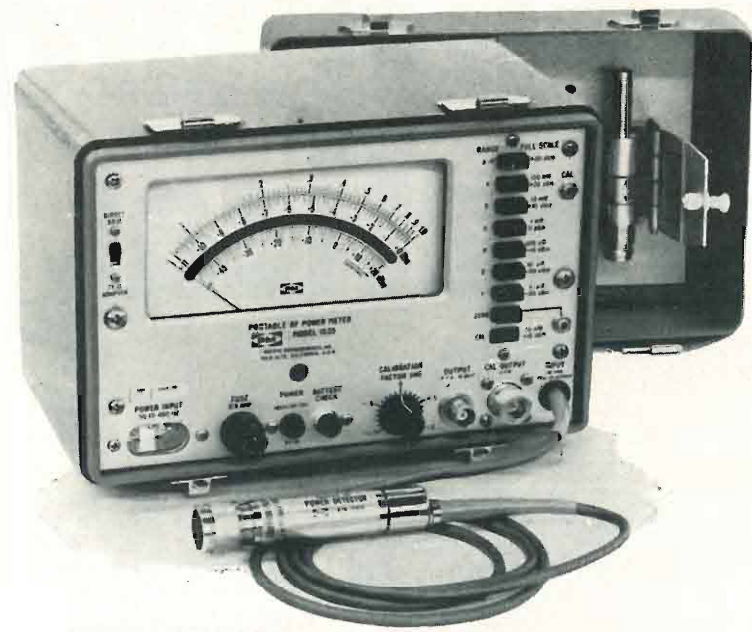
Firma.....

Assegno N°..... Banca.....

HEWLETT  PACKARD



Hewlett-Packard Italiana S.p.A. - Via Vespucci, 2 - 20124 Milano - Tel. 6251.



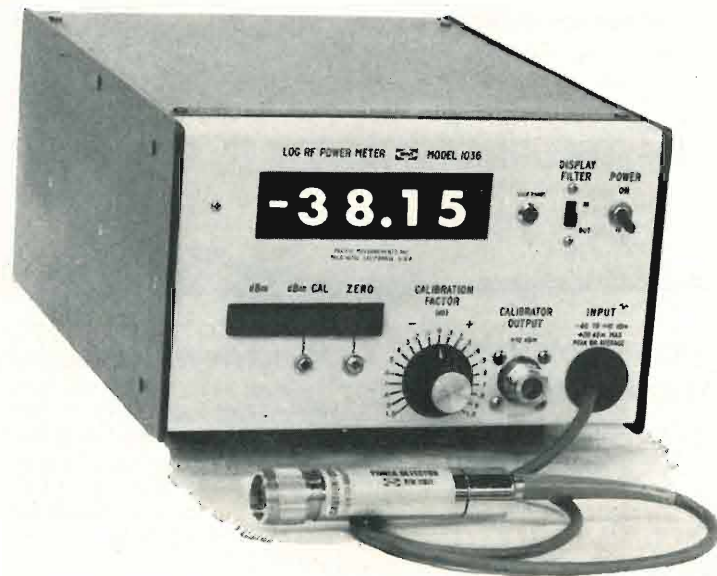
- 1 MHz ... 14 GHz
- Scala speciale di 60 Db
- Alimentazione a rete e batterie ricaricabili
- Gamma di misura: -50/-40 ... +10/+20 Dbm
- Robusto, portatile, maneggevole

**misure di potenza in microonde
più SEMPLICI più RAPIDE più PRECISE
con i nuovi strumenti della:**



Pacific Measurements, inc.

MICROWAVE POWER METERS / AC DIGITAL VOLTMETERS / POWER SUPPLY TEST SETS
LOGARITHMIC CONVERTERS / CRT DISPLAY CONVERTERS / FREQUENCY SYNTHESIZERS



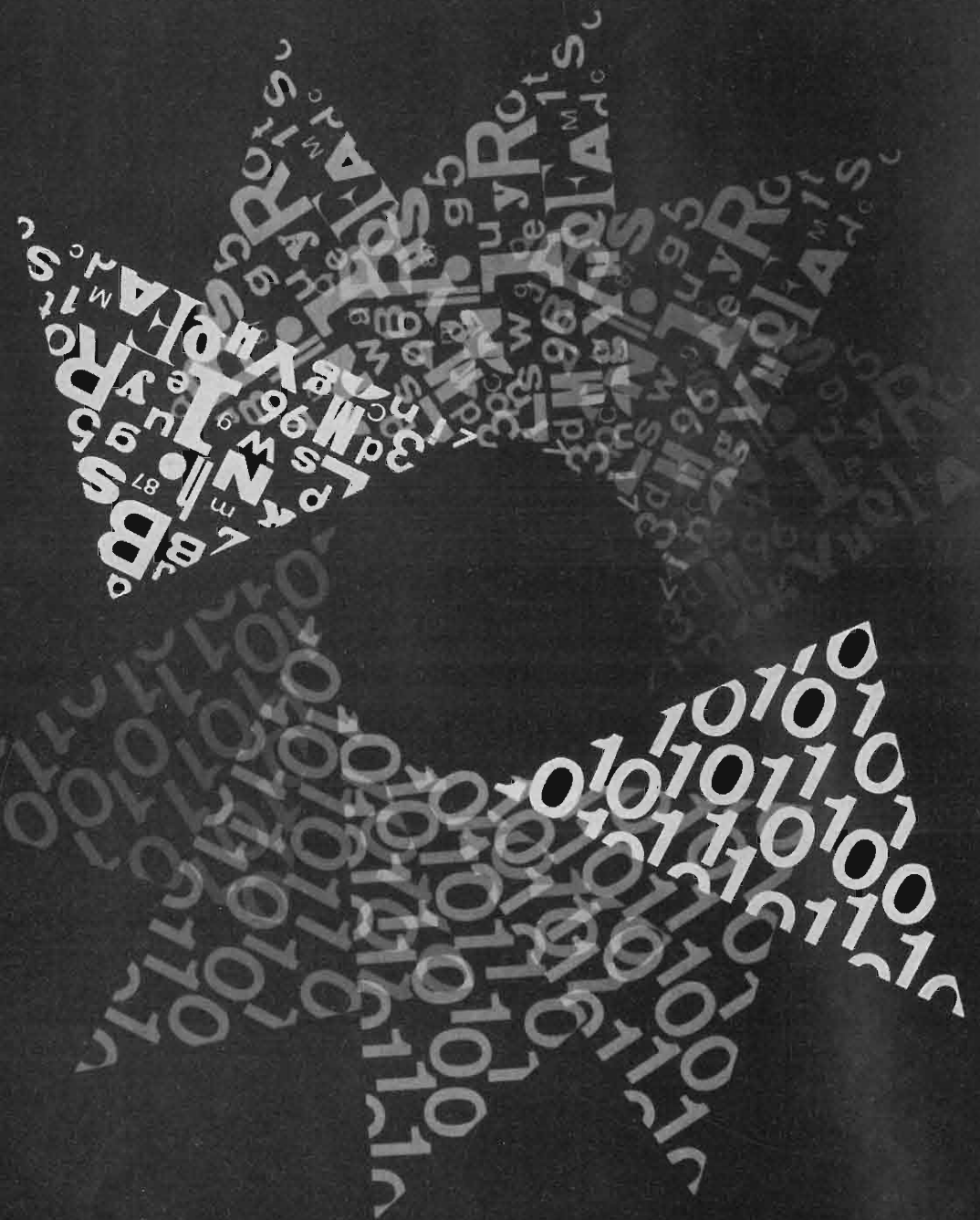
- 1 MHz ... 18 GHz
- 50 Db di dinamica
- 0,01 Db di risoluzione
- Gamma di misura: -40/-30 ... +10/+20 Dbm

Per maggiori informazioni Vi preghiamo di telefonare o di scrivere a:

Ditta Ing. OSCAR ROJE

Via Sant'Anatalone, 15 - MILANO 20147 - Tel. 415.41.41/2/3

Via di Porta Pinciana, 4 - ROMA 00187 - Tel. 480.029 - 465.630



MODEM

per trasmissione dati

Velocità da 200 a 96000 bit/sec. ○ struttura unificata per utilizzazione da tavolo e da rack ○ unità di controllo separabile
○ interfaccia secondo norme CCITT ○ affidabilità estrema, garantita dall'impiego esteso di circuiti digitali e piastre di cablaggio.
Cinque caratteristiche fra le molteplici che sono comuni a una gamma completa di modem realizzati - per soddisfare qualsiasi problema di trasmissione - dalla:

**SOCIETA' ITALIANA
TELECOMUNICAZIONI SIEMENS s.p.a.**
20149 Milano - p.le Zavattari, 12 - tel. (02) 4388.1





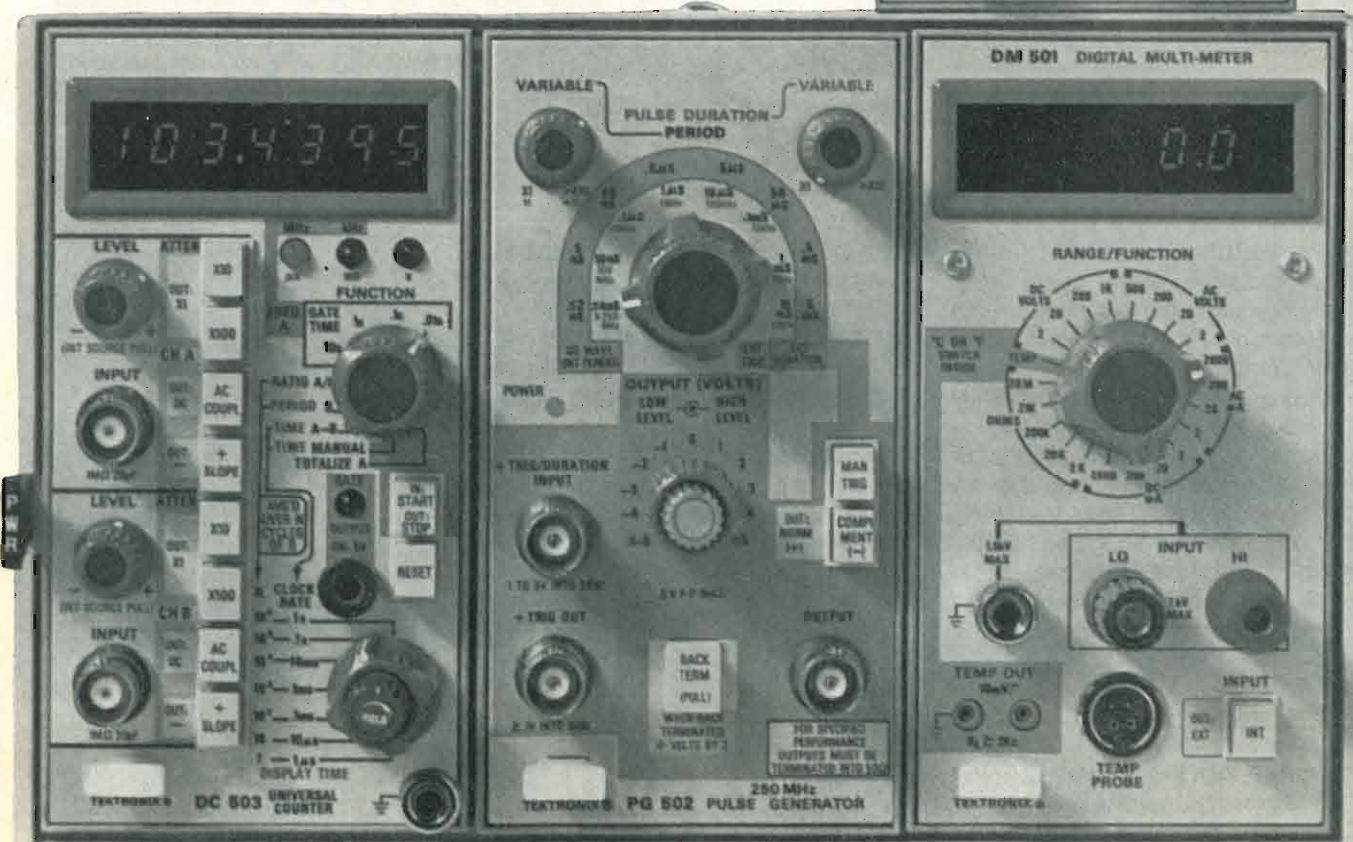
TEKTRONIX®

MODULAR TEST AND MEASUREMENT SYSTEM

24 cassette sono già disponibili:

- Contatori numerici fino a 550MHz —
- Generatori di segnali da 1 mHz a 1 GHz —
- Generatori di impulsi fino a 250 Mhz —
- Multimetri elettronici digitali —
- Amplificatori di misura —
- Monitori con tubo a raggi catodici —
- Alimentatori da laboratorio —
- Marcatempi —

TM500 E' MODULARE, COMPATTO, ECONOMICO, MULTIFUNZIONALE



LEECCRAFT

INDICATOR LIGHTS

Al neon e ad incandescenza per tutte le applicazioni elettriche ed elettroniche

- A bottone automatico
- Tineon (miniatura)
- Rettangolari
- Messaggio
- Doppio messaggio
- Retro montaggio
- A slitta

LEECCRAFT **LARIB** INTERNATIONAL S.P.A. ■ AGENTI GENERALI PER L'ITALIA
20129 MILANO - VIALE PREMUDA 38 A TEL 795 762-795 763 780 730

In Italia - SILVESTAR

20146 MILANO
20, Via dei Gracchi

Tel. (02) 4996 - Telex: 32834 Silstar

00198 ROMA
30, Via Paisiello

Tel. (06) 8448841/5 linee - Telex 61511 Silstar

10139 TORINO
9, Piazza Adriano

Tel. (011) 443275-443276 - Ind. Tel. Silverstar



PHILIPS



quando parte un impulso...

... se è Philips sapete sempre che arriverà e che svolgerà il compito assegnatogli. Perché un impulso Philips è fedele e preciso, sia quando lo si incarichi di eseguire un intero processo produttivo controllato elettronicamente, sia quando gli si faccia compiere un delicato esperimento spaziale a 400.000 chilometri dalla terra. L'assoluta precisione dei suoi «ordini» riflette la fermezza delle vostre dita sui comandi del generatore di impulsi Philips.



PM 5712 e PM 5715 - Generatore di impulsi / 50 MHz / 4 ns / Doppio impulso / Doppia uscita 10 V / Offset + 2 V, - 5 V.

Ovunque, un'onda Philips.

PHILIPS S.p.A. - Sezione PIT - 20052 MONZA
Viale Elvezia, 2 - Tel. (039) 361.441/5 - 360.364/6 - 360.383/4
Telegramma: PHILIPSPIT - Monza - Telex: 35290